

# PODROBNÝ STATICKÝ VÝPOČET

ZMĚNY	c		DATUM		PODPIS	
	b					
	a	ZAPRACOVÁNÍ DI		01/2026		Ing. Martin KORÁB

INVESTOR:

Vysoká škola báňská - Technická univerzita Ostrava

VŠB-TUO

17. listopadu 2172/15, 708 00 Ostrava-Poruba  
tel.: +420 596 995 500, ID datové schránky: d3kj88v  
e-mail: epodatelna@vsb.cz



PROJEKTANT:

TECHNICO Opava s.r.o.

**TECHNICO**  
architects & engineers

TECHNICO Opava s.r.o.  
Hradecká 1576/51  
746 01 Opava  
tel: 553 760 970  
info@technico.cz

PROJEKTANT:

ZODP. PROJEKTANT:	Ing. Martin KORÁB
VYPRACOVAL:	Ing. Martin KORÁB
KONTROLOVAL:	Ing. Martin ULÍČNÝ



ČÍSLO  
PARÉ:

ČÁST DOKUMENTACE:

D.3. DOKUMENTACE STAVEBNÉ KONSTRUKČNÍHO ŘEŠENÍ

Stavební úpravy budovy "N" (CEETe II) v areálu VŠB-TUO	FORMÁT	A4
	DATUM	07/2025
	STUPEŇ	DPS
	ZAKÁZKOVÉ ČÍSLO	TO-628-DPS
K.ú. Poruba, parc.č. 1738/26, 1738/11	MĚŘÍTKO:	ČÍSLO VYKRESU:
PODROBNÝ STATICKÝ VÝPOČET	-	D.3.3._a.



a)	řešení konstrukce a rozdíly oproti předběžnému výpočtu, který byl vypracován v rámci předchozího stupně dokumentace .....	2
b)	statické schéma konstrukce .....	2
c)	údaje o materiálech a technologiích .....	2
d)	rekapitulace zatížení, zatěžovacích stavů včetně součinitelů zatížení a součinitelů kombinace .....	2
e)	výpočetní modely, geotechnické modely, výpočetní schémata, nosný systém a konstrukční prvky – návrh a výpočet statický a stabilitní, dynamický výpočet, pokud na konstrukci působí zatížení vyvolávající dynamické účinky, tabulkové nebo výpočtové stanovení požární odolnosti nosné konstrukce .....	7
f)	výpočet stability včetně sednutí ochranného valu a zatlačení tělesa valu do podloží .....	7
g)	hydrotechnické a další potřebné výpočty podle typu vodního díla, kritéria hutnění sypaniny hráze .....	7
h)	návrh a posouzení všech nosných prvků, nosných konstrukcí technologického zařízení, tvary, spoje, dimenze, jakost, postup výroby a montáže, tvar nosné konstrukce .....	7
i)	výpočet účinků na základy, dimenzování základových konstrukcí, včetně geotechnického modelu konstrukce .....	7
j)	návrh a posouzení všech detailů, montážních styků apod., které rozhodujícím způsobem ovlivňují bezpečnost konstrukce .....	8
k)	postup výroby – betonáže, odbedňování, montáže, předpínání, zasypávání dokončených konstrukcí apod. ....	8
l)	statický výpočet svahování nebo pažení stavebních jam a výkopů, včetně posouzení celkové stability .....	8
m)	v případě změn stávající stavby – statický výpočet jednotlivých fází provádění změn nosných konstrukcí včetně statického výpočtu dočasných konstrukcí zajišťující stabilitu stavby a její části v průběhu provádění v souladu s navrženým technologickým postupem dle položky D.3.2.h) .....	8
n)	Posouzení jednotlivých konstrukcí .....	8
n.1.	Doplněná stropní konstrukce .....	8
n.2.	Nástavba s rámy pro VZT .....	14
n.3.	Věncový nosník 1.np .....	52
n.4.	Fasádní kotevní nosník .....	57
n.5.	Fasádní kotevní obvodový úhelník .....	62
o)	Závěr .....	68

**a) řešení konstrukce a rozdíly oproti předběžnému výpočtu, který byl vypracován v rámci předchozího stupně dokumentace**

Základní principy a statické modely zůstaly zachovány. Bylo upřesněno zatížení, geometrie a statické působení. Jsou posouzeny nové konstrukce, případně konstrukce dotčené změnou. Posouzení stávajících konstrukcí na standardní zatížení - viz. předchozí stupeň PD.

**b) statické schéma konstrukce**

Statická schémata jsou uvedena u posouzení jednotlivých dílčích konstrukcí a prvků.

**c) údaje o materiálech a technologiích**

Stávající betonové konstrukce

Zatřídění bylo provedeno dle katalogu, příp. převzato ze Stavebně technického průzkumu

C16/20: prefa panely

C23/28: prefa průvlaky, sloupy

Nové betonové konstrukce

C25/30-XC1: nové stropní desky

Betonářská ocel – 10 505(R), B500B, KARI

Ocelové konstrukce

- všechny nové ocelové prvky budou dle ČSN EN 10025 z oceli S235

**d) rekapitulace zatížení, zatěžovacích stavů včetně součinitelů zatížení a součinitelů kombinace**

VLASTNÍ VÁHA:

vychází ze zadaných průřezů a objemových hmotností dílčích prvků

STÁLÉ:

STROPNÍ KONSTRUKCE NOVÁ	$\rho$	tl.				
	kgm <sup>-3</sup>	mm	kgm <sup>-2</sup>	kNm <sup>-2</sup>	$\gamma_F$	kNm <sup>-2</sup>
epoxidová stěrka 5 mm	2200	5		0,11	1,35	0,15
cem. litý potěr 55-60 mm	2200	60		1,32	1,35	1,78
hydroizolace			2	0,02	1,35	0,03
akuizolace skel. vata 35 mm	110	35		0,04	1,35	0,05
tenkovrstvá omítka	1800	5		0,09	1,35	0,12
instalace zavěšené pod stropem			7	0,07	1,35	0,09
FEAL podhled			5	0,05	1,35	0,07
				<b>1,70</b>		<b>2,29</b>
						<b>kNm<sup>-2</sup></b>

DOPLNĚNÁ STROPNÍ KONSTRUKCE						
	$\rho$	tl.				
	$\text{kgm}^{-3}$	mm	$\text{kgm}^{-2}$	$\text{kNm}^{-2}$	$\gamma_F$	$\text{kNm}^{-2}$
epoxidová stěrka 5 mm	2200	5		0,11	1,35	0,15
cem. litý potěr 55-60 mm	2200	60		1,32	1,35	1,78
hydroizolace			2	0,02	1,35	0,03
akuizolace skel. vata 35 mm	110	35		0,04	1,35	0,05
bet. deska tl.60 mm	2500	60		1,50	1,35	2,03
zalití vln			40	0,40	1,35	0,54
trap. plech			9	0,09	1,35	0,12
instalace zavěšené pod stropem			7	0,07	1,35	0,09
omítka, popř. podhled (SDK desky + rošt)			15	0,15	1,35	0,20
				<b>3,70</b>		<b>4,99</b>
						$\text{kNm}^{-2}$
DOPLNĚNÁ STROPNÍ KONSTRUKCE V JÁDRECH						
	$\rho$	tl.				
	$\text{kgm}^{-3}$	mm	$\text{kgm}^{-2}$	$\text{kNm}^{-2}$	$\gamma_F$	$\text{kNm}^{-2}$
epoxidová stěrka 5 mm	2200	5		0,11	1,35	0,15
cem. litý potěr 10 mm	2200	10		0,22	1,35	0,30
bet. deska tl.50 mm	2500	50		1,25	1,35	1,69
zalití vln			40	0,40	1,35	0,54
trap. plech			10	0,10	1,35	0,14
instalace zavěšené pod stropem			7	0,07	1,35	0,09
omítka, popř. podhled (SDK desky + rošt)			15	0,15	1,35	0,20
				<b>2,30</b>		<b>3,11</b>
						$\text{kNm}^{-2}$
STŘEŠNÍ KONSTRUKCE NAD 7.NP NOVÁ						
	$\rho$	tl.				
	$\text{kgm}^{-3}$	mm	$\text{kgm}^{-2}$	$\text{kNm}^{-2}$	$\gamma_F$	$\text{kNm}^{-2}$
kačírek, zelená střecha			100	1,00	1,35	1,35
hydroizolační vrstvy			9	0,09	1,35	0,12
tepelná izolace - desky z PIR	60	450		0,27	1,35	0,36
parotěsná vrstva			3	0,03	1,35	0,04
tenkovrstvá omítka	1800	5		0,09	1,35	0,12
instalace zavěšené pod stropem			7	0,07	1,35	0,09
FEAL podhled			5	0,05	1,35	0,07
				<b>1,60</b>		<b>2,16</b>
						$\text{kNm}^{-2}$
OBVODOVÁ STĚNA NOVÁ						
	$\rho$	tl.				
	$\text{kgm}^{-3}$	mm	$\text{kgm}^{-2}$	$\text{kNm}^{-2}$	$\gamma_F$	$\text{kNm}^{-2}$
trojsklo 6+4+6	45	1000		0,45	1,35	0,61
žaluzie	5	1000		0,05	1,35	0,07
AL profily	10	1000		0,10	1,35	0,14
				<b>0,60</b>		<b>0,81</b>
						$\text{kNm}^{-2}$
OBVODOVÁ STĚNA STÁVAJÍCÍ h=3,6 m						
	$\rho$	tl.				
	$\text{kgm}^{-3}$	mm	$\text{kgm}^{-2}$	$\text{kNm}^{-2}$	$\gamma_F$	$\text{kNm}^{-2}$
obklad Hunter Douglas h=1,2 m			7	0,07	1,35	0,09
rošt h=1,2 m			7	0,07	1,35	0,09
minerální vata h=1,2 m			3	0,03	1,35	0,04
okno h= 2,4 m			60	0,60	1,35	0,81
PSK panel h= 1,2 m			135	1,35	1,35	1,82
omítka h=1,0 m			10	0,10	1,35	0,14
				<b>2,22</b>		<b>3,00</b>
						$\text{kNm}^{-2}$
NÁSTAVBA - DOPLNĚNÁ STROPNÍ KONSTRUKCE						
	$\rho$	tl.				
	$\text{kgm}^{-3}$	mm	$\text{kgm}^{-2}$	$\text{kNm}^{-2}$	$\gamma_F$	$\text{kNm}^{-2}$
epoxidová stěrka 5 mm	2200	5		0,11	1,35	0,15
vyrovnávací potěr 5 mm	2200	5		0,11	1,35	0,15
bet. deska tl. 70 mm	2500	70		1,75	1,35	2,36
zalití vln			45	0,45	1,35	0,61
trap. plech			9	0,09	1,35	0,12
				<b>2,51</b>		<b>3,39</b>
						$\text{kNm}^{-2}$

NÁSTAVBA - STĚNOVÝ PLÁŠŤ						
	$\rho$ kgm <sup>-3</sup>	tl. mm	kgm <sup>-2</sup>	kNm <sup>-2</sup>	$\gamma_F$	kNm <sup>-2</sup>
sendvič. panel MW tl. 150 mm		26		0,26	1,35	0,35
minerál. vlna	60	240		0,14	1,35	0,19
SDK záklop		20		0,20	1,35	0,27
				<b>0,60</b>		<b>0,82</b> kNm <sup>-2</sup>

NÁSTAVBA - AKU STĚNOVÝ PLÁŠŤ						
	$\rho$ kgm <sup>-3</sup>	tl. mm	kgm <sup>-2</sup>	kNm <sup>-2</sup>	$\gamma_F$	kNm <sup>-2</sup>
aku panel 100P		26		0,26	1,35	0,35
sendvič. panel MW tl. 150 mm		25		0,25	1,35	0,34
minerál. vlna	60	240		0,14	1,35	0,19
SDK záklop		20		0,20	1,35	0,27
				<b>0,85</b>		<b>1,15</b> kNm <sup>-2</sup>

NÁSTAVBA - ŽALUZIOVÁ STĚNA						
	$\rho$ kgm <sup>-3</sup>	tl. mm	kgm <sup>-2</sup>	kNm <sup>-2</sup>	$\gamma_F$	kNm <sup>-2</sup>
hliníkové žaluzie		15		0,15	1,35	0,20
				<b>0,15</b>		<b>0,20</b> kNm <sup>-2</sup>

### ZATÍŽENÍ PŘÍČKAMI

zahrnuto v užitém zatížení

kgm <sup>-2</sup>	kNm <sup>-2</sup>	$\gamma_F$	kNm <sup>-2</sup>	
50	<b>0,50</b>	1,35	<b>0,68</b>	kNm <sup>-2</sup>

### UŽITNÉ:

chodby, schodiště  
kanceláře 2.np - 7.np  
laboratoře 2.np - 7.np  
střecha (nepřístupná)  
technologie 1.np  
technologie 8.np

kgm <sup>-2</sup>	kNm <sup>-2</sup>	$\gamma_F$	kNm <sup>-2</sup>	
300	<b>3,00</b>	1,5	<b>4,50</b>	kNm <sup>-2</sup>
250	<b>2,50</b>	1,5	<b>3,75</b>	kNm <sup>-2</sup>
300	<b>3,00</b>	1,5	<b>4,50</b>	kNm <sup>-2</sup>
75	<b>0,75</b>	1,5	<b>1,13</b>	kNm <sup>-2</sup>
500	<b>5,00</b>	1,5	<b>7,50</b>	kNm <sup>-2</sup>
300	<b>3,00</b>	1,5	<b>4,50</b>	kNm <sup>-2</sup>

Vnitřní VZT jednotka na podlaží 1.-7.np 630 kg

Vnější CHL jednotka na plošině 8.np 1900 kg

Celkové zatížení VZT plošiny 8.np 50 kg/m<sup>2</sup>

Samostatně každý nosník VZT plošiny navržen na zatížení 150 kg/m

### SNÍH:

a) Nenavátý sníh na ploché střeše 7.np a 8.np

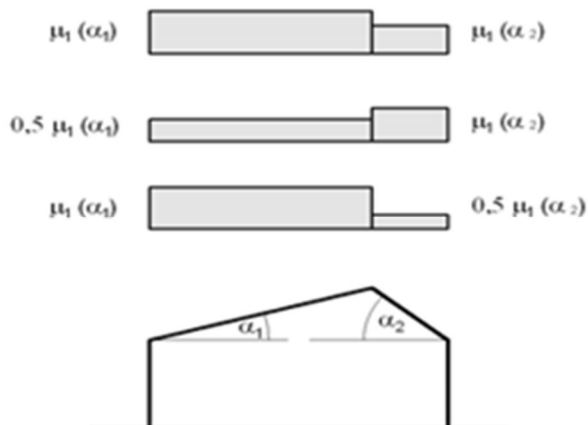
### PLOCHÁ STŘECHA

lokalita:	<b>Ostrava</b>				
sněhová oblast:	<b>II.</b>	→	char. hodn. na zemi	$s_k = 1,0$	kN/m <sup>2</sup>
typ krajiny:	<b>normální</b>	→	součinitel expozice	$C_e = 1,0$	
střecha:	<b>s TI</b>	→	tepelný součinitel	$C_t = 1,0$	
sklon: $\alpha_1 =$	<b>3</b> °	↑	tvarový součinitel	$\mu_{1(\alpha_1)} = 0,80$	
$\alpha_2 =$	<b>3</b> °	↑	tvarový součinitel	$\mu_{1(\alpha_2)} = 0,80$	
atika či nadezdávka:	<b>ano</b>				

zat. sněhem na střeše:

	$s_n$ [kN/m <sup>2</sup> ]	$\gamma_f$	$s_d$ [kN/m <sup>2</sup> ]
$s_1 = \mu_{1(\alpha_1)} C_e C_t s_k =$	0,80	1,50	1,20
$s_2 = \mu_{1(\alpha_2)} C_e C_t s_k =$	0,80	1,50	1,20

aplikace zatížení



nenavátý

navátý - var. 1

navátý - var. 2

sklony střechy

b) Navátý sníh na ploché střeše 7.np

### STŘECHY SOUSEDÍCÍ A PŘILÉHAJÍCÍ K VYŠŠÍM STAVBÁM

lokalita:	<b>Ostrava</b>			
sněhová oblast:	<b>II.</b>	→ char. hodn. na zemi	$s_k =$	1,0 kN/m <sup>2</sup>
typ krajiny:	<b>normální</b>	→ součinitel expozice	$C_e =$	1,0
střecha:	<b>s TI</b>	→ tepelný součinitel	$C_t =$	1,0
$b_1 =$	<b>8,00</b> m			
$b_{1,s} =$	<b>8,00</b> m			
$b_2 =$	<b>7,30</b> m			
$h_1 =$	<b>4,40</b> m			
sklony:				
- nižší střecha $\alpha' =$	<b>0</b> °	→ tvarový součinitel pro nižší střechu	$\mu_{1(\alpha')} =$	0,80
atika či nadezdávka:	<b>ano</b>			
- vyšší střecha $\alpha =$	<b>0</b> °	< 15 ° →	$\mu_s = 0,5 \cdot 0,8 \cdot b_{1,s} / l_s =$	0,00
obj. tíha sněhu $\gamma =$	<b>2,0</b> kN/m <sup>3</sup>			

délka návěje:  $l_s = 8,80 \text{ m}$   $\begin{cases} < 15 \text{ m} \\ > 5 \text{ m} \end{cases}$   $\rightarrow l_s = \underline{8,80} \text{ m}$

$\mu_w = 1,74$   $\begin{cases} > \min(\mu_{w,tab}; \gamma h/s_k) = 2,00 \\ > \mu_{w,min} = 0,80 \end{cases}$   $\rightarrow \mu_w = \underline{1,74}$

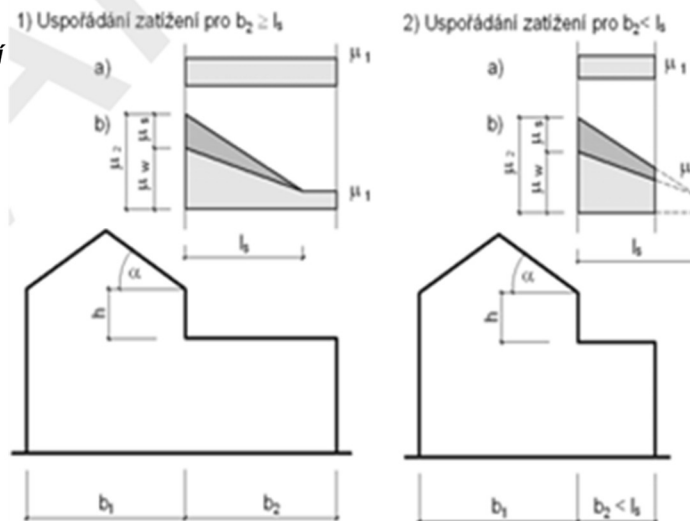
$l_s = 8,80 > b_2 = 7,30 \text{ m}$

případ 1)  $\mu_2 = \mathbf{1,74}$  - tvarový součinitel v místě kontaktu s vyšším objektem  
případ 2)  $\mu_2' = \mathbf{0,97}$  - tvarový součinitel na vnějším okraji nižšího objektu

zat. sněhem na střeše:

	$s_n \text{ [kN/m}^2\text{]}$	$\gamma_f$	$s_d \text{ [kN/m}^2\text{]}$
$s_1 = \mu_{1(\alpha)} C_e C_t s_k =$	0,80	1,50	1,20
$s_2 = \mu_2 C_e C_t s_k =$	1,74	1,50	2,61
$s_2' = \mu_2' C_e C_t s_k =$	0,97	1,50	1,46

aplikace zatížení



nenavátý

navátý - var. 1

sklony a  
geometrie střechy

VÍTR:



## ZATÍŽENÍ VĚTREM

lokality	<b>Ostrava</b>	
větrová oblast	<b>II.</b>	
výchozí základ. rychlost	$v_{b,0} =$	25,0 m/s
souč. směru větru	$C_{dir} =$	<b>1,0</b>
souč. ročního období	$C_{season} =$	<b>1,0</b>
základ. rychlost větru	$v_b =$	25,0 m/s
kategorie terénu	<b>III</b>	
param. drsnosti terénu	$z_0 =$	0,300 m
minimální výška	$z_{min} =$	5 m
objekt - ref. výška	$z_e = z_i = z =$	<b>30,50</b> m > 5 m $\rightarrow z =$ <u>30,50</u> m
souč. terénu	$k_r =$	0,215
souč. drsnosti	$c_r =$	0,995
souč. orografie	$c_o =$	<b>1,000</b>
střední rychlost větru	$v_m =$	24,9 m/s
souč. turbulence	$k_i =$	<b>1,0</b>
intenzita turbulence	$I_v =$	<b>0,216</b>
měrná hmotn. vzduchu	$\rho =$	<b>1,250</b> kg/m <sup>3</sup>
max. hodn. dyn. tlaku	<b><math>q_p(z) = 0,98 \text{ kN/m}^2</math></b>	

- e) výpočetní modely, geotechnické modely, výpočetní schémata, nosný systém a konstrukční prvky – návrh a výpočet statický a stabilitní, dynamický výpočet, pokud na konstrukci působí zatížení vyvolávající dynamické účinky, tabulkové nebo výpočtové stanovení požární odolnosti nosné konstrukce**

Výpočetní modely, výpočetní schémata a výpočty jsou uvedeny u posouzení jednotlivých dílčích konstrukcí a prvků.

- f) výpočet stability včetně sednutí ochranného valu a zatlačení tělesa valu do podloží**

Neobsazeno.

- g) hydrotechnické a další potřebné výpočty podle typu vodního díla, kritéria hutnění sypaniny hráze**

Neobsazeno.

- h) návrh a posouzení všech nosných prvků, nosných konstrukcí technologického zařízení, tvary, spoje, dimenze, jakost, postup výroby a montáže, tvar nosné konstrukce**

Návrhy a posouzení jsou uvedeny u posouzení jednotlivých dílčích konstrukcí a prvků.

- i) výpočet účinků na základy, dimenzování základových konstrukcí, včetně geotechnického modelu konstrukce**

Výpočty jsou uvedeny u posouzení jednotlivých dílčích konstrukcí a prvků.

- j) návrh a posouzení všech detailů, montážních styků apod., které rozhodujícím způsobem ovlivňují bezpečnost konstrukce

Návrhy a posouzení jsou uvedeny u posouzení jednotlivých dílčích konstrukcí a prvků.

- k) postup výroby – betonáže, odbedňování, montáže, předpínání, zasypávání dokončených konstrukcí apod.

Neobsazeno.

- l) statický výpočet svahování nebo pažení stavebních jam a výkopů, včetně posouzení celkové stability

Neobsazeno.

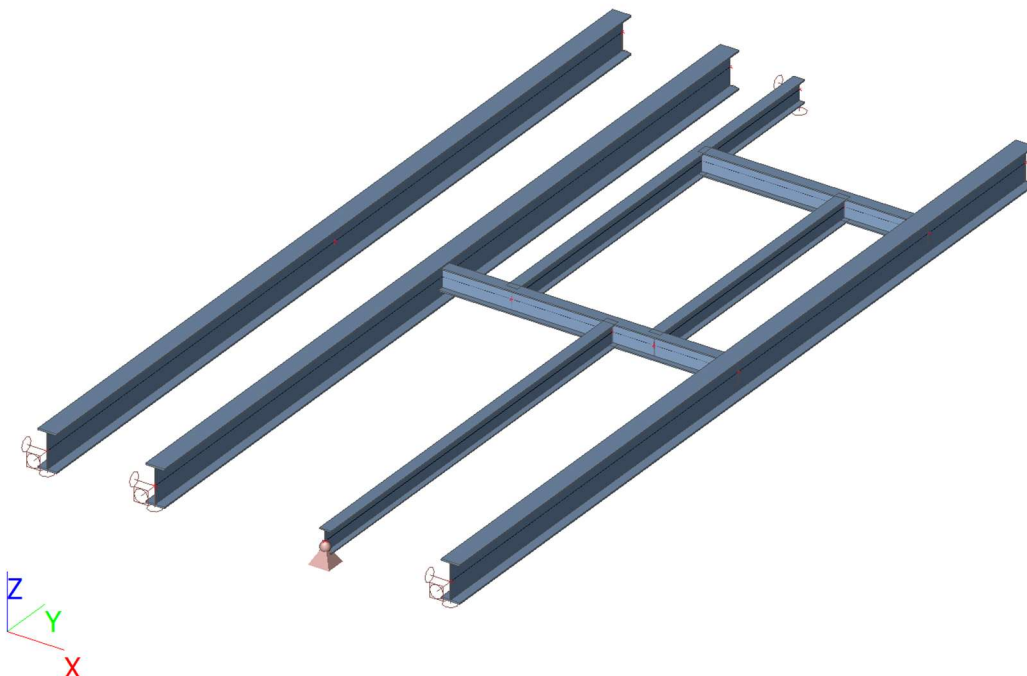
- m) v případě změn stávající stavby – statický výpočet jednotlivých fází provádění změn nosných konstrukcí včetně statického výpočtu dočasných konstrukcí zajišťující stabilitu stavby a její části v průběhu provádění v souladu s navrženým technologickým postupem dle položky D.3.2.h)

Neobsazeno.

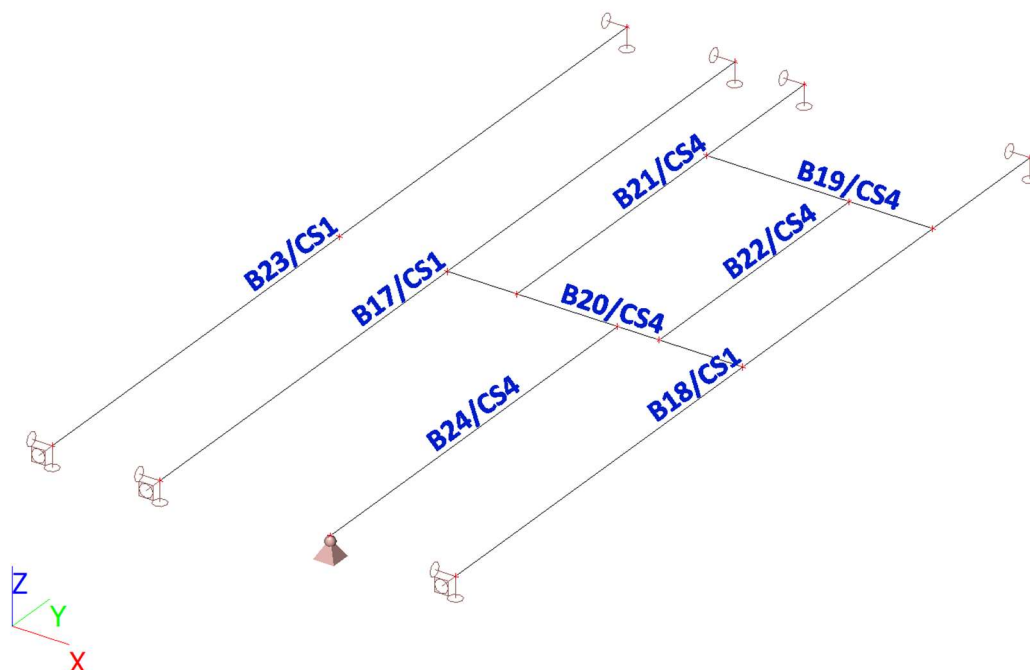
- n) Posouzení jednotlivých konstrukcí

n.1. Doplněná stropní konstrukce

## 1. Výpočtový model



## 2. Výpočtový model



### 3. Uzly

Jméno	Souř. X [m]	Souř. Y [m]	Souř. Z [m]
N34	0,775	0,000	0,000
N35	0,775	6,200	0,000
N36	2,900	0,000	0,000
N37	2,900	6,200	0,000
N38	2,900	5,150	0,000
N39	0,775	3,100	0,000
N40	2,900	3,100	0,000
N41	1,275	5,150	0,000
N42	1,275	6,200	0,000
N43	2,300	5,150	0,000
N44	1,275	3,100	0,000
N45	2,300	3,100	0,000
N46	0,000	0,000	0,000
N47	0,000	6,200	0,000
N48	0,000	3,100	0,000
N1	2,000	0,000	0,000
N50	2,000	3,100	0,000

### 4. Prvky

Jméno	Průřez	Materiál	Délka [m]	Poč. uzel	Konc. uzel	Typ
B17	CS1 - IPE270	S 235	6,200	N34	N35	nosník (80)
B18	CS1 - IPE270	S 235	6,200	N36	N37	nosník (80)
B19	CS4 - IPE160	S 235	1,625	N41	N38	nosník (80)
B20	CS4 - IPE160	S 235	2,125	N39	N40	nosník (80)
B21	CS4 - IPE160	S 235	3,100	N44	N42	nosník (80)
B22	CS4 - IPE160	S 235	2,050	N45	N43	nosník (80)
B23	CS1 - IPE270	S 235	6,200	N46	N47	nosník (80)
B24	CS4 - IPE160	S 235	3,100	N1	N50	nosník (80)

### 5. Průřezy

Jméno	Typ	Materiál	Výroba	A [m <sup>2</sup> ]	A <sub>y</sub> [m <sup>2</sup> ] A <sub>z</sub> [m <sup>2</sup> ]	I <sub>y</sub> [m <sup>4</sup> ] I <sub>z</sub> [m <sup>4</sup> ]	W <sub>el.y</sub> [m <sup>3</sup> ] W <sub>el.z</sub> [m <sup>3</sup> ]	W <sub>pl.y</sub> [m <sup>3</sup> ] W <sub>pl.z</sub> [m <sup>3</sup> ]	Barva
	Detailní								
CS1	IPE270	S 235	válcovaný	4,5900e-03	2,7706e-03 1,8266e-03	5,7900e-05 4,2000e-06	4,2900e-04 6,2200e-05	4,8400e-04 9,7000e-05	
CS4	IPE160	S 235	válcovaný	2,0100e-03	1,2605e-03 8,1173e-04	8,6900e-06 6,8300e-07	1,0900e-04 1,6700e-05	1,2400e-04 2,6100e-05	

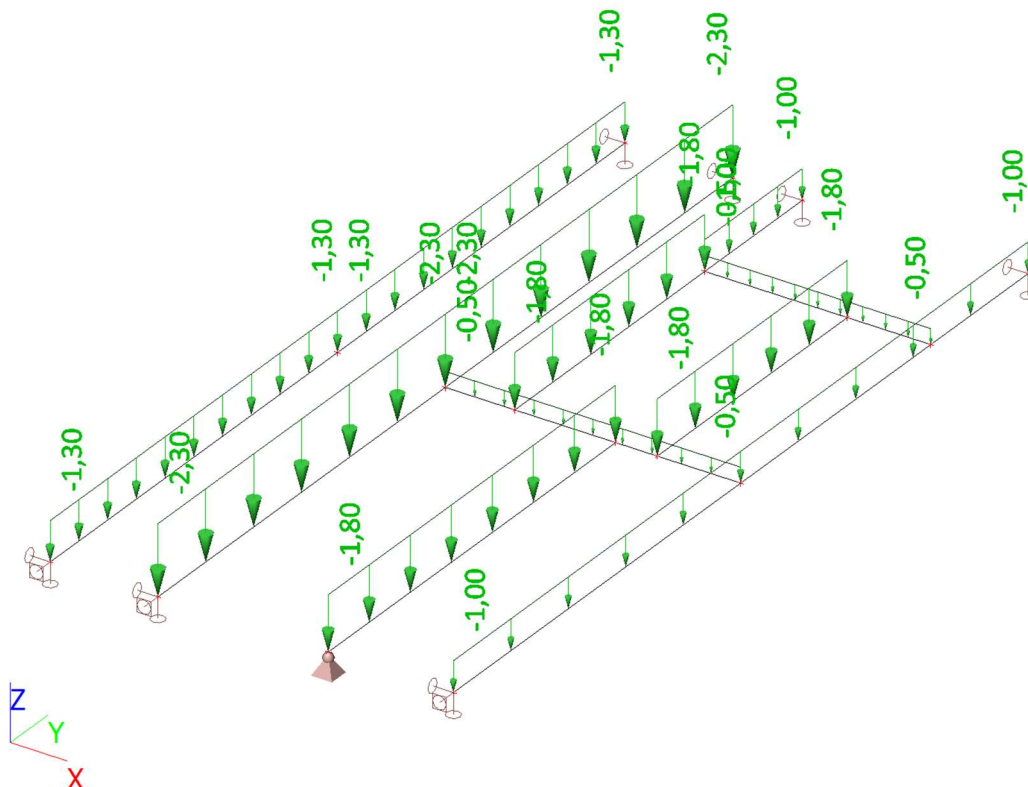
## 6. Podpory v uzlech

Jméno	Uzel	Systém	Typ	X	Y	Z	Rx	Ry	Rz
Sn13	N34	GSS	Standard	Tuhý	Tuhý	Tuhý	Volný	Tuhý	Volný
Sn14	N35	GSS	Standard	Tuhý	Volný	Tuhý	Volný	Volný	Volný
Sn15	N36	GSS	Standard	Tuhý	Tuhý	Tuhý	Volný	Tuhý	Volný
Sn16	N37	GSS	Standard	Tuhý	Volný	Tuhý	Volný	Volný	Volný
Sn17	N42	GSS	Standard	Tuhý	Volný	Tuhý	Volný	Volný	Volný
Sn18	N46	GSS	Standard	Tuhý	Tuhý	Tuhý	Volný	Tuhý	Volný
Sn19	N47	GSS	Standard	Tuhý	Volný	Tuhý	Volný	Volný	Volný
Sn3	N1	GSS	Standard	Tuhý	Tuhý	Tuhý	Volný	Volný	Volný

## 7. Zatěžovací stavy

Jméno	Popis	Typ působení	Skupina zatížení	Působení	Řídící zat. stav
	Spec	Typ zatížení			
vlastni vaha		Stálé Standard	stale		
stale		Stálé Standard	stale		
uzitne1	Standard	Proměnné Statické	uzitne	Krátkodobé	Žádný
pricky		Stálé Standard	stale		

## 8. stale / Hodnota pro výpočet



## 9. užitne1 / Hodnota pro výpočet

11

Jméno	Zatížení	Vztah	Typ
vitr	Proměnné	Výběrová	Vitr

## 12. Kombinace

Jméno	Popis	Typ	Zatěžovací stavy	Souč. [-]
MSÚ-Sada B (auto)		EN-MSÚ (STR/GEO) Soubor B	vlastní váha	1,00
			stale	1,00
			uzitne1	1,00
			pricky	1,00
MSP-Char (auto)		EN-MSP charakteristická	vlastní váha	1,00
			stale	1,00
			uzitne1	1,00
			pricky	1,00
pozar		EN-mimořádné 1	vlastní váha	1,00
			stale	1,00
			uzitne1	1,00
			pricky	1,00

## 13. Vnitřní síly na prutu

Lineární výpočet, Extrém : Globální, Systém : LSS

Výběr : Vše

Kombinace : MSÚ-Sada B (auto)

Průřez : CS1 - IPE270

Dílec	css	dx [m]	Stav	N [kN]	Vy [kN]	Vz [kN]	Mx [kNm]	My [kNm]	Mz [kNm]
B17	CS1 - IPE270	0,000	MSÚ-Sada B (auto)/1	<b>0,00</b>	<b>0,00</b>	15,32	0,00	0,00	<b>0,00</b>
B18	CS1 - IPE270	6,200	MSÚ-Sada B (auto)/2	0,00	0,00	<b>-37,07</b>	0,00	0,00	0,00
B17	CS1 - IPE270	0,000	MSÚ-Sada B (auto)/2	0,00	0,00	<b>27,75</b>	0,00	0,00	0,00
B17	CS1 - IPE270	0,000	MSÚ-Sada B (auto)/3	0,00	0,00	11,34	<b>0,00</b>	<b>0,00</b>	0,00
B18	CS1 - IPE270	3,100	MSÚ-Sada B (auto)/2	0,00	0,00	11,62	0,00	<b>57,02</b>	0,00

## 14. Vnitřní síly na prutu

Lineární výpočet, Extrém : Globální, Systém : LSS

Výběr : Vše

Kombinace : MSÚ-Sada B (auto)

## 15. Vnitřní síly na prutu

Lineární výpočet, Extrém : Globální, Systém : LSS

Výběr : Vše

Kombinace : MSÚ-Sada B (auto)

## 16. Reakce

Lineární výpočet, Extrém : Uzel

Výběr : Vše

Kombinace : MSÚ-Sada B (auto)

Podpora	Stav	Rx [kN]	Ry [kN]	Rz [kN]	Mx [kNm]	My [kNm]	Mz [kNm]
Sn13/N34	MSÚ-Sada B (auto)/1	<b>0,00</b>	<b>0,00</b>	15,32	<b>0,00</b>	0,00	<b>0,00</b>
Sn13/N34	MSÚ-Sada B (auto)/3	0,00	0,00	<b>11,34</b>	0,00	<b>0,00</b>	0,00
Sn13/N34	MSÚ-Sada B (auto)/2	0,00	0,00	<b>27,75</b>	0,00	0,00	0,00
Sn14/N35	MSÚ-Sada B (auto)/1	<b>0,00</b>	<b>0,00</b>	15,32	<b>0,00</b>	<b>0,00</b>	<b>0,00</b>
Sn14/N35	MSÚ-Sada B (auto)/3	0,00	0,00	<b>11,34</b>	0,00	0,00	0,00
Sn14/N35	MSÚ-Sada B (auto)/2	0,00	0,00	<b>25,90</b>	0,00	0,00	0,00
Sn15/N36	MSÚ-Sada B (auto)/1	<b>0,00</b>	<b>0,00</b>	17,23	<b>0,00</b>	0,00	<b>0,00</b>
Sn15/N36	MSÚ-Sada B (auto)/3	0,00	0,00	<b>12,76</b>	0,00	0,00	0,00
Sn15/N36	MSÚ-Sada B (auto)/2	0,00	0,00	<b>25,17</b>	0,00	<b>0,00</b>	0,00
Sn16/N37	MSÚ-Sada B (auto)/1	<b>0,00</b>	<b>0,00</b>	21,31	<b>0,00</b>	<b>0,00</b>	<b>0,00</b>
Sn16/N37	MSÚ-Sada B (auto)/3	0,00	0,00	<b>15,79</b>	0,00	0,00	0,00
Sn16/N37	MSÚ-Sada B (auto)/2	0,00	0,00	<b>37,07</b>	0,00	0,00	0,00
Sn17/N42	MSÚ-Sada B (auto)/1	<b>0,00</b>	<b>0,00</b>	7,88	<b>0,00</b>	<b>0,00</b>	<b>0,00</b>
Sn17/N42	MSÚ-Sada B (auto)/3	0,00	0,00	<b>5,84</b>	0,00	0,00	0,00
Sn17/N42	MSÚ-Sada B (auto)/2	0,00	0,00	<b>13,73</b>	0,00	0,00	0,00
Sn18/N46	MSÚ-Sada B (auto)/1	<b>0,00</b>	<b>0,00</b>	5,44	<b>0,00</b>	<b>0,00</b>	<b>0,00</b>
Sn18/N46	MSÚ-Sada B (auto)/3	0,00	0,00	<b>4,03</b>	0,00	0,00	0,00
Sn18/N46	MSÚ-Sada B (auto)/2	0,00	0,00	<b>12,04</b>	0,00	0,00	0,00
Sn19/N47	MSÚ-Sada B (auto)/1	<b>0,00</b>	<b>0,00</b>	5,44	<b>0,00</b>	<b>0,00</b>	<b>0,00</b>

Podpora	Stav	R <sub>x</sub> [kN]	R <sub>y</sub> [kN]	R <sub>z</sub> [kN]	M <sub>x</sub> [kNm]	M <sub>y</sub> [kNm]	M <sub>z</sub> [kNm]
Sn19/N47	MSÚ-Sada B (auto)/3	0,00	0,00	<b>4,03</b>	0,00	0,00	0,00
Sn19/N47	MSÚ-Sada B (auto)/2	0,00	0,00	<b>11,69</b>	0,00	0,00	0,00
Sn3/N1	MSÚ-Sada B (auto)/1	<b>0,00</b>	<b>0,00</b>	6,91	<b>0,00</b>	<b>0,00</b>	<b>0,00</b>
Sn3/N1	MSÚ-Sada B (auto)/3	0,00	0,00	<b>5,12</b>	0,00	0,00	0,00
Sn3/N1	MSÚ-Sada B (auto)/4	0,00	0,00	<b>8,94</b>	0,00	0,00	0,00

## 17. Posudek ocelových prvků na MSÚ EC-EN 1993

Lineární výpočet

Kombinace: MSÚ-Sada B (auto)

Souřadný systém: Hlavní

Extrém 1D: Průřez

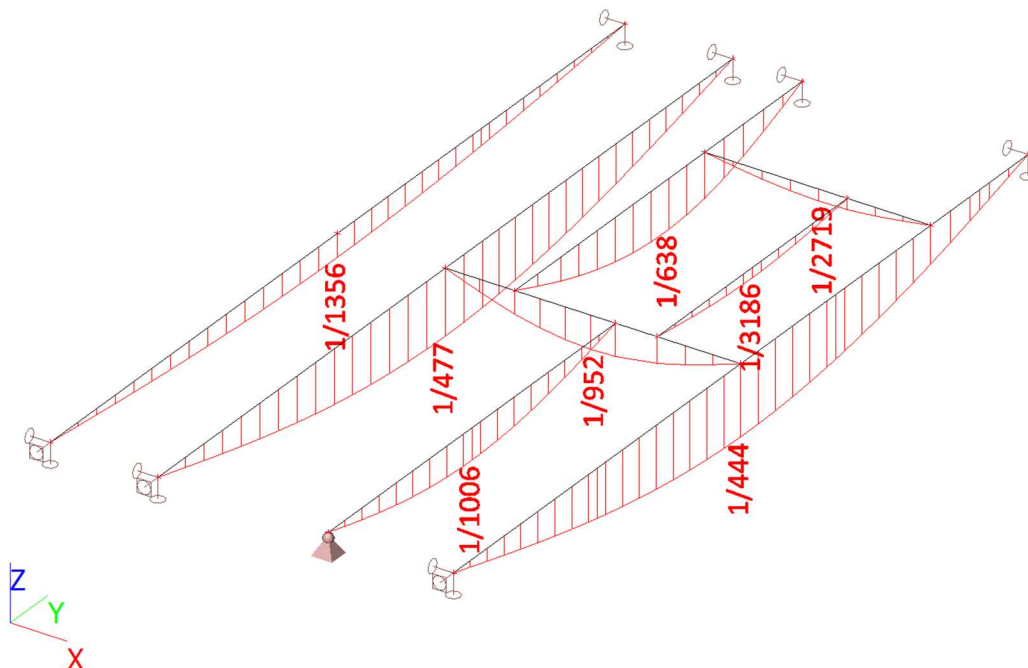
Výběr: Vše

**Celkový posudek**

Jméno	dx [m]	Stav	Průřez	Materiál	UC <sub>Celkový</sub> [-]	UC <sub>Průřez</sub> [-]	UC <sub>Stabilita</sub> [-]
B18	3,100-	MSÚ-Sada B (auto)/1	CS1 - IPE270	S 235	<b>0,58</b>	0,50	0,58
B20	1,225-	MSÚ-Sada B (auto)/2	CS4 - IPE160	S 235	<b>0,42</b>	0,36	0,42

Jméno	Klíč kombinace
MSÚ-Sada B (auto)/1	1.15*vlastní váha + 1.15*stale + 1.50*uzitne1 + 1.15*pricky
MSÚ-Sada B (auto)/2	1.35*vlastní váha + 1.35*stale + 1.05*uzitne1 + 1.35*pricky

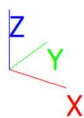
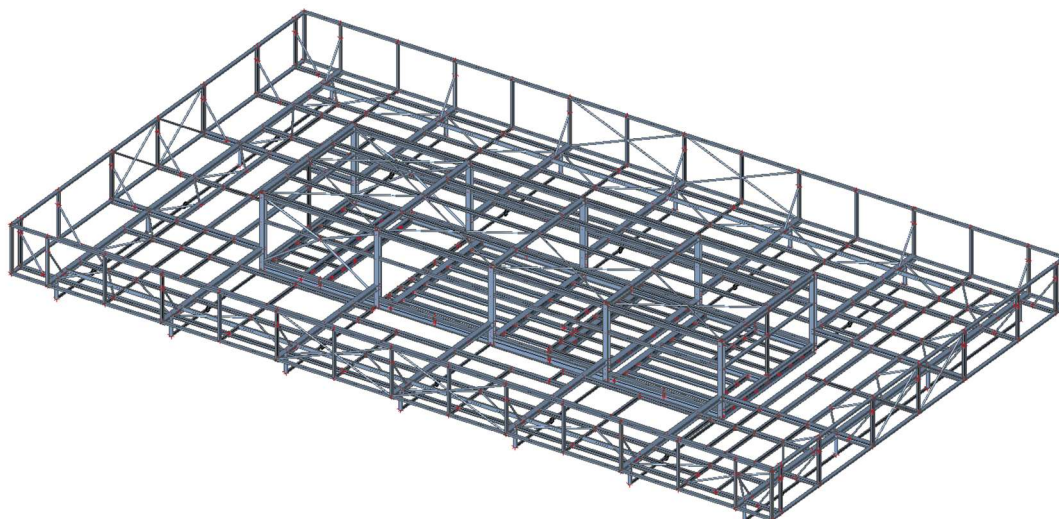
## 18. Relativní deformace; Rel uz



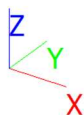
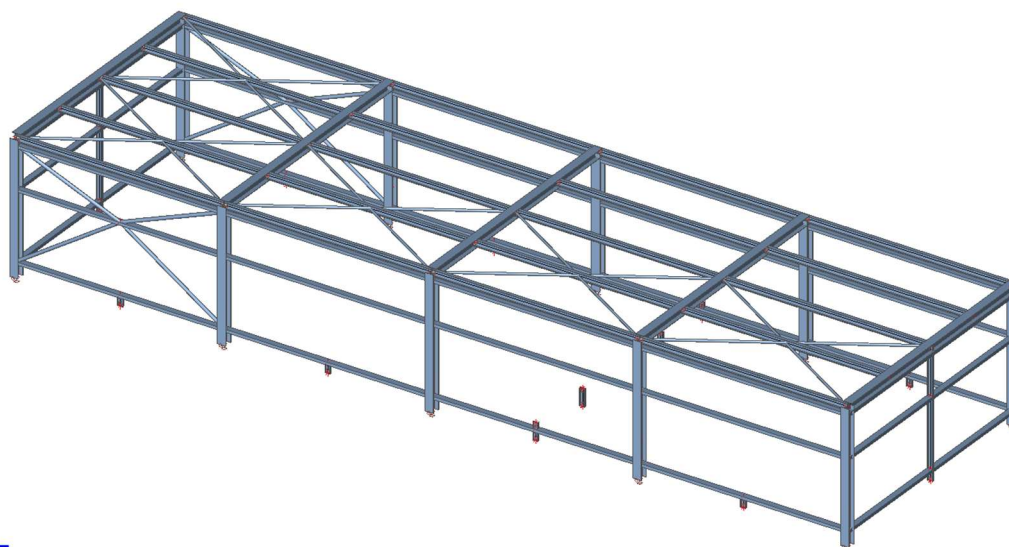


n.2.            Nástavba s rámy pro VZT

### 1. Výpočtový model

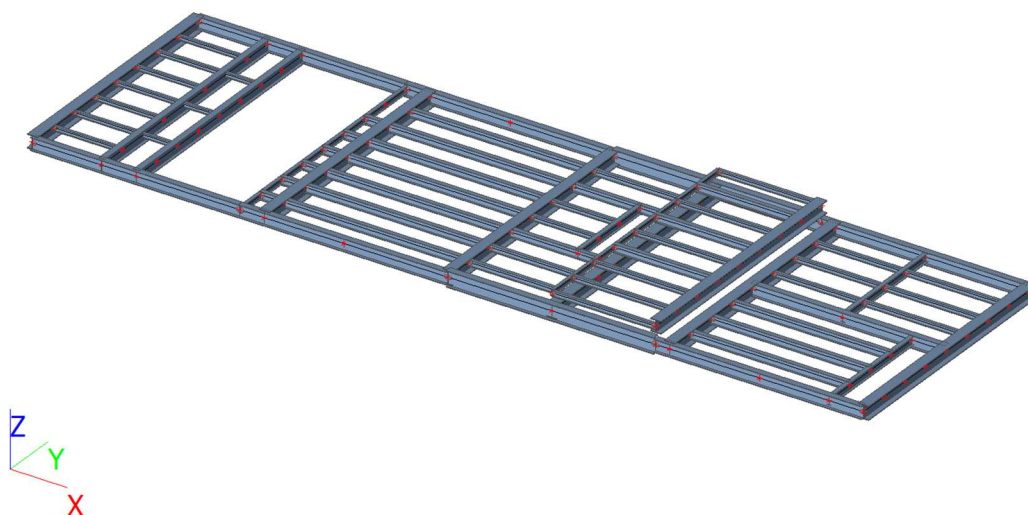


### 2. Výpočtový model

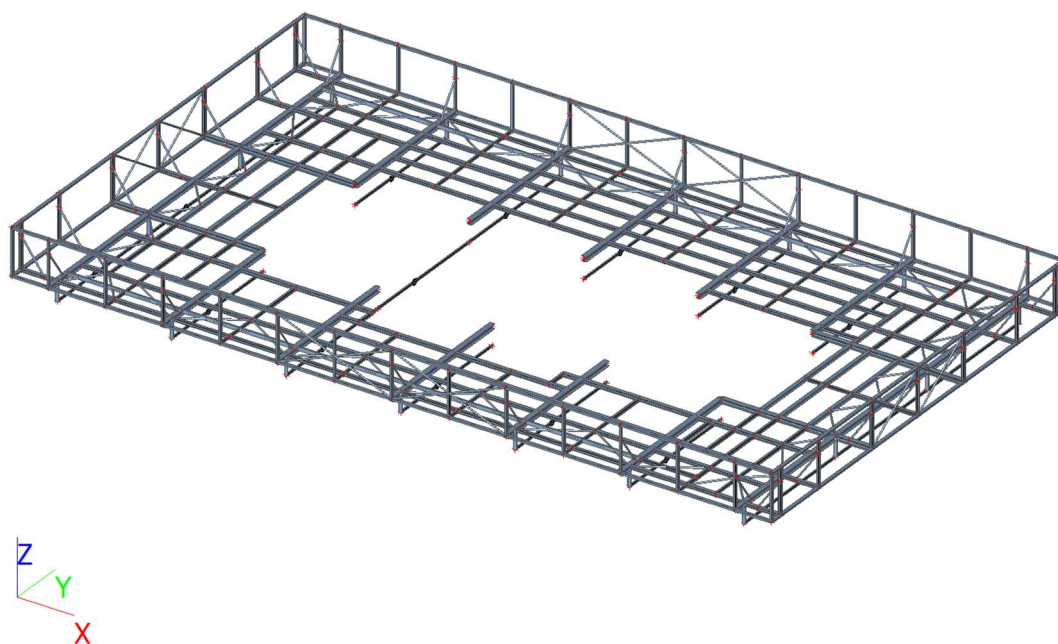




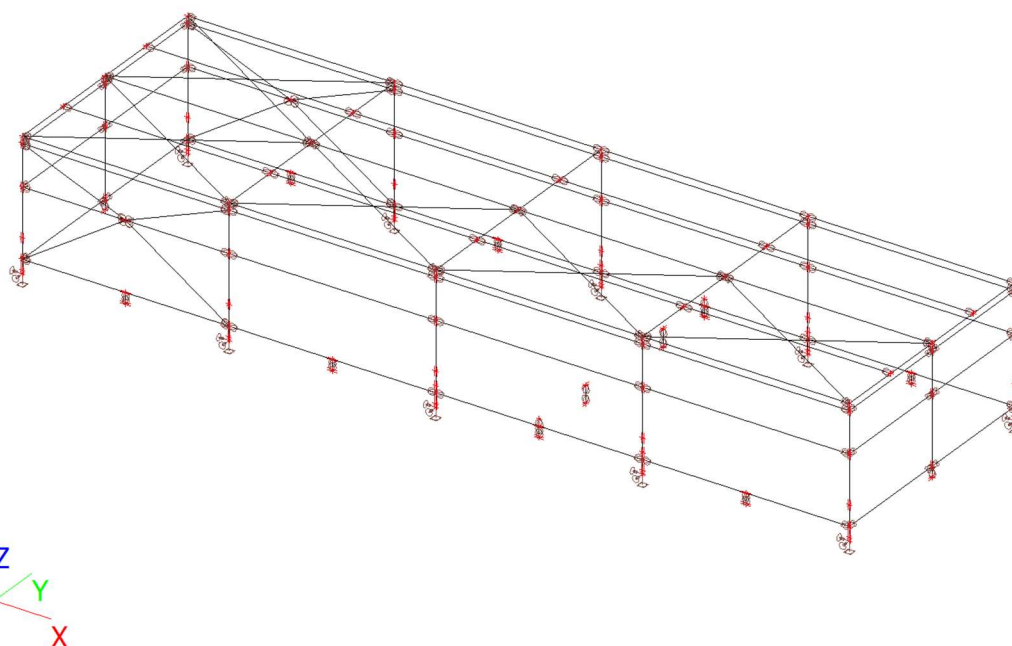
### 3. Výpočtový model



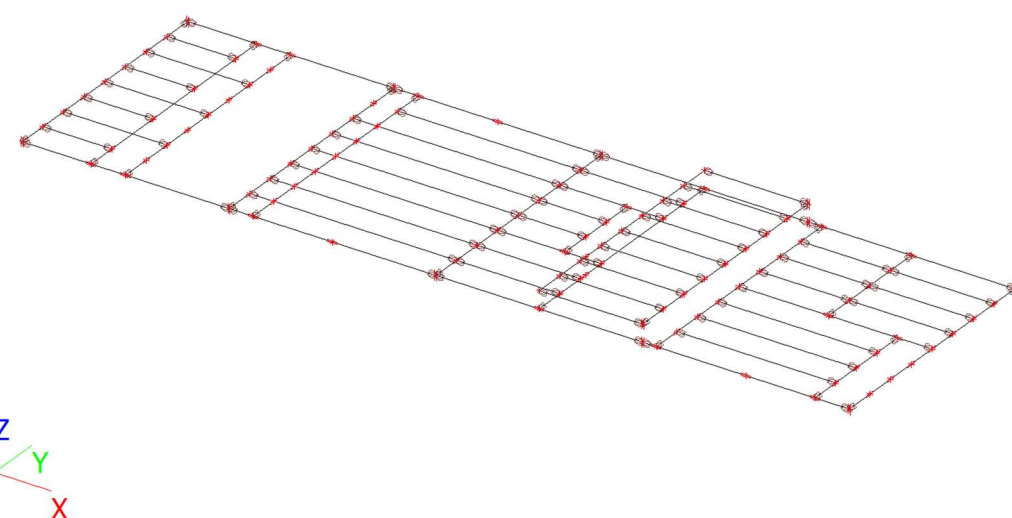
### 4. Výpočtový model



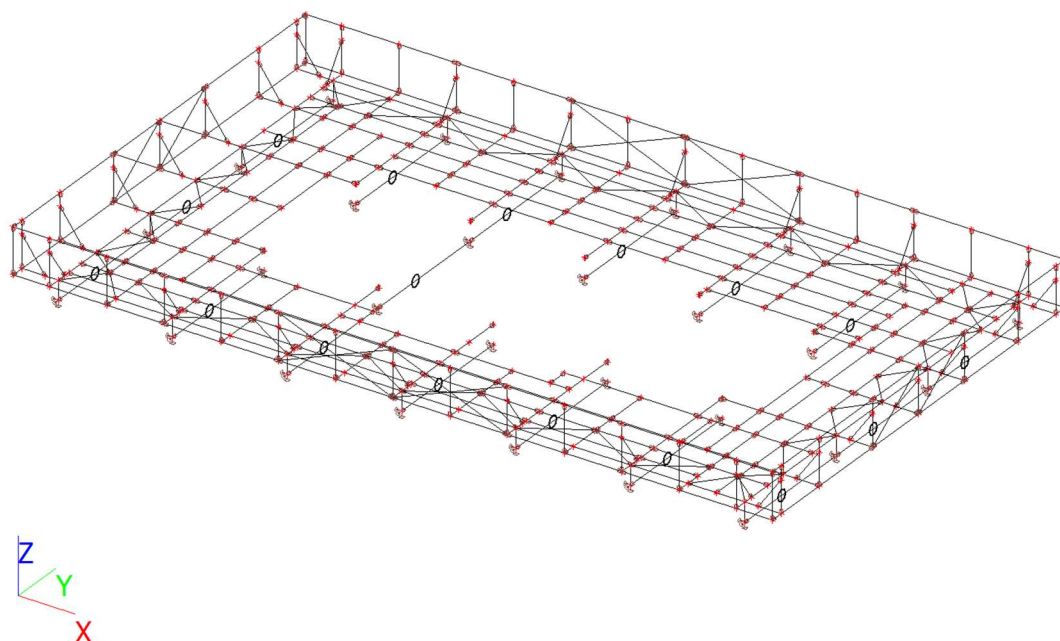
### 5. Výpočtový model



## 6. Výpočtový model



## 7. Výpočtový model



## 8. Uzly

Jméno	Souř. X [m]	Souř. Y [m]	Souř. Z [m]
N48	0,000	0,000	0,000
N49	6,000	0,000	0,000
N50	6,000	0,900	0,000
N51	0,000	0,900	0,000
N52	6,000	1,800	0,000
N53	0,000	1,800	0,000
N54	6,000	2,700	0,000
N55	0,000	2,700	0,000
N56	6,000	3,600	0,000
N57	0,000	3,600	0,000
N58	6,000	4,500	0,000
N59	0,000	4,500	0,000
N60	6,000	5,400	0,000
N61	0,000	5,400	0,000
N62	6,000	7,200	0,000
N63	0,000	7,200	0,000
N68	6,000	6,300	0,000
N69	0,000	6,300	0,000
N70	12,000	0,000	0,000
N71	12,000	0,900	0,000
N72	12,000	1,800	0,000
N73	12,000	2,700	0,000
N74	12,000	3,600	0,000
N75	12,000	4,500	0,000
N76	12,000	5,400	0,000
N77	12,000	7,200	0,000
N80	12,000	6,300	0,000
N81	18,000	0,000	0,000
N88	18,000	7,200	0,000
N92	24,000	0,000	0,000
N93	24,000	0,900	0,000
N94	24,000	1,800	0,000
N95	24,000	2,700	0,000
N96	24,000	3,600	0,000
N97	24,000	4,500	0,000
N98	24,000	5,400	0,000
N99	24,000	7,200	0,000

Jméno	Souř. X [m]	Souř. Y [m]	Souř. Z [m]
N102	24,000	6,300	0,000
N103	0,000	0,000	3,700
N104	6,000	0,000	3,700
N105	12,000	0,000	3,700
N106	18,000	0,000	3,700
N107	24,000	0,000	3,700
N113	0,000	1,800	3,700
N114	6,000	1,800	3,700
N115	0,000	3,600	3,700
N116	6,000	3,600	3,700
N117	0,000	5,400	3,700
N118	6,000	5,400	3,700
N1	12,000	1,800	3,700
N119	12,000	3,600	3,700
N120	12,000	5,400	3,700
N121	18,000	1,800	3,700
N122	18,000	3,600	3,700
N123	18,000	5,400	3,700
N124	24,000	1,800	3,700
N125	24,000	3,600	3,700
N126	24,000	5,400	3,700
N127	3,000	0,000	0,000
N128	3,000	7,200	0,000
N129	3,000	4,500	0,000
N130	3,000	3,600	0,000
N131	3,000	2,700	0,000
N132	3,000	1,800	0,000
N133	3,000	0,900	0,000
N134	3,000	5,400	0,000
N135	3,000	6,300	0,000
N146	18,000	7,200	0,300
N147	24,000	7,200	0,300
N148	12,000	7,200	0,300
N149	24,000	0,000	0,300
N150	18,000	0,000	0,300
N151	12,000	0,000	0,300
N152	6,000	0,000	0,300
N153	0,000	0,000	0,300
N154	6,000	7,200	0,300
N155	0,000	7,200	0,300
N156	0,000	0,000	3,500
N157	6,000	0,000	3,500
N158	0,000	7,200	3,500
N159	6,000	7,200	3,500
N161	12,000	7,200	3,500
N162	18,000	7,200	3,500
N163	24,000	7,200	3,500
N165	24,000	0,000	3,500
N166	0,000	-7,200	-0,100
N168	6,000	-7,200	-0,100
N170	12,000	-7,200	-0,100
N172	18,000	-7,200	-0,100
N174	24,000	-7,200	-0,100
N178	24,000	0,000	0,900
N179	0,000	0,000	0,900
N193	6,000	0,000	0,900
N194	12,000	0,000	0,900
N195	18,000	0,000	0,900
N234	-6,000	7,200	-0,100
N248	0,000	7,200	0,900
N253	-6,000	0,000	-0,100
N256	-6,000	-7,200	-0,100
N288	-6,000	14,400	-0,100
N305	0,000	14,400	-0,100
N315	6,000	14,400	-0,100
N328	6,000	7,200	0,900
N329	12,000	14,400	-0,100
N342	12,000	7,200	0,900
N343	18,000	14,400	-0,100
N356	18,000	7,200	0,900
N357	24,000	14,400	-0,100
N370	24,000	7,200	0,900

Jméno	Souř. X [m]	Souř. Y [m]	Souř. Z [m]
N372	30,000	7,200	-0,100
N388	30,000	0,000	-0,100
N391	30,000	-7,200	-0,100
N414	30,000	14,400	-0,100
N434	6,000	0,000	-0,100
N435	0,000	0,000	-0,100
N436	12,000	0,000	-0,100
N437	18,000	0,000	-0,100
N438	24,000	0,000	-0,100
N439	24,000	7,200	-0,100
N440	18,000	7,200	-0,100
N441	12,000	7,200	-0,100
N442	6,000	7,200	-0,100
N443	0,000	7,200	-0,100
N506	3,000	0,000	2,300
N507	3,000	7,200	2,300
N646	0,000	3,600	0,300
N647	24,000	3,600	0,300
N648	3,000	0,000	0,300
N651	15,000	0,000	0,300
N652	15,000	0,000	0,000
N653	21,000	0,000	0,300
N654	21,000	0,000	0,000
N655	21,000	7,200	0,300
N656	21,000	7,200	0,000
N657	15,000	7,200	0,300
N658	15,000	7,200	0,000
N659	9,000	7,200	0,300
N660	9,000	7,200	0,000
N661	3,000	7,200	0,300
N662	9,000	0,000	0,300
N663	9,000	0,000	0,000
N664	24,000	7,200	3,700
N665	18,000	7,200	3,700
N666	12,000	7,200	3,700
N667	6,000	7,200	3,700
N668	0,000	7,200	3,700
N669	18,000	0,000	3,500
N671	12,000	0,000	3,500
N674	0,000	0,000	2,300
N675	6,000	0,000	2,300
N676	12,000	0,000	2,300
N677	18,000	0,000	2,300
N678	24,000	0,000	2,300
N679	18,000	7,200	2,300
N680	24,000	7,200	2,300
N681	12,000	7,200	2,300
N682	6,000	7,200	2,300
N683	0,000	7,200	2,300
N684	24,000	3,600	3,500
N685	24,000	3,600	2,300
N686	0,000	3,600	3,500
N687	0,000	3,600	2,300
N176	24,000	-7,200	0,900
N177	0,000	-7,200	0,900
N180	6,000	-7,200	0,900
N181	12,000	-7,200	0,900
N182	18,000	-7,200	0,900
N183	6,000	-4,200	0,900
N184	12,000	-4,200	0,900
N185	18,000	-4,200	0,900
N186	24,000	-5,400	0,900
N191	0,000	-5,400	0,900
N197	6,000	-7,900	3,300
N202	3,000	-7,900	3,300
N208	21,000	-7,900	3,300
N211	3,000	-5,400	0,900
N215	9,000	-5,400	0,900
N218	15,000	-5,400	0,900
N221	21,000	-5,400	0,900
N223	0,000	-6,700	0,900
N224	0,000	-7,900	2,600

Jméno	Souř. X [m]	Souř. Y [m]	Souř. Z [m]
N225	6,000	-6,700	0,900
N226	6,000	-7,900	2,600
N227	12,000	-6,700	0,900
N228	12,000	-7,900	2,600
N229	18,000	-6,700	0,900
N230	18,000	-7,900	2,600
N231	24,000	-6,700	0,900
N232	24,000	-7,900	2,600
N235	-6,000	7,200	0,900
N239	-6,000	3,600	0,900
N240	-6,700	7,200	0,900
N241	-7,900	7,200	2,600
N242	-7,900	7,200	3,300
N243	-6,000	0,000	0,900
N244	-7,900	0,000	3,300
N246	-6,700	0,000	0,900
N247	-7,900	0,000	2,600
N251	-7,900	3,600	3,300
N252	-7,900	3,600	2,600
N257	-6,000	-5,400	0,900
N258	-6,000	-7,200	0,900
N259	-3,000	-7,900	3,300
N260	-3,000	-5,400	0,900
N269	-6,700	-7,200	0,900
N270	-7,900	-4,200	3,300
N271	-7,900	-4,200	2,600
N274	6,000	-5,400	0,900
N275	12,000	-5,400	0,900
N276	18,000	-5,400	0,900
N290	-6,000	14,400	0,900
N291	-3,000	15,100	3,300
N292	-3,000	12,600	0,900
N301	-7,900	11,400	2,600
N306	0,000	13,900	0,900
N307	0,000	15,100	2,600
N308	-7,900	11,400	3,300
N311	0,000	14,400	0,900
N313	0,000	15,100	3,300
N316	6,000	13,900	0,900
N317	6,000	15,100	2,600
N318	6,000	11,400	0,900
N319	6,000	14,400	0,900
N321	6,000	15,100	3,300
N322	6,000	12,600	0,900
N325	3,000	15,100	3,300
N330	12,000	13,900	0,900
N331	12,000	15,100	2,600
N332	12,000	11,400	0,900
N333	12,000	14,400	0,900
N335	12,000	15,100	3,300
N336	12,000	12,600	0,900
N344	18,000	13,900	0,900
N345	18,000	15,100	2,600
N346	18,000	11,400	0,900
N347	18,000	14,400	0,900
N349	18,000	15,100	3,300
N350	18,000	12,600	0,900
N358	24,000	13,900	0,900
N359	24,000	15,100	2,600
N361	24,000	14,400	0,900
N363	24,000	15,100	3,300
N367	21,000	15,100	3,300
N371	28,500	0,000	0,900
N373	30,000	7,200	0,900
N374	28,500	7,200	0,900
N376	28,500	3,600	0,900
N377	30,000	3,600	0,900
N378	30,700	7,200	0,900
N379	31,900	7,200	2,600
N380	31,900	7,200	3,300
N381	30,000	0,000	0,900
N382	31,900	0,000	3,300

Jméno	Souř. X [m]	Souř. Y [m]	Souř. Z [m]
N383	30,700	0,000	0,900
N384	31,900	0,000	2,600
N385	26,000	7,200	0,900
N386	31,900	3,600	3,300
N387	31,900	3,600	2,600
N392	30,000	-5,400	0,900
N393	30,000	-7,200	0,900
N394	27,000	-7,900	3,300
N395	27,000	-5,400	0,900
N401	30,000	-4,200	0,900
N404	31,900	-4,200	3,300
N405	31,900	-4,200	2,600
N408	26,000	0,000	0,900
N411	28,500	-4,200	0,900
N415	30,000	12,600	0,900
N416	30,000	14,400	0,900
N417	27,000	15,100	3,300
N418	27,000	12,600	0,900
N424	30,000	11,400	0,900
N427	31,900	11,400	2,600
N430	28,500	11,400	0,900
N431	31,900	11,400	3,300
N452	27,000	11,400	0,900
N455	28,500	12,600	0,900
N460	28,500	-5,400	0,900
N469	3,000	11,400	0,900
N473	26,000	3,600	0,900
N476	9,000	11,400	0,900
N480	15,000	11,400	0,900
N484	21,000	11,400	0,900
N501	-7,900	15,100	3,300
N504	31,900	15,100	3,300
N527	18,000	-7,900	0,900
N528	24,000	-7,900	0,900
N529	12,000	-7,900	0,900
N530	6,000	-7,900	0,900
N531	0,000	-7,900	0,900
N532	0,000	15,100	0,900
N533	6,000	15,100	0,900
N534	3,000	15,100	0,900
N535	-3,000	15,100	0,900
N536	-6,000	15,100	0,900
N537	-7,900	14,400	0,900
N539	9,000	15,100	0,900
N540	12,000	15,100	0,900
N541	15,000	15,100	0,900
N542	18,000	15,100	0,900
N543	21,000	15,100	0,900
N544	24,000	15,100	0,900
N545	27,000	15,100	0,900
N546	30,000	15,100	0,900
N547	31,900	14,400	0,900
N549	31,900	11,400	0,900
N550	31,900	7,200	0,900
N551	27,000	-7,900	0,900
N552	21,000	-7,900	0,900
N553	15,000	-7,900	0,900
N554	9,000	-7,900	0,900
N555	-3,000	-7,900	0,900
N557	-7,900	-7,200	0,900
N559	-7,900	0,000	0,900
N560	-7,900	3,600	0,900
N561	-7,900	7,200	0,900
N563	31,900	-7,200	0,900
N565	30,000	-7,900	0,900
N566	31,900	-4,200	0,900
N567	31,900	0,000	0,900
N568	31,900	3,600	0,900
N569	3,000	-7,900	0,900
N570	0,000	-7,900	3,300
N571	12,000	-7,900	3,300
N572	18,000	-7,900	3,300

Jméno	Souř. X [m]	Souř. Y [m]	Souř. Z [m]
N573	24,000	-7,900	3,300
N574	-7,900	-7,900	3,300
N575	31,900	-7,900	3,300
N576	-6,700	3,600	0,900
N577	-6,700	-4,200	0,900
N578	-6,700	11,400	0,900
N582	30,700	3,600	0,900
N583	30,700	-7,200	0,900
N584	30,700	-4,200	0,900
N585	30,700	14,400	0,900
N586	30,700	11,400	0,900
N589	31,900	-7,200	2,600
N590	31,900	-7,200	3,300
N591	30,000	-6,700	0,900
N592	30,000	-7,900	2,600
N593	30,000	-7,900	3,300
N597	31,900	14,400	3,300
N598	31,900	14,400	2,600
N602	30,000	15,100	3,300
N603	30,000	13,900	0,900
N604	30,000	15,100	2,600
N607	-7,900	14,400	3,300
N608	-6,700	14,400	0,900
N609	-7,900	14,400	2,600
N610	-7,900	-7,200	3,300
N611	-7,900	-7,200	2,600
N615	-7,900	-7,900	0,900
N616	31,900	-7,900	0,900
N617	31,900	15,100	0,900
N618	-7,900	15,100	0,900
N619	-6,000	15,100	2,600
N620	-6,000	15,100	3,300
N621	-6,000	13,900	0,900
N622	-6,000	-7,900	0,900
N623	-6,000	-7,900	2,600
N624	-6,000	-7,900	3,300
N625	-6,000	-6,700	0,900
N626	-3,000	-7,200	0,900
N627	3,000	-7,200	0,900
N628	9,000	-7,200	0,900
N629	15,000	-7,200	0,900
N630	21,000	-7,200	0,900
N631	27,000	-7,200	0,900
N632	-3,000	14,400	0,900
N633	3,000	14,400	0,900
N634	9,000	14,400	0,900
N635	15,000	14,400	0,900
N636	21,000	14,400	0,900
N637	27,000	14,400	0,900
N706	9,000	15,100	3,300
N707	15,000	15,100	3,300
N708	15,000	-7,900	3,300
N709	9,000	-7,900	3,300
N710	0,000	-4,200	0,900
N711	24,000	-4,200	0,900
N712	3,000	-4,200	0,900
N713	3,000	-1,900	0,900
N714	9,000	-4,200	0,900
N715	7,000	-1,900	0,900
N716	15,000	-4,200	0,900
N717	17,000	-1,900	0,900
N718	21,000	-4,200	0,900
N719	21,000	-1,900	0,900
N720	0,000	-1,900	0,900
N721	6,000	-1,900	0,900
N722	12,000	-1,900	0,900
N723	18,000	-1,900	0,900
N724	24,000	-1,900	0,900
N728	21,000	9,000	0,900
N730	15,000	9,000	0,900
N732	9,000	9,000	0,900
N734	3,000	9,000	0,900



Jméno	Souř. X [m]	Souř. Y [m]	Souř. Z [m]
N735	0,000	12,600	0,900
N736	24,000	12,600	0,900
N737	6,000	9,000	0,900
N738	12,000	9,000	0,900
N739	0,000	9,000	0,900
N740	18,000	9,000	0,900
N741	24,000	9,000	0,900
N742	0,000	11,400	0,900
N743	24,000	11,400	0,900
N744	21,000	12,600	0,900
N745	15,000	12,600	0,900
N746	9,000	12,600	0,900
N747	3,000	12,600	0,900
N748	28,500	9,000	0,900
N749	30,000	-1,900	0,900
N750	27,000	-1,900	0,900
N751	-4,500	0,000	0,900
N752	-4,500	7,200	0,900
N753	-4,500	3,600	0,900
N754	-4,500	-4,200	0,900
N755	-4,500	11,400	0,900
N756	-4,500	9,000	0,900
N757	-6,000	-1,900	0,900
N758	-3,000	3,600	0,900
N759	-3,000	7,200	0,900
N760	-3,000	0,000	0,900
N761	-3,000	11,400	0,900
N762	-3,000	-1,900	0,900
N763	-4,500	12,600	0,900
N764	-4,500	-5,400	0,900
N769	-6,000	12,600	0,900
N770	-6,000	11,400	0,900
N771	-6,000	-4,200	0,900
N772	-7,900	11,400	0,900
N773	-7,900	-4,200	0,900
N774	23,000	0,900	0,000
N775	23,000	1,800	0,000
N776	23,000	2,700	0,000
N778	21,000	4,500	0,000
N779	21,000	5,400	0,000
N780	21,000	6,300	0,000
N781	21,000	3,600	0,000
N782	2,000	0,000	0,000
N783	2,000	7,200	0,000
N784	2,000	4,500	0,000
N785	2,000	2,700	0,000
N786	2,000	0,900	0,000
N787	2,000	6,300	0,000
N788	6,700	0,000	0,000
N789	6,700	7,200	0,000
N790	6,700	6,300	0,000
N791	6,700	5,400	0,000
N792	6,700	4,500	0,000
N793	6,700	3,600	0,000
N794	6,700	2,700	0,000
N795	6,700	1,800	0,000
N796	6,700	0,900	0,000
N797	13,950	2,700	0,000
N798	13,950	5,400	0,000
N801	13,950	4,500	0,000
N803	13,950	3,600	0,000
N805	23,000	0,000	0,000
N806	23,000	3,600	0,000
N807	12,000	7,200	0,500
N808	18,000	7,200	0,500
N809	15,000	6,300	0,500
N810	18,000	6,300	0,500
N811	15,000	5,400	0,500
N812	18,000	5,400	0,500
N813	15,000	4,500	0,500
N814	18,000	4,500	0,500
N815	15,000	2,700	0,500

Jméno	Souř. X [m]	Souř. Y [m]	Souř. Z [m]
N816	18,000	2,700	0,500
N817	15,000	3,600	0,500
N818	18,000	3,600	0,500
N819	15,000	0,900	0,500
N820	18,000	0,900	0,500
N821	15,000	1,800	0,500
N822	18,000	1,800	0,500
N823	12,000	0,000	0,500
N824	18,000	0,000	0,500
N834	15,000	0,000	0,500
N835	15,000	7,200	0,500
N836	15,000	0,900	0,000
N837	15,000	1,800	0,000
N838	15,000	2,700	0,000
N839	15,000	6,300	0,000
N840	15,000	5,400	0,000
N841	18,400	0,000	0,000
N842	18,400	7,200	0,000
N847	18,400	6,300	0,000
N848	18,400	5,400	0,000
N849	18,400	4,500	0,000
N850	18,400	3,600	0,000
N851	18,400	2,700	0,000
N852	18,400	1,800	0,000
N853	18,400	0,900	0,000
N854	15,000	2,025	0,500
N855	15,000	2,025	0,000
N856	27,000	7,200	0,900
N857	27,000	0,000	0,900
N858	27,000	3,600	0,900
N861	27,000	-4,200	0,900
N862	-3,000	-4,200	0,900
N868	-4,500	-1,900	0,900
N869	28,500	-1,900	0,900
N870	-1,500	3,600	0,900
N871	-1,500	7,200	0,900
N872	-1,500	0,000	0,900
N873	-4,500	1,800	0,900
N874	-4,500	5,400	0,900
N875	6,000	-3,000	0,900
N876	12,000	-3,000	0,900
N877	18,000	-3,000	0,900
N878	28,500	1,800	0,900
N879	28,500	5,400	0,900
N880	-6,000	-6,400	0,900
N881	0,000	-6,400	0,900
N882	6,000	-6,400	0,900
N883	12,000	-6,400	0,900
N884	18,000	-6,400	0,900
N885	24,000	-6,400	0,900
N886	27,000	-6,400	0,900
N887	0,000	13,600	0,900
N888	6,000	13,600	0,900
N889	-6,000	13,600	0,900
N890	12,000	13,600	0,900
N891	18,000	13,600	0,900
N892	24,000	13,600	0,900
N893	27,000	13,600	0,900
N894	6,000	10,200	0,900
N895	12,000	10,200	0,900
N896	18,000	10,200	0,900
N897	24,000	10,200	0,900
N898	0,000	10,200	0,900
N899	18,000	7,800	0,900
N900	24,000	7,800	0,900
N901	21,000	10,200	0,900
N902	21,000	7,800	0,900
N903	-1,500	11,400	0,900
N904	-1,500	-1,900	0,900
N905	-1,500	-4,200	0,900
N906	26,000	9,000	0,900
N907	26,000	10,200	0,900

Jméno	Souř. X [m]	Souř. Y [m]	Souř. Z [m]
N908	26,000	7,800	0,900
N910	26,000	-4,200	0,900
N911	26,000	-1,900	0,900
N912	24,700	-1,900	0,900
N913	24,700	-4,200	0,900
N914	9,000	-3,000	0,900
N915	15,000	-3,000	0,900
N916	7,000	-3,000	0,900
N917	17,000	-3,000	0,900
N918	26,000	11,400	0,900
N919	28,500	14,400	0,900
N920	28,500	-7,200	0,900
N921	15,000	10,200	0,900
N922	9,000	10,200	0,900
N923	3,000	10,200	0,900
N924	-6,000	9,000	0,900
N925	-3,000	9,000	0,900
N926	-1,500	9,000	0,900
N927	30,000	9,000	0,900
N928	27,000	9,000	0,900

## 9. Prvky

Jméno	Průřez	Materiál	Délka [m]	Poč. uzel	Konc. uzel	Typ
B24	CS9 - IPE360	S 235	6,000	N48	N49	nosník (80)
B25	CS3 - IPE140	S 235	2,000	N51	N786	nosník (80)
B26	CS3 - IPE140	S 235	3,000	N53	N132	nosník (80)
B27	CS3 - IPE140	S 235	2,000	N55	N785	nosník (80)
B28	CS3 - IPE140	S 235	3,000	N57	N130	nosník (80)
B29	CS3 - IPE140	S 235	2,000	N59	N784	nosník (80)
B30	CS3 - IPE140	S 235	3,000	N61	N134	nosník (80)
B31	CS9 - IPE360	S 235	6,000	N63	N62	nosník (80)
B1	CS1 - HEA400	S 235	7,200	N48	N63	nosník (80)
B32	CS20 - IPE180	S 235	7,200	N49	N62	nosník (80)
B33	CS3 - IPE140	S 235	2,000	N69	N787	nosník (80)
B34	CS9 - IPE360	S 235	6,000	N49	N70	nosník (80)
B35	CS2 - IPE240	S 235	0,700	N50	N796	nosník (80)
B36	CS2 - IPE240	S 235	0,700	N52	N795	nosník (80)
B37	CS2 - IPE240	S 235	0,700	N54	N794	nosník (80)
B38	CS2 - IPE240	S 235	0,700	N56	N793	nosník (80)
B39	CS2 - IPE240	S 235	0,700	N58	N792	nosník (80)
B40	CS2 - IPE240	S 235	0,700	N60	N791	nosník (80)
B41	CS9 - IPE360	S 235	6,000	N62	N77	nosník (80)
B42	CS1 - HEA400	S 235	7,200	N70	N77	nosník (80)
B44	CS33 - IPE450	S 235	6,000	N70	N81	nosník (80)
B45	CS20 - IPE180	S 235	3,000	N71	N836	nosník (80)
B46	CS20 - IPE180	S 235	3,000	N72	N837	nosník (80)
B47	CS2 - IPE240	S 235	3,000	N73	N838	nosník (80)
B48	CS5 - IPE160	S 235	1,950	N74	N803	nosník (80)
B49	CS5 - IPE160	S 235	1,950	N75	N801	nosník (80)
B50	CS2 - IPE240	S 235	3,000	N76	N840	nosník (80)
B51	CS33 - IPE450	S 235	6,000	N77	N88	nosník (80)
B53	CS20 - IPE180	S 235	3,000	N80	N839	nosník (80)
B54	CS9 - IPE360	S 235	6,000	N81	N92	nosník (80)
B55	CS2 - IPE240	S 235	4,600	N853	N774	nosník (80)
B56	CS2 - IPE240	S 235	4,600	N852	N775	nosník (80)
B57	CS2 - IPE240	S 235	4,600	N851	N776	nosník (80)
B58	CS9 - IPE360	S 235	5,600	N850	N96	nosník (80)
B59	CS5 - IPE160	S 235	2,600	N849	N778	nosník (80)
B60	CS5 - IPE160	S 235	2,600	N848	N779	nosník (80)
B61	CS9 - IPE360	S 235	6,000	N88	N99	nosník (80)
B62	CS1 - HEA400	S 235	7,200	N92	N99	nosník (80)
B63	CS5 - IPE160	S 235	2,600	N847	N780	nosník (80)
B64	CS4 - HEA240	S 235	3,800	N435	N103	sloup (100)
B65	CS4 - HEA240	S 235	3,800	N434	N104	sloup (100)
B66	CS4 - HEA240	S 235	3,800	N436	N105	sloup (100)
B67	CS4 - HEA240	S 235	3,800	N437	N106	sloup (100)
B68	CS4 - HEA240	S 235	3,800	N438	N107	sloup (100)
B69	CS4 - HEA240	S 235	3,800	N439	N664	sloup (100)
B70	CS4 - HEA240	S 235	3,800	N440	N665	sloup (100)
B71	CS4 - HEA240	S 235	3,800	N441	N666	sloup (100)

Jméno	Průřez	Materiál	Délka [m]	Poč. uzel	Konc. uzel	Typ
B72	CS4 - HEA240	S 235	3,800	N442	N667	sloup (100)
B73	CS4 - HEA240	S 235	3,800	N443	N668	sloup (100)
B74	CS4 - HEA240	S 235	7,200	N103	N668	nosník (80)
B75	CS4 - HEA240	S 235	7,200	N104	N667	nosník (80)
B76	CS4 - HEA240	S 235	7,200	N105	N666	nosník (80)
B77	CS4 - HEA240	S 235	7,200	N106	N665	nosník (80)
B78	CS4 - HEA240	S 235	7,200	N107	N664	nosník (80)
B79	CS31 - IPE180	S 235	6,000	N103	N104	nosník (80)
B80	CS31 - IPE180	S 235	6,000	N668	N667	nosník (80)
B81	CS31 - IPE180	S 235	6,000	N113	N114	nosník (80)
B82	CS31 - IPE180	S 235	6,000	N115	N116	nosník (80)
B83	CS31 - IPE180	S 235	6,000	N117	N118	nosník (80)
B84	CS31 - IPE180	S 235	6,000	N104	N105	nosník (80)
B85	CS31 - IPE180	S 235	6,000	N667	N666	nosník (80)
B86	CS31 - IPE180	S 235	6,000	N114	N1	nosník (80)
B87	CS31 - IPE180	S 235	6,000	N116	N119	nosník (80)
B88	CS31 - IPE180	S 235	6,000	N118	N120	nosník (80)
B89	CS31 - IPE180	S 235	6,000	N105	N106	nosník (80)
B90	CS31 - IPE180	S 235	6,000	N666	N665	nosník (80)
B91	CS31 - IPE180	S 235	6,000	N1	N121	nosník (80)
B92	CS31 - IPE180	S 235	6,000	N119	N122	nosník (80)
B93	CS31 - IPE180	S 235	6,000	N120	N123	nosník (80)
B94	CS31 - IPE180	S 235	6,000	N106	N107	nosník (80)
B95	CS31 - IPE180	S 235	6,000	N665	N664	nosník (80)
B96	CS31 - IPE180	S 235	6,000	N121	N124	nosník (80)
B97	CS31 - IPE180	S 235	6,000	N122	N125	nosník (80)
B98	CS31 - IPE180	S 235	6,000	N123	N126	nosník (80)
B99	CS6 - RO88.9X5	S 235	3,606	N153	N506	nosník (80)
B100	CS6 - RO88.9X5	S 235	3,606	N152	N506	nosník (80)
B103	CS7 - RO60.3X3.6	S 235	6,997	N103	N116	nosník (80)
B104	CS7 - RO60.3X3.6	S 235	6,997	N104	N115	nosník (80)
B105	CS7 - RO60.3X3.6	S 235	6,997	N115	N667	nosník (80)
B106	CS7 - RO60.3X3.6	S 235	6,997	N116	N668	nosník (80)
B107	CS9 - IPE360	S 235	7,200	N127	N128	nosník (80)
B118	CS8 - VHP160/80x4.0	S 235	6,000	N146	N147	nosník (80)
B119	CS8 - VHP160/80x4.0	S 235	6,000	N148	N146	nosník (80)
B120	CS8 - VHP160/80x4.0	S 235	3,600	N149	N647	nosník (80)
B121	CS8 - VHP160/80x4.0	S 235	6,000	N150	N149	nosník (80)
B122	CS8 - VHP160/80x4.0	S 235	6,000	N151	N150	nosník (80)
B123	CS8 - VHP160/80x4.0	S 235	6,000	N152	N151	nosník (80)
B124	CS8 - VHP160/80x4.0	S 235	6,000	N153	N152	nosník (80)
B125	CS8 - VHP160/80x4.0	S 235	6,000	N154	N148	nosník (80)
B126	CS8 - VHP160/80x4.0	S 235	6,000	N155	N154	nosník (80)
B127	CS8 - VHP160/80x4.0	S 235	3,600	N153	N646	nosník (80)
B129	CS8 - VHP160/80x4.0	S 235	6,000	N158	N159	nosník (80)
B131	CS8 - VHP160/80x4.0	S 235	6,000	N159	N161	nosník (80)
B132	CS8 - VHP160/80x4.0	S 235	6,000	N162	N163	nosník (80)
B134	CS8 - VHP160/80x4.0	S 235	6,000	N161	N162	nosník (80)
B136	CS8 - VHP160/80x4.0	S 235	3,600	N165	N684	nosník (80)
B137	CS8 - VHP160/80x4.0	S 235	3,600	N156	N686	nosník (80)
B138	CS7 - RO60.3X3.6	S 235	6,997	N105	N116	nosník (80)
B139	CS7 - RO60.3X3.6	S 235	6,997	N104	N119	nosník (80)
B140	CS7 - RO60.3X3.6	S 235	6,997	N106	N119	nosník (80)
B141	CS7 - RO60.3X3.6	S 235	6,997	N105	N122	nosník (80)
B142	CS7 - RO60.3X3.6	S 235	6,997	N107	N122	nosník (80)
B143	CS7 - RO60.3X3.6	S 235	6,997	N106	N125	nosník (80)
B144	CS6 - RO88.9X5	S 235	3,606	N155	N507	nosník (80)
B145	CS6 - RO88.9X5	S 235	3,606	N154	N507	nosník (80)
B415	CS6 - RO88.9X5	S 235	3,231	N506	N157	nosník (80)
B416	CS6 - RO88.9X5	S 235	3,231	N506	N156	nosník (80)
B417	CS6 - RO88.9X5	S 235	3,231	N507	N159	nosník (80)
B418	CS6 - RO88.9X5	S 235	3,231	N507	N158	nosník (80)
B443	CS15 - U120	S 235	7,200	N170	N436	nosník (80)
B469	CS15 - U120	S 235	7,200	N441	N329	nosník (80)
B470	CS15 - U120	S 235	7,200	N172	N437	nosník (80)
B471	CS15 - U120	S 235	7,200	N440	N343	nosník (80)
B472	CS15 - U120	S 235	7,200	N174	N438	nosník (80)
B473	CS15 - U120	S 235	7,200	N439	N357	nosník (80)
B474	CS15 - U120	S 235	7,200	N168	N434	nosník (80)
B475	CS15 - U120	S 235	7,200	N442	N315	nosník (80)
B476	CS15 - U120	S 235	7,200	N166	N435	nosník (80)
B477	CS15 - U120	S 235	7,200	N443	N305	nosník (80)

Jméno	Průřez	Materiál	Délka [m]	Poč. uzel	Konc. uzel	Typ
B478	CS15 - U120	S 235	7,200	N234	N288	nosník (80)
B479	CS15 - U120	S 235	7,200	N256	N253	nosník (80)
B480	CS15 - U120	S 235	7,200	N372	N414	nosník (80)
B481	CS15 - U120	S 235	7,200	N391	N388	nosník (80)
B482	CS15 - U120	S 235	7,200	N388	N372	nosník (80)
B483	CS15 - U120	S 235	7,200	N253	N234	nosník (80)
B548	CS10 - IPE140	S 235	3,700	N115	N57	nosník (80)
B549	CS10 - IPE140	S 235	3,700	N125	N96	nosník (80)
B550	CS10 - IPE140	S 235	0,300	N648	N127	nosník (80)
B552	CS10 - IPE140	S 235	0,300	N651	N652	nosník (80)
B553	CS10 - IPE140	S 235	0,300	N653	N654	nosník (80)
B554	CS10 - IPE140	S 235	0,300	N655	N656	nosník (80)
B555	CS10 - IPE140	S 235	0,300	N657	N658	nosník (80)
B556	CS10 - IPE140	S 235	0,300	N659	N660	nosník (80)
B557	CS10 - IPE140	S 235	0,300	N661	N128	nosník (80)
B558	CS10 - IPE140	S 235	0,300	N662	N663	nosník (80)
B559	CS8 - VHP160/80x4.0	S 235	6,000	N669	N165	nosník (80)
B560	CS8 - VHP160/80x4.0	S 235	6,000	N671	N669	nosník (80)
B561	CS8 - VHP160/80x4.0	S 235	6,000	N157	N671	nosník (80)
B562	CS8 - VHP160/80x4.0	S 235	6,000	N156	N157	nosník (80)
B563	CS8 - VHP160/80x4.0	S 235	6,000	N674	N675	nosník (80)
B564	CS8 - VHP160/80x4.0	S 235	6,000	N675	N676	nosník (80)
B565	CS8 - VHP160/80x4.0	S 235	6,000	N676	N677	nosník (80)
B566	CS8 - VHP160/80x4.0	S 235	6,000	N677	N678	nosník (80)
B567	CS8 - VHP160/80x4.0	S 235	6,000	N679	N680	nosník (80)
B568	CS8 - VHP160/80x4.0	S 235	6,000	N681	N679	nosník (80)
B569	CS8 - VHP160/80x4.0	S 235	6,000	N682	N681	nosník (80)
B570	CS8 - VHP160/80x4.0	S 235	3,600	N678	N685	nosník (80)
B571	CS8 - VHP160/80x4.0	S 235	6,000	N683	N682	nosník (80)
B572	CS8 - VHP160/80x4.0	S 235	3,600	N674	N687	nosník (80)
B573	CS8 - VHP160/80x4.0	S 235	3,600	N684	N163	nosník (80)
B574	CS8 - VHP160/80x4.0	S 235	3,600	N685	N680	nosník (80)
B575	CS8 - VHP160/80x4.0	S 235	3,600	N647	N147	nosník (80)
B576	CS8 - VHP160/80x4.0	S 235	3,600	N686	N158	nosník (80)
B577	CS8 - VHP160/80x4.0	S 235	3,600	N687	N683	nosník (80)
B578	CS8 - VHP160/80x4.0	S 235	3,600	N646	N155	nosník (80)
B146	CS22 - RO159X14.2	S 355	1,000	N166	N177	sloup (100)
B147	CS22 - RO159X14.2	S 355	1,000	N168	N180	sloup (100)
B148	CS22 - RO159X14.2	S 355	1,000	N170	N181	sloup (100)
B149	CS22 - RO159X14.2	S 355	1,000	N172	N182	sloup (100)
B150	CS22 - RO159X14.2	S 355	1,000	N174	N176	sloup (100)
B151	CS35 - HEA260	S 235	7,900	N528	N178	nosník (80)
B152	CS35 - HEA260	S 235	7,900	N531	N179	nosník (80)
B153	CS28 - IPE180	S 235	6,000	N180	N181	nosník (80)
B154	CS28 - IPE180	S 235	6,000	N181	N182	nosník (80)
B155	CS28 - IPE180	S 235	6,000	N182	N176	nosník (80)
B156	CS34 - HEA180	S 235	6,000	N183	N184	nosník (80)
B157	CS34 - HEA180	S 235	6,000	N184	N185	nosník (80)
B158	CS34 - HEA180	S 235	6,000	N185	N711	nosník (80)
B159	CS34 - HEA180	S 235	1,000	N721	N715	nosník (80)
B160	CS34 - HEA180	S 235	1,000	N717	N723	nosník (80)
B161	CS34 - HEA180	S 235	6,000	N723	N724	nosník (80)
B162	CS34 - HEA180	S 235	6,000	N710	N183	nosník (80)
B163	CS34 - HEA180	S 235	6,000	N720	N721	nosník (80)
B164	CS28 - IPE180	S 235	6,000	N177	N180	nosník (80)
B165	CS35 - HEA260	S 235	7,900	N530	N193	nosník (80)
B166	CS35 - HEA260	S 235	7,900	N529	N194	nosník (80)
B167	CS35 - HEA260	S 235	7,900	N527	N195	nosník (80)
B168	CS23 - IPE160	S 235	2,400	N531	N570	sloup (100)
B169	CS23 - IPE160	S 235	2,400	N530	N197	sloup (100)
B170	CS23 - IPE160	S 235	2,400	N529	N571	sloup (100)
B171	CS23 - IPE160	S 235	2,400	N527	N572	sloup (100)
B172	CS23 - IPE160	S 235	2,400	N528	N573	sloup (100)
B186	CS25 - RO70X3.6	S 235	2,081	N223	N224	nosník (80)
B187	CS25 - RO70X3.6	S 235	2,081	N225	N226	nosník (80)
B188	CS25 - RO70X3.6	S 235	2,081	N227	N228	nosník (80)
B189	CS25 - RO70X3.6	S 235	2,081	N229	N230	nosník (80)
B190	CS25 - RO70X3.6	S 235	2,081	N231	N232	nosník (80)
B191	CS26 - VHP160/80x4.0	S 235	6,000	N570	N197	nosník (80)
B192	CS26 - VHP160/80x4.0	S 235	6,000	N197	N571	nosník (80)
B193	CS26 - VHP160/80x4.0	S 235	6,000	N571	N572	nosník (80)
B194	CS26 - VHP160/80x4.0	S 235	6,000	N572	N573	nosník (80)

Jméno	Průřez	Materiál	Délka [m]	Poč. uzel	Konc. uzel	Typ
B196	CS25 - RO70X3.6	S 235	6,462	N529	N197	nosník (80)
B198	CS25 - RO70X3.6	S 235	6,462	N530	N571	nosník (80)
B199	CS23 - IPE160	S 235	2,400	N559	N244	sloup (100)
B202	CS21 - HEA240	S 235	7,200	N235	N243	nosník (80)
B203	CS21 - HEA240	S 235	7,900	N559	N179	nosník (80)
B204	CS25 - RO70X3.6	S 235	2,081	N246	N247	nosník (80)
B205	CS22 - RO159X14.2	S 355	1,000	N234	N235	sloup (100)
B206	CS21 - HEA240	S 235	7,900	N561	N248	nosník (80)
B208	CS23 - IPE160	S 235	2,400	N561	N242	sloup (100)
B209	CS23 - IPE160	S 235	2,400	N560	N251	sloup (100)
B210	CS27 - HEA160	S 235	1,900	N560	N239	nosník (80)
B211	CS25 - RO70X3.6	S 235	2,081	N576	N252	nosník (80)
B212	CS25 - RO70X3.6	S 235	2,081	N240	N241	nosník (80)
B213	CS26 - VHP160/80x4.0	S 235	7,200	N242	N244	nosník (80)
B214	CS22 - RO159X14.2	S 355	1,000	N253	N243	sloup (100)
B215	CS27 - HEA160	S 235	6,000	N257	N191	nosník (80)
B216	CS27 - HEA160	S 235	7,900	N557	N177	nosník (80)
B218	CS29 - IPE140	S 235	0,700	N555	N626	nosník (80)
B220	CS27 - HEA160	S 235	1,900	N773	N771	nosník (80)
B222	CS23 - IPE160	S 235	2,400	N557	N610	sloup (100)
B223	CS22 - RO159X14.2	S 355	1,000	N256	N258	sloup (100)
B224	CS26 - VHP160/80x4.0	S 235	7,900	N574	N570	nosník (80)
B225	CS26 - VHP160/80x4.0	S 235	7,900	N244	N574	nosník (80)
B228	CS21 - HEA240	S 235	7,900	N243	N622	nosník (80)
B229	CS25 - RO70X3.6	S 235	2,081	N269	N611	nosník (80)
B230	CS23 - IPE160	S 235	2,400	N773	N270	sloup (100)
B231	CS25 - RO70X3.6	S 235	2,081	N577	N271	nosník (80)
B233	CS27 - HEA160	S 235	6,000	N191	N274	nosník (80)
B234	CS27 - HEA160	S 235	6,000	N274	N275	nosník (80)
B235	CS27 - HEA160	S 235	6,000	N275	N276	nosník (80)
B236	CS27 - HEA160	S 235	6,000	N276	N186	nosník (80)
B239	CS25 - RO70X3.6	S 235	4,327	N561	N251	nosník (80)
B240	CS25 - RO70X3.6	S 235	4,327	N560	N242	nosník (80)
B241	CS25 - RO70X3.6	S 235	4,327	N560	N244	nosník (80)
B243	CS25 - RO70X3.6	S 235	4,327	N559	N251	nosník (80)
B244	CS27 - HEA160	S 235	6,000	N769	N735	nosník (80)
B245	CS27 - HEA160	S 235	7,900	N537	N311	nosník (80)
B247	CS29 - IPE140	S 235	0,700	N535	N632	nosník (80)
B251	CS23 - IPE160	S 235	2,400	N618	N501	sloup (100)
B252	CS22 - RO159X14.2	S 355	1,000	N288	N290	sloup (100)
B253	CS26 - VHP160/80x4.0	S 235	7,900	N501	N313	nosník (80)
B254	CS26 - VHP160/80x4.0	S 235	7,900	N242	N501	nosník (80)
B256	CS21 - HEA240	S 235	7,900	N235	N536	nosník (80)
B258	CS23 - IPE160	S 235	2,400	N772	N308	sloup (100)
B259	CS25 - RO70X3.6	S 235	2,081	N578	N301	nosník (80)
B262	CS35 - HEA260	S 235	7,900	N532	N248	nosník (80)
B263	CS22 - RO159X14.2	S 355	1,000	N305	N311	sloup (100)
B264	CS23 - IPE160	S 235	2,400	N532	N313	sloup (100)
B265	CS25 - RO70X3.6	S 235	2,081	N306	N307	nosník (80)
B266	CS34 - HEA180	S 235	6,000	N742	N318	nosník (80)
B267	CS28 - IPE180	S 235	6,000	N311	N319	nosník (80)
B268	CS27 - HEA160	S 235	6,000	N739	N737	nosník (80)
B269	CS26 - VHP160/80x4.0	S 235	6,000	N313	N321	nosník (80)
B270	CS27 - HEA160	S 235	6,000	N735	N322	nosník (80)
B271	CS35 - HEA260	S 235	7,900	N533	N328	nosník (80)
B272	CS22 - RO159X14.2	S 355	1,000	N315	N319	sloup (100)
B273	CS23 - IPE160	S 235	2,400	N533	N321	sloup (100)
B274	CS25 - RO70X3.6	S 235	2,081	N316	N317	nosník (80)
B278	CS34 - HEA180	S 235	6,000	N318	N332	nosník (80)
B279	CS28 - IPE180	S 235	6,000	N319	N333	nosník (80)
B280	CS27 - HEA160	S 235	6,000	N737	N738	nosník (80)
B281	CS26 - VHP160/80x4.0	S 235	6,000	N321	N335	nosník (80)
B282	CS27 - HEA160	S 235	6,000	N322	N336	nosník (80)
B283	CS35 - HEA260	S 235	7,900	N540	N342	nosník (80)
B284	CS22 - RO159X14.2	S 355	1,000	N329	N333	sloup (100)
B285	CS23 - IPE160	S 235	2,400	N540	N335	sloup (100)
B286	CS25 - RO70X3.6	S 235	2,081	N330	N331	nosník (80)
B290	CS34 - HEA180	S 235	6,000	N332	N346	nosník (80)
B291	CS28 - IPE180	S 235	6,000	N333	N347	nosník (80)
B292	CS27 - HEA160	S 235	6,000	N738	N740	nosník (80)
B293	CS26 - VHP160/80x4.0	S 235	6,000	N335	N349	nosník (80)
B294	CS27 - HEA160	S 235	6,000	N336	N350	nosník (80)

Jméno	Průřez	Materiál	Délka [m]	Poč. uzel	Konc. uzel	Typ
B295	CS35 - HEA260	S 235	7,900	N542	N356	nosník (80)
B296	CS22 - RO159X14.2	S 355	1,000	N343	N347	sloup (100)
B297	CS23 - IPE160	S 235	2,400	N542	N349	sloup (100)
B298	CS25 - RO70X3.6	S 235	2,081	N344	N345	nosník (80)
B302	CS34 - HEA180	S 235	6,000	N346	N743	nosník (80)
B303	CS28 - IPE180	S 235	6,000	N347	N361	nosník (80)
B304	CS27 - HEA160	S 235	6,000	N740	N741	nosník (80)
B305	CS26 - VHP160/80x4.0	S 235	6,000	N349	N363	nosník (80)
B306	CS27 - HEA160	S 235	6,000	N350	N736	nosník (80)
B307	CS35 - HEA260	S 235	7,900	N544	N370	nosník (80)
B308	CS22 - RO159X14.2	S 355	1,000	N357	N361	sloup (100)
B309	CS23 - IPE160	S 235	2,400	N544	N363	sloup (100)
B310	CS25 - RO70X3.6	S 235	2,081	N358	N359	nosník (80)
B314	CS23 - IPE160	S 235	2,400	N567	N382	sloup (100)
B315	CS34 - HEA180	S 235	7,200	N374	N371	nosník (80)
B316	CS21 - HEA240	S 235	7,200	N373	N381	nosník (80)
B317	CS21 - HEA240	S 235	7,900	N567	N178	nosník (80)
B318	CS25 - RO70X3.6	S 235	2,081	N383	N384	nosník (80)
B319	CS22 - RO159X14.2	S 355	1,000	N372	N373	sloup (100)
B320	CS21 - HEA240	S 235	7,900	N550	N370	nosník (80)
B321	CS34 - HEA180	S 235	7,200	N385	N408	nosník (80)
B322	CS23 - IPE160	S 235	2,400	N550	N380	sloup (100)
B323	CS23 - IPE160	S 235	2,400	N568	N386	sloup (100)
B325	CS25 - RO70X3.6	S 235	2,081	N582	N387	nosník (80)
B326	CS25 - RO70X3.6	S 235	2,081	N378	N379	nosník (80)
B327	CS26 - VHP160/80x4.0	S 235	7,200	N380	N382	nosník (80)
B328	CS22 - RO159X14.2	S 355	1,000	N388	N381	sloup (100)
B329	CS27 - HEA160	S 235	6,000	N392	N186	nosník (80)
B330	CS27 - HEA160	S 235	7,900	N563	N176	nosník (80)
B336	CS23 - IPE160	S 235	2,400	N563	N590	sloup (100)
B337	CS22 - RO159X14.2	S 355	1,000	N391	N393	sloup (100)
B338	CS26 - VHP160/80x4.0	S 235	7,900	N575	N573	nosník (80)
B339	CS26 - VHP160/80x4.0	S 235	7,900	N382	N575	nosník (80)
B340	CS29 - IPE140	S 235	1,200	N411	N460	nosník (80)
B341	CS21 - HEA240	S 235	7,900	N381	N565	nosník (80)
B342	CS25 - RO70X3.6	S 235	2,081	N583	N589	nosník (80)
B343	CS23 - IPE160	S 235	2,400	N566	N404	sloup (100)
B344	CS25 - RO70X3.6	S 235	2,081	N584	N405	nosník (80)
B347	CS25 - RO70X3.6	S 235	4,327	N550	N386	nosník (80)
B348	CS25 - RO70X3.6	S 235	4,327	N568	N380	nosník (80)
B349	CS25 - RO70X3.6	S 235	4,327	N568	N382	nosník (80)
B350	CS25 - RO70X3.6	S 235	4,327	N567	N386	nosník (80)
B352	CS27 - HEA160	S 235	7,900	N547	N361	nosník (80)
B358	CS23 - IPE160	S 235	2,400	N547	N597	sloup (100)
B359	CS22 - RO159X14.2	S 355	1,000	N414	N416	sloup (100)
B360	CS26 - VHP160/80x4.0	S 235	7,900	N504	N363	nosník (80)
B361	CS26 - VHP160/80x4.0	S 235	7,900	N380	N504	nosník (80)
B362	CS29 - IPE140	S 235	1,200	N430	N455	nosník (80)
B363	CS21 - HEA240	S 235	7,900	N373	N546	nosník (80)
B364	CS25 - RO70X3.6	S 235	2,081	N585	N598	nosník (80)
B365	CS23 - IPE160	S 235	2,400	N549	N431	sloup (100)
B366	CS25 - RO70X3.6	S 235	2,081	N586	N427	nosník (80)
B374	CS28 - IPE180	S 235	2,400	N452	N928	nosník (80)
B375	CS28 - IPE180	S 235	2,400	N430	N748	nosník (80)
B381	CS28 - IPE180	S 235	1,900	N857	N750	nosník (80)
B382	CS28 - IPE180	S 235	1,900	N371	N869	nosník (80)
B390	CS29 - IPE140	S 235	1,200	N469	N923	nosník (80)
B391	CS29 - IPE140	S 235	1,200	N747	N469	nosník (80)
B393	CS28 - IPE180	S 235	2,300	N712	N713	nosník (80)
B394	CS29 - IPE140	S 235	1,200	N211	N712	nosník (80)
B395	CS29 - IPE140	S 235	1,500	N376	N858	nosník (80)
B397	CS29 - IPE140	S 235	1,200	N476	N922	nosník (80)
B398	CS29 - IPE140	S 235	1,200	N746	N476	nosník (80)
B399	CS28 - IPE180	S 235	1,200	N714	N914	nosník (80)
B400	CS29 - IPE140	S 235	1,200	N215	N714	nosník (80)
B401	CS29 - IPE140	S 235	1,200	N480	N921	nosník (80)
B402	CS29 - IPE140	S 235	1,200	N745	N480	nosník (80)
B403	CS28 - IPE180	S 235	1,200	N716	N915	nosník (80)
B404	CS29 - IPE140	S 235	1,200	N218	N716	nosník (80)
B405	CS29 - IPE140	S 235	1,200	N484	N901	nosník (80)
B406	CS29 - IPE140	S 235	1,200	N744	N484	nosník (80)
B407	CS28 - IPE180	S 235	2,300	N718	N719	nosník (80)

Jméno	Průřez	Materiál	Délka [m]	Poč. uzel	Konc. uzel	Typ
B408	CS29 - IPE140	S 235	1,200	N221	N718	nosník (80)
B445	CS25 - RO70X3.6	S 235	3,499	N177	N211	nosník (80)
B446	CS25 - RO70X3.6	S 235	3,499	N211	N180	nosník (80)
B447	CS25 - RO70X3.6	S 235	3,499	N180	N215	nosník (80)
B448	CS25 - RO70X3.6	S 235	3,499	N215	N181	nosník (80)
B449	CS25 - RO70X3.6	S 235	3,499	N181	N218	nosník (80)
B450	CS25 - RO70X3.6	S 235	3,499	N218	N182	nosník (80)
B451	CS25 - RO70X3.6	S 235	3,499	N182	N221	nosník (80)
B452	CS25 - RO70X3.6	S 235	3,499	N221	N176	nosník (80)
B453	CS25 - RO70X3.6	S 235	3,499	N747	N319	nosník (80)
B454	CS25 - RO70X3.6	S 235	3,499	N311	N747	nosník (80)
B455	CS25 - RO70X3.6	S 235	3,499	N319	N746	nosník (80)
B456	CS25 - RO70X3.6	S 235	3,499	N746	N333	nosník (80)
B457	CS25 - RO70X3.6	S 235	3,499	N333	N745	nosník (80)
B458	CS25 - RO70X3.6	S 235	3,499	N745	N347	nosník (80)
B459	CS25 - RO70X3.6	S 235	3,499	N347	N744	nosník (80)
B460	CS25 - RO70X3.6	S 235	3,499	N744	N361	nosník (80)
B462	CS25 - RO70X3.6	S 235	3,499	N260	N177	nosník (80)
B464	CS25 - RO70X3.6	S 235	3,499	N292	N311	nosník (80)
B465	CS25 - RO70X3.6	S 235	3,499	N176	N395	nosník (80)
B466	CS25 - RO70X3.6	S 235	2,343	N460	N393	nosník (80)
B467	CS25 - RO70X3.6	S 235	3,499	N361	N418	nosník (80)
B468	CS25 - RO70X3.6	S 235	2,343	N455	N416	nosník (80)
B484	CS25 - RO70X3.6	S 235	2,081	N591	N592	nosník (80)
B485	CS23 - IPE160	S 235	2,400	N565	N593	sloup (100)
B486	CS23 - IPE160	S 235	2,400	N616	N575	sloup (100)
B488	CS23 - IPE160	S 235	2,400	N617	N504	sloup (100)
B490	CS23 - IPE160	S 235	2,400	N546	N602	sloup (100)
B491	CS25 - RO70X3.6	S 235	2,081	N603	N604	nosník (80)
B492	CS23 - IPE160	S 235	2,400	N537	N607	sloup (100)
B493	CS25 - RO70X3.6	S 235	2,081	N608	N609	nosník (80)
B494	CS23 - IPE160	S 235	2,400	N615	N574	sloup (100)
B496	CS26 - VHP160/80x4.0	S 235	7,900	N615	N531	nosník (80)
B497	CS26 - VHP160/80x4.0	S 235	6,000	N531	N530	nosník (80)
B498	CS26 - VHP160/80x4.0	S 235	6,000	N530	N529	nosník (80)
B499	CS26 - VHP160/80x4.0	S 235	6,000	N529	N527	nosník (80)
B500	CS26 - VHP160/80x4.0	S 235	6,000	N527	N528	nosník (80)
B501	CS26 - VHP160/80x4.0	S 235	7,900	N616	N528	nosník (80)
B502	CS26 - VHP160/80x4.0	S 235	7,900	N567	N616	nosník (80)
B503	CS26 - VHP160/80x4.0	S 235	7,200	N550	N567	nosník (80)
B504	CS26 - VHP160/80x4.0	S 235	7,900	N550	N617	nosník (80)
B505	CS26 - VHP160/80x4.0	S 235	7,900	N617	N544	nosník (80)
B506	CS26 - VHP160/80x4.0	S 235	6,000	N542	N544	nosník (80)
B507	CS26 - VHP160/80x4.0	S 235	6,000	N540	N542	nosník (80)
B508	CS26 - VHP160/80x4.0	S 235	6,000	N533	N540	nosník (80)
B509	CS26 - VHP160/80x4.0	S 235	6,000	N532	N533	nosník (80)
B510	CS26 - VHP160/80x4.0	S 235	7,900	N618	N532	nosník (80)
B511	CS26 - VHP160/80x4.0	S 235	7,900	N561	N618	nosník (80)
B512	CS26 - VHP160/80x4.0	S 235	7,200	N561	N559	nosník (80)
B513	CS26 - VHP160/80x4.0	S 235	7,900	N559	N615	nosník (80)
B514	CS23 - IPE160	S 235	2,400	N536	N620	sloup (100)
B515	CS25 - RO70X3.6	S 235	2,081	N621	N619	nosník (80)
B516	CS23 - IPE160	S 235	2,400	N622	N624	sloup (100)
B517	CS25 - RO70X3.6	S 235	2,081	N625	N623	nosník (80)
B518	CS29 - IPE140	S 235	1,800	N626	N260	nosník (80)
B519	CS29 - IPE140	S 235	1,800	N627	N211	nosník (80)
B520	CS29 - IPE140	S 235	0,700	N569	N627	nosník (80)
B521	CS29 - IPE140	S 235	1,800	N628	N215	nosník (80)
B522	CS29 - IPE140	S 235	0,700	N554	N628	nosník (80)
B523	CS29 - IPE140	S 235	1,800	N629	N218	nosník (80)
B524	CS29 - IPE140	S 235	0,700	N553	N629	nosník (80)
B525	CS29 - IPE140	S 235	1,800	N630	N221	nosník (80)
B526	CS29 - IPE140	S 235	0,700	N552	N630	nosník (80)
B527	CS28 - IPE180	S 235	1,800	N631	N395	nosník (80)
B528	CS29 - IPE140	S 235	0,700	N551	N631	nosník (80)
B529	CS29 - IPE140	S 235	1,800	N632	N292	nosník (80)
B530	CS29 - IPE140	S 235	0,700	N534	N633	nosník (80)
B531	CS29 - IPE140	S 235	1,800	N633	N747	nosník (80)
B532	CS29 - IPE140	S 235	0,700	N539	N634	nosník (80)
B533	CS29 - IPE140	S 235	1,800	N634	N746	nosník (80)
B534	CS29 - IPE140	S 235	0,700	N541	N635	nosník (80)
B535	CS29 - IPE140	S 235	1,800	N635	N745	nosník (80)



Jméno	Průřez	Materiál	Délka [m]	Poč. uzel	Konc. uzel	Typ
B536	CS29 - IPE140	S 235	0,700	N543	N636	nosník (80)
B537	CS29 - IPE140	S 235	1,800	N636	N744	nosník (80)
B538	CS29 - IPE140	S 235	0,700	N545	N637	nosník (80)
B539	CS28 - IPE180	S 235	1,800	N637	N418	nosník (80)
B540	CS27 - HEA160	S 235	1,900	N772	N770	nosník (80)
B544	CS27 - HEA160	S 235	1,900	N566	N401	nosník (80)
B545	CS27 - HEA160	S 235	1,900	N568	N377	nosník (80)
B546	CS27 - HEA160	S 235	1,900	N549	N424	nosník (80)
B598	CS34 - HEA180	S 235	6,000	N424	N743	nosník (80)
B599	CS27 - HEA160	S 235	1,500	N377	N376	nosník (80)
B600	CS34 - HEA180	S 235	6,000	N401	N711	nosník (80)
B601	CS25 - RO70X3.6	S 235	6,462	N529	N572	nosník (80)
B602	CS25 - RO70X3.6	S 235	6,462	N571	N527	nosník (80)
B603	CS25 - RO70X3.6	S 235	6,462	N540	N349	nosník (80)
B604	CS25 - RO70X3.6	S 235	6,462	N335	N542	nosník (80)
B605	CS25 - RO70X3.6	S 235	6,462	N533	N335	nosník (80)
B606	CS25 - RO70X3.6	S 235	6,462	N540	N321	nosník (80)
B607	CS26 - VHP160/80x4.0	S 235	2,400	N534	N325	sloup (100)
B608	CS26 - VHP160/80x4.0	S 235	2,400	N535	N291	sloup (100)
B609	CS26 - VHP160/80x4.0	S 235	2,400	N539	N706	sloup (100)
B610	CS26 - VHP160/80x4.0	S 235	2,400	N541	N707	sloup (100)
B611	CS26 - VHP160/80x4.0	S 235	2,400	N543	N367	sloup (100)
B612	CS26 - VHP160/80x4.0	S 235	2,400	N545	N417	sloup (100)
B613	CS26 - VHP160/80x4.0	S 235	2,400	N551	N394	sloup (100)
B614	CS26 - VHP160/80x4.0	S 235	2,400	N552	N208	sloup (100)
B615	CS26 - VHP160/80x4.0	S 235	2,400	N553	N708	sloup (100)
B616	CS26 - VHP160/80x4.0	S 235	2,400	N554	N709	sloup (100)
B617	CS26 - VHP160/80x4.0	S 235	2,400	N569	N202	sloup (100)
B618	CS26 - VHP160/80x4.0	S 235	2,400	N555	N259	sloup (100)
B619	CS27 - HEA160	S 235	6,000	N736	N415	nosník (80)
B620	CS34 - HEA180	S 235	6,000	N749	N724	nosník (80)
B621	CS34 - HEA180	S 235	7,200	N752	N751	nosník (80)
B622	CS29 - IPE140	S 235	1,200	N754	N764	nosník (80)
B624	CS29 - IPE140	S 235	1,200	N755	N763	nosník (80)
B625	CS28 - IPE180	S 235	2,400	N755	N756	nosník (80)
B626	CS28 - IPE180	S 235	1,900	N751	N868	nosník (80)
B627	CS29 - IPE140	S 235	1,500	N753	N758	nosník (80)
B628	CS25 - RO70X3.6	S 235	1,921	N424	N455	nosník (80)
B629	CS25 - RO70X3.6	S 235	2,343	N373	N748	nosník (80)
B630	CS25 - RO70X3.6	S 235	2,830	N748	N424	nosník (80)
B631	CS25 - RO70X3.6	S 235	2,343	N874	N235	nosník (80)
B634	CS25 - RO70X3.6	S 235	2,343	N243	N873	nosník (80)
B635	CS25 - RO70X3.6	S 235	2,421	N869	N381	nosník (80)
B636	CS25 - RO70X3.6	S 235	2,746	N401	N869	nosník (80)
B637	CS25 - RO70X3.6	S 235	1,921	N460	N401	nosník (80)
B638	CS34 - HEA180	S 235	6,000	N770	N742	nosník (80)
B639	CS27 - HEA160	S 235	1,500	N239	N753	nosník (80)
B640	CS34 - HEA180	S 235	6,000	N771	N710	nosník (80)
B641	CS34 - HEA180	S 235	6,000	N757	N720	nosník (80)
B642	CS34 - HEA180	S 235	7,200	N759	N760	nosník (80)
B643	CS28 - IPE180	S 235	2,400	N761	N925	nosník (80)
B644	CS28 - IPE180	S 235	1,900	N760	N762	nosník (80)
B645	CS2 - IPE240	S 235	3,600	N805	N806	nosník (80)
B650	CS5 - IPE160	S 235	3,000	N778	N97	nosník (80)
B651	CS5 - IPE160	S 235	3,000	N779	N98	nosník (80)
B652	CS5 - IPE160	S 235	3,000	N780	N102	nosník (80)
B653	CS2 - IPE240	S 235	3,600	N781	N656	nosník (80)
B654	CS9 - IPE360	S 235	7,200	N782	N783	nosník (80)
B655	CS1 - HEA400	S 235	7,200	N788	N789	nosník (80)
B656	CS2 - IPE240	S 235	5,300	N790	N80	nosník (80)
B657	CS2 - IPE240	S 235	5,300	N791	N76	nosník (80)
B658	CS2 - IPE240	S 235	5,300	N792	N75	nosník (80)
B659	CS2 - IPE240	S 235	5,300	N793	N74	nosník (80)
B660	CS2 - IPE240	S 235	5,300	N794	N73	nosník (80)
B661	CS2 - IPE240	S 235	5,300	N795	N72	nosník (80)
B662	CS2 - IPE240	S 235	5,300	N796	N71	nosník (80)
B663	CS2 - IPE240	S 235	2,700	N797	N798	nosník (80)
B667	CS1 - HEA400	S 235	7,200	N652	N658	nosník (80)
B668	CS5 - IPE160	S 235	3,000	N835	N808	nosník (80)
B669	CS2 - IPE240	S 235	3,000	N809	N810	nosník (80)
B670	CS5 - IPE160	S 235	3,000	N811	N812	nosník (80)
B671	CS2 - IPE240	S 235	3,000	N813	N814	nosník (80)

Jméno	Průřez	Materiál	Délka [m]	Poč. uzel	Konc. uzel	Typ
B672	CS2 - IPE240	S 235	3,000	N815	N816	nosník (80)
B673	CS5 - IPE160	S 235	3,000	N817	N818	nosník (80)
B674	CS5 - IPE160	S 235	3,000	N819	N820	nosník (80)
B675	CS5 - IPE160	S 235	3,000	N821	N822	nosník (80)
B676	CS5 - IPE160	S 235	3,000	N834	N824	nosník (80)
B686	CS5 - IPE160	S 235	7,200	N834	N835	nosník (80)
B687	CS1 - HEA400	S 235	7,200	N841	N842	nosník (80)
B689	CS32 - HEA360	S 235	7,200	N824	N808	nosník (80)
B693	CS10 - IPE140	S 235	0,200	N834	N651	nosník (80)
B694	CS10 - IPE140	S 235	0,200	N835	N657	nosník (80)
B695	CS10 - IPE140	S 235	0,500	N854	N855	nosník (80)
B696	CS10 - IPE140	S 235	0,500	N811	N840	nosník (80)
B697	CS34 - HEA180	S 235	7,200	N856	N857	nosník (80)
B698	CS29 - IPE140	S 235	1,000	N858	N473	nosník (80)
B700	CS28 - IPE180	S 235	2,300	N750	N861	nosník (80)
B701	CS29 - IPE140	S 235	1,200	N861	N395	nosník (80)
B702	CS28 - IPE180	S 235	2,300	N762	N862	nosník (80)
B703	CS29 - IPE140	S 235	1,200	N862	N260	nosník (80)
B705	CS25 - RO70X3.6	S 235	1,921	N764	N771	nosník (80)
B706	CS25 - RO70X3.6	S 235	2,746	N771	N868	nosník (80)
B707	CS25 - RO70X3.6	S 235	2,421	N868	N243	nosník (80)
B708	CS25 - RO70X3.6	S 235	2,343	N235	N756	nosník (80)
B709	CS25 - RO70X3.6	S 235	2,830	N756	N770	nosník (80)
B710	CS25 - RO70X3.6	S 235	1,921	N770	N763	nosník (80)
B711	CS29 - IPE140	S 235	1,200	N418	N452	nosník (80)
B712	CS29 - IPE140	S 235	1,200	N292	N761	nosník (80)
B713	CS28 - IPE180	S 235	2,300	N868	N754	nosník (80)
B714	CS28 - IPE180	S 235	2,300	N869	N411	nosník (80)
B715	CS34 - HEA180	S 235	7,200	N871	N872	nosník (80)
B716	CS29 - IPE140	S 235	1,500	N758	N870	nosník (80)
B717	CS25 - RO70X3.6	S 235	2,343	N239	N873	nosník (80)
B718	CS25 - RO70X3.6	S 235	2,343	N239	N874	nosník (80)
B719	CS34 - HEA180	S 235	6,000	N875	N876	nosník (80)
B720	CS34 - HEA180	S 235	6,000	N876	N877	nosník (80)
B721	CS25 - RO70X3.6	S 235	2,343	N879	N373	nosník (80)
B722	CS25 - RO70X3.6	S 235	2,343	N377	N879	nosník (80)
B723	CS25 - RO70X3.6	S 235	2,343	N381	N878	nosník (80)
B724	CS25 - RO70X3.6	S 235	2,343	N377	N878	nosník (80)
B725	CS30 - UPE180	S 235	6,000	N880	N881	nosník (80)
B726	CS30 - UPE180	S 235	6,000	N881	N882	nosník (80)
B727	CS30 - UPE180	S 235	6,000	N882	N883	nosník (80)
B728	CS30 - UPE180	S 235	6,000	N883	N884	nosník (80)
B729	CS30 - UPE180	S 235	6,000	N884	N885	nosník (80)
B730	CS30 - UPE180	S 235	3,000	N886	N885	nosník (80)
B731	CS30 - UPE180	S 235	6,000	N887	N888	nosník (80)
B732	CS30 - UPE180	S 235	6,000	N889	N887	nosník (80)
B733	CS30 - UPE180	S 235	6,000	N888	N890	nosník (80)
B734	CS30 - UPE180	S 235	6,000	N890	N891	nosník (80)
B735	CS30 - UPE180	S 235	6,000	N891	N892	nosník (80)
B736	CS30 - UPE180	S 235	3,000	N892	N893	nosník (80)
B737	CS27 - HEA160	S 235	6,000	N894	N895	nosník (80)
B738	CS27 - HEA160	S 235	6,000	N895	N896	nosník (80)
B739	CS27 - HEA160	S 235	6,000	N896	N897	nosník (80)
B740	CS27 - HEA160	S 235	6,000	N898	N894	nosník (80)
B741	CS27 - HEA160	S 235	6,000	N899	N900	nosník (80)
B742	CS29 - IPE140	S 235	1,200	N901	N728	nosník (80)
B743	CS29 - IPE140	S 235	1,200	N728	N902	nosník (80)
B744	CS28 - IPE180	S 235	2,400	N903	N926	nosník (80)
B745	CS28 - IPE180	S 235	1,900	N872	N904	nosník (80)
B746	CS28 - IPE180	S 235	2,300	N904	N905	nosník (80)
B748	CS28 - IPE180	S 235	2,000	N897	N907	nosník (80)
B749	CS28 - IPE180	S 235	2,000	N900	N908	nosník (80)
B750	CS28 - IPE180	S 235	2,300	N911	N910	nosník (80)
B751	CS28 - IPE180	S 235	1,900	N408	N911	nosník (80)
B752	CS28 - IPE180	S 235	2,300	N912	N913	nosník (80)
B753	CS28 - IPE180	S 235	1,100	N916	N715	nosník (80)
B754	CS28 - IPE180	S 235	1,100	N917	N717	nosník (80)
B755	CS25 - RO70X3.6	S 235	2,343	N460	N631	nosník (80)
B756	CS25 - RO70X3.6	S 235	2,343	N455	N637	nosník (80)
B757	CS27 - HEA160	S 235	2,400	N918	N906	nosník (80)
B758	CS25 - RO70X3.6	S 235	2,343	N763	N290	nosník (80)
B759	CS25 - RO70X3.6	S 235	2,343	N763	N632	nosník (80)

Jméno	Průřez	Materiál	Délka [m]	Poč. uzel	Konc. uzel	Typ
B760	CS25 - RO70X3.6	S 235	2,343	N764	N258	nosník (80)
B761	CS25 - RO70X3.6	S 235	2,343	N764	N626	nosník (80)
B762	CS29 - IPE140	S 235	1,800	N455	N919	nosník (80)
B763	CS29 - IPE140	S 235	1,800	N920	N460	nosník (80)
B764	CS29 - IPE140	S 235	1,200	N921	N730	nosník (80)
B765	CS29 - IPE140	S 235	1,200	N922	N732	nosník (80)
B766	CS29 - IPE140	S 235	1,200	N923	N734	nosník (80)
B767	CS34 - HEA180	S 235	6,000	N924	N739	nosník (80)
B768	CS28 - IPE180	S 235	1,800	N925	N759	nosník (80)
B769	CS28 - IPE180	S 235	1,800	N926	N871	nosník (80)
B770	CS34 - HEA180	S 235	6,000	N927	N741	nosník (80)
B771	CS28 - IPE180	S 235	1,800	N928	N856	nosník (80)
B772	CS28 - IPE180	S 235	1,800	N748	N374	nosník (80)
B773	CS27 - HEA160	S 235	1,800	N906	N385	nosník (80)
B774	CS28 - IPE180	S 235	1,800	N756	N752	nosník (80)
B775	CS15 - U120	S 235	7,200	N434	N442	nosník (80)

## 10. Průřezy

Jméno	Typ	Materiál	Výroba	A [m <sup>2</sup> ]	A <sub>y</sub> [m <sup>2</sup> ]	I <sub>y</sub> [m <sup>4</sup> ]	W <sub>el,y</sub> [m <sup>3</sup> ]	W <sub>pl,y</sub> [m <sup>3</sup> ]
	Detailní				A <sub>z</sub> [m <sup>2</sup> ]	I <sub>z</sub> [m <sup>4</sup> ]	W <sub>el,z</sub> [m <sup>3</sup> ]	W <sub>pl,z</sub> [m <sup>3</sup> ]
CS1	HEA400	S 235	válcovaný	1,5900e-02	1,1006e-02	4,5100e-04	2,3100e-03	2,5625e-03
					4,4726e-03	8,5600e-05	5,7100e-04	8,7083e-04
CS2	IPE240	S 235	válcovaný	3,9100e-03	2,4315e-03	3,8920e-05	3,2400e-04	3,6700e-04
					1,5295e-03	2,8400e-06	4,7300e-05	7,3900e-05
CS3	IPE140	S 235	válcovaný	1,6400e-03	1,0343e-03	5,4100e-06	7,7300e-05	8,8300e-05
					6,6249e-04	4,4900e-07	1,2300e-05	1,9300e-05
CS4	HEA240	S 235	válcovaný	7,6800e-03	5,5540e-03	7,7600e-05	6,7500e-04	7,4583e-04
					1,8522e-03	2,7700e-05	2,3100e-04	3,5167e-04
CS5	IPE160	S 235	válcovaný	2,0100e-03	1,2605e-03	8,6900e-06	1,0900e-04	1,2400e-04
					8,1173e-04	6,8300e-07	1,6700e-05	2,6100e-05
CS6	RO88.9X5	S 235	válcovaný	1,3200e-03	8,3900e-04	1,1600e-06	2,6200e-05	3,5196e-05
					8,3900e-04	1,1600e-06	2,6200e-05	3,5196e-05
CS7	RO60.3X3.6	S 235	válcovaný	6,4100e-04	4,0824e-04	2,5900e-07	8,5800e-06	1,1574e-05
					4,0824e-04	2,5900e-07	8,5800e-06	1,1574e-05
CS8	VHP160/80x4.0	S 235	tvářený za studena	1,8200e-03	6,0468e-04	5,9800e-06	7,4700e-05	9,2500e-05
					1,2094e-03	2,0400e-06	5,0900e-05	5,7500e-05
CS9	IPE360	S 235	válcovaný	7,2700e-03	4,3051e-03	1,6270e-04	9,0400e-04	1,0190e-03
					2,9457e-03	1,0430e-05	1,2300e-04	1,9100e-04
CS10	IPE140	S 235	válcovaný	1,6400e-03	1,0343e-03	5,4100e-06	7,7300e-05	8,8300e-05
					6,6249e-04	4,4900e-07	1,2300e-05	1,9300e-05
CS15	U120	S 235	válcovaný	1,7000e-03	9,5346e-04	3,6400e-06	6,0700e-05	7,4070e-05
					8,4219e-04	4,3200e-07	1,1100e-05	2,1261e-05
CS20	IPE180	S 235	válcovaný	2,3900e-03	1,4865e-03	1,3170e-05	1,4600e-04	1,6600e-04
					9,6640e-04	1,0100e-06	2,2200e-05	3,4600e-05
CS21	HEA240	S 235	válcovaný	7,6800e-03	5,5540e-03	7,7600e-05	6,7500e-04	7,4583e-04
					1,8522e-03	2,7700e-05	2,3100e-04	3,5167e-04
CS22	RO159X14.2	S 355	válcovaný	6,4600e-03	4,1123e-03	1,7090e-05	2,1500e-04	2,9773e-04
					4,1123e-03	1,7090e-05	2,1500e-04	2,9773e-04
CS23	IPE160	S 235	válcovaný	2,0100e-03	1,2605e-03	8,6900e-06	1,0900e-04	1,2400e-04
					8,1173e-04	6,8300e-07	1,6700e-05	2,6100e-05
CS25	RO70X3.6	S 235	válcovaný	7,5100e-04	4,7808e-04	4,1500e-07	1,1900e-05	1,5872e-05
					4,7808e-04	4,1500e-07	1,1900e-05	1,5872e-05
CS26	VHP160/80x4.0	S 235	tvářený za studena	1,8200e-03	6,0468e-04	5,9800e-06	7,4700e-05	9,2500e-05
					1,2094e-03	2,0400e-06	5,0900e-05	5,7500e-05
CS27	HEA160	S 235	válcovaný	3,8800e-03	2,8071e-03	1,6700e-05	2,2000e-04	2,4500e-04
					9,8390e-04	6,1600e-06	7,7000e-05	1,1750e-04
CS28	IPE180	S 235	válcovaný	2,3900e-03	1,4865e-03	1,3170e-05	1,4600e-04	1,6600e-04
					9,6640e-04	1,0100e-06	2,2200e-05	3,4600e-05
CS29	IPE140	S 235	válcovaný	1,6400e-03	1,0343e-03	5,4100e-06	7,7300e-05	8,8300e-05
					6,6249e-04	4,4900e-07	1,2300e-05	1,9300e-05
CS30	UPE180	S 235	válcovaný	2,5100e-03	1,4635e-03	1,3530e-05	1,5000e-04	1,7300e-04
					1,0094e-03	1,4400e-06	2,8600e-05	5,1300e-05
CS31	IPE180	S 235	válcovaný	2,3900e-03	1,4865e-03	1,3170e-05	1,4600e-04	1,6600e-04
					9,6640e-04	1,0100e-06	2,2200e-05	3,4600e-05
CS32	HEA360	S 235	válcovaný	1,4300e-02	1,0125e-02	3,3100e-04	1,8900e-03	2,0875e-03
					3,6844e-03	7,8900e-05	5,2600e-04	8,0417e-04
CS33	IPE450	S 235	válcovaný	9,8800e-03	5,5856e-03	3,3740e-04	1,5000e-03	1,7020e-03
					4,3051e-03	1,6760e-05	1,7600e-04	2,7600e-04
CS34	HEA180	S 235	válcovaný	4,5300e-03	3,2772e-03	2,5100e-05	2,9400e-04	3,2500e-04

Jméno	Typ	Materiál	Výroba	A [m <sup>2</sup> ]	A <sub>y</sub> [m <sup>2</sup> ] A <sub>z</sub> [m <sup>2</sup> ]	I <sub>y</sub> [m <sup>4</sup> ] I <sub>z</sub> [m <sup>4</sup> ]	W <sub>el.y</sub> [m <sup>3</sup> ] W <sub>el.z</sub> [m <sup>3</sup> ]	W <sub>pl.y</sub> [m <sup>3</sup> ] W <sub>pl.z</sub> [m <sup>3</sup> ]
	Detailní							
CS35	HEA260	S 235	válcovaný	8,6800e-03	1,0992e-03 6,3059e-03 2,0196e-03	9,2500e-06 1,0500e-04 3,6700e-05	1,0300e-04 8,3600e-04 2,8200e-04	1,5667e-04 9,2083e-04 4,2917e-04

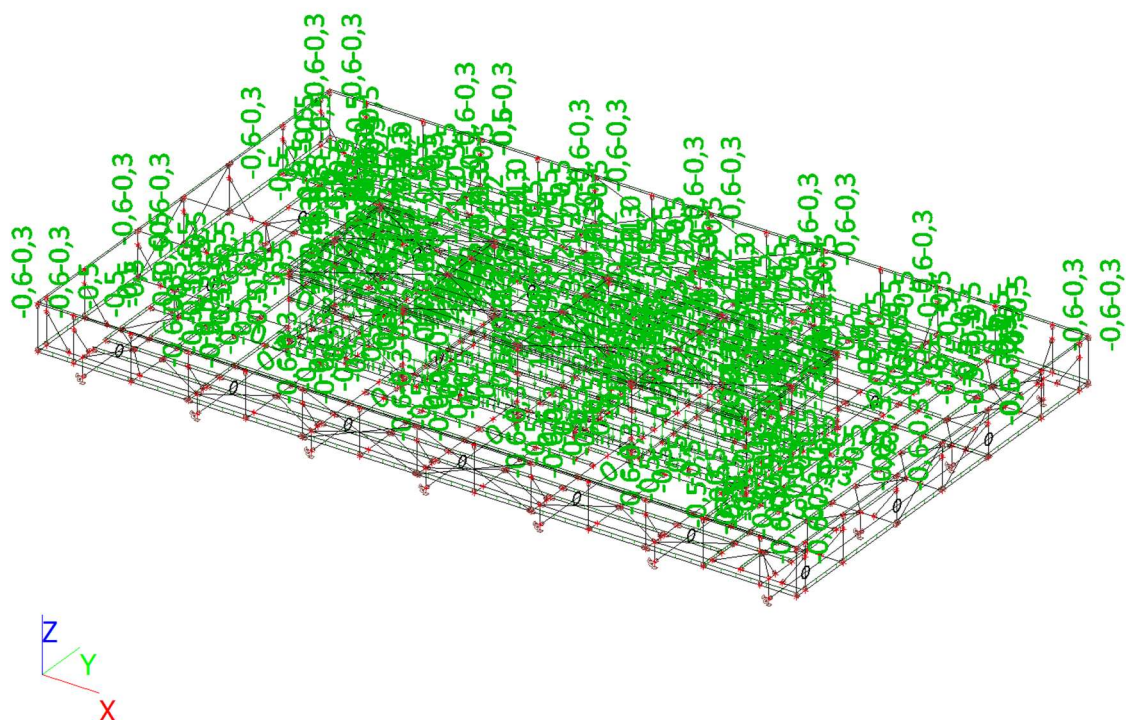
## 11. Podpory v uzlech

Jméno	Uzel	Systém	Typ	X	Y	Z	Rx	Ry	Rz
Sn29	N434	GSS	Standard	Pružný	Pružný	Tuhý	Volný	Volný	Tuhý
Sn30	N435	GSS	Standard	Pružný	Pružný	Tuhý	Volný	Volný	Tuhý
Sn31	N436	GSS	Standard	Pružný	Pružný	Tuhý	Volný	Volný	Tuhý
Sn32	N437	GSS	Standard	Pružný	Pružný	Tuhý	Volný	Volný	Tuhý
Sn33	N438	GSS	Standard	Pružný	Pružný	Tuhý	Volný	Volný	Tuhý
Sn34	N439	GSS	Standard	Pružný	Pružný	Tuhý	Volný	Volný	Tuhý
Sn35	N440	GSS	Standard	Pružný	Pružný	Tuhý	Volný	Volný	Tuhý
Sn36	N441	GSS	Standard	Pružný	Pružný	Tuhý	Volný	Volný	Tuhý
Sn37	N442	GSS	Standard	Pružný	Pružný	Tuhý	Volný	Volný	Tuhý
Sn38	N443	GSS	Standard	Pružný	Pružný	Tuhý	Volný	Volný	Tuhý
Sn11	N166	GSS	Standard	Pružný	Pružný	Tuhý	Volný	Volný	Tuhý
Sn12	N168	GSS	Standard	Pružný	Pružný	Tuhý	Volný	Volný	Tuhý
Sn13	N170	GSS	Standard	Pružný	Pružný	Tuhý	Volný	Volný	Tuhý
Sn14	N172	GSS	Standard	Pružný	Pružný	Tuhý	Volný	Volný	Tuhý
Sn15	N174	GSS	Standard	Pružný	Pružný	Tuhý	Volný	Volný	Tuhý
Sn18	N256	GSS	Standard	Pružný	Pružný	Tuhý	Volný	Volný	Tuhý
Sn19	N288	GSS	Standard	Pružný	Pružný	Tuhý	Volný	Volný	Tuhý
Sn20	N305	GSS	Standard	Pružný	Pružný	Tuhý	Volný	Volný	Tuhý
Sn21	N315	GSS	Standard	Pružný	Pružný	Tuhý	Volný	Volný	Tuhý
Sn22	N329	GSS	Standard	Pružný	Pružný	Tuhý	Volný	Volný	Tuhý
Sn23	N343	GSS	Standard	Pružný	Pružný	Tuhý	Volný	Volný	Tuhý
Sn24	N357	GSS	Standard	Pružný	Pružný	Tuhý	Volný	Volný	Tuhý
Sn27	N391	GSS	Standard	Pružný	Pružný	Tuhý	Volný	Volný	Tuhý
Sn28	N414	GSS	Standard	Pružný	Pružný	Tuhý	Volný	Volný	Tuhý
Sn49	N388	GSS	Standard	Pružný	Pružný	Tuhý	Volný	Volný	Tuhý
Sn50	N234	GSS	Standard	Pružný	Pružný	Tuhý	Volný	Volný	Tuhý
Sn51	N253	GSS	Standard	Pružný	Pružný	Tuhý	Volný	Volný	Tuhý
Sn52	N372	GSS	Standard	Pružný	Pružný	Tuhý	Volný	Volný	Tuhý

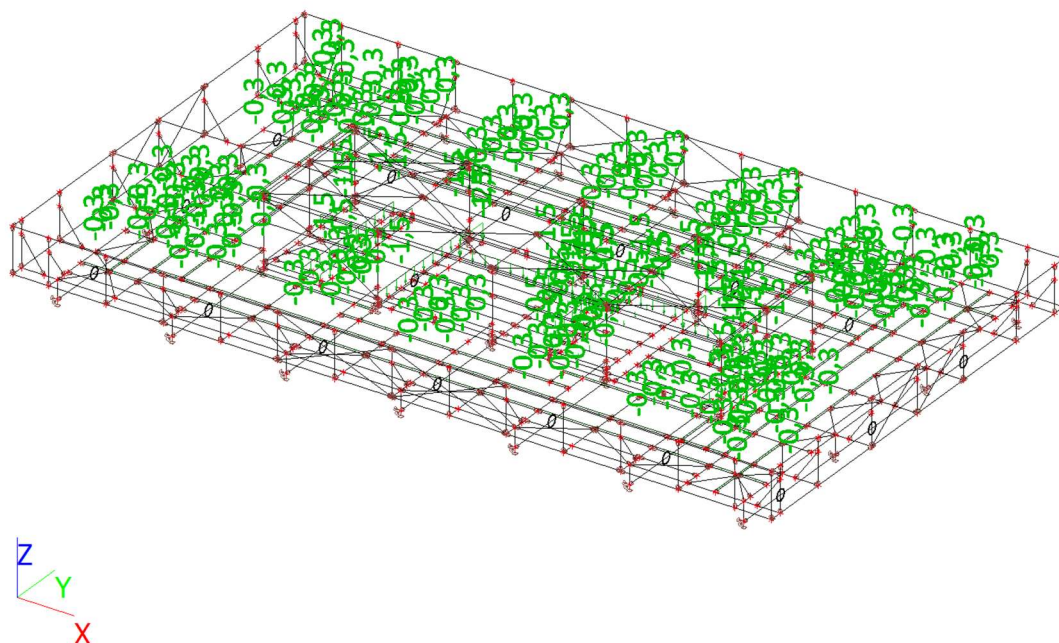
## 12. Zatěžovací stavy

Jméno	Popis	Typ působení	Skupina zatížení	Směr	Působení	Řídící zat. stav
	Spec	Typ zatížení				
vlastní váha		Stálé Vlastní tíha	stale	-Z		
stale		Stálé Standard	stale			
prcky		Stálé Standard	stale			
uzitne	Standard	Proměnné Statické	uzitne		Krátkodobé	Žádný
snih	Standard	Proměnné Statické	snih		Krátkodobé	Žádný
vitř+x	Standard	Proměnné Statické	vitř		Krátkodobé	Žádný
vitř-x	Standard	Proměnné Statické	vitř		Krátkodobé	Žádný
vitř+y	Standard	Proměnné Statické	vitř		Krátkodobé	Žádný

## 13. stale / Hodnota pro výpočet

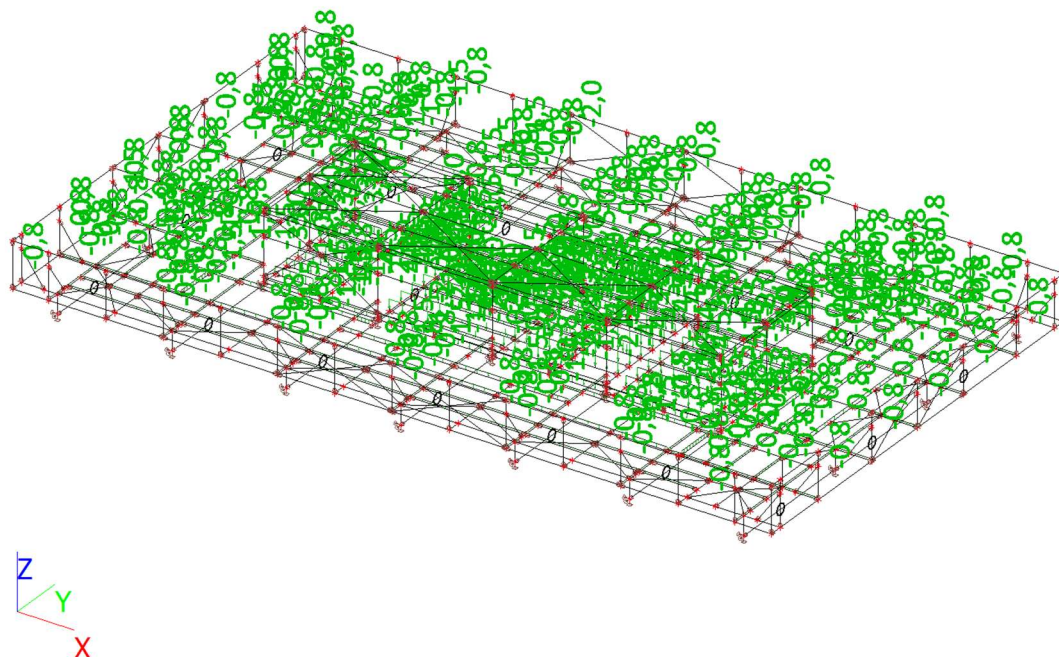


#### 14. prcky / Hodnota pro výpočet

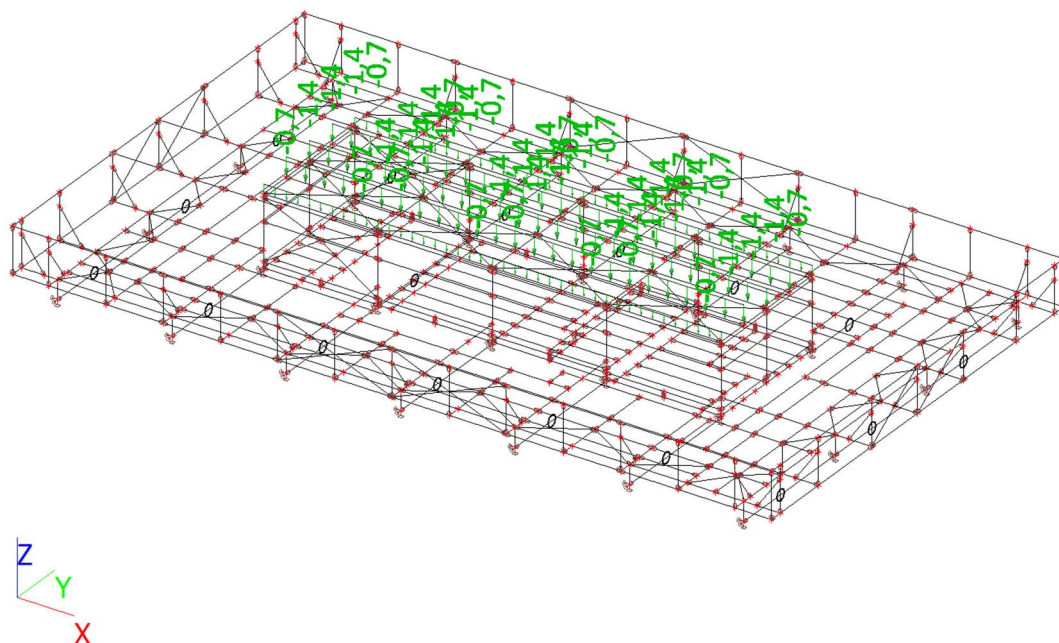


#### 15. uzitne1 / Hodnota pro výpočet

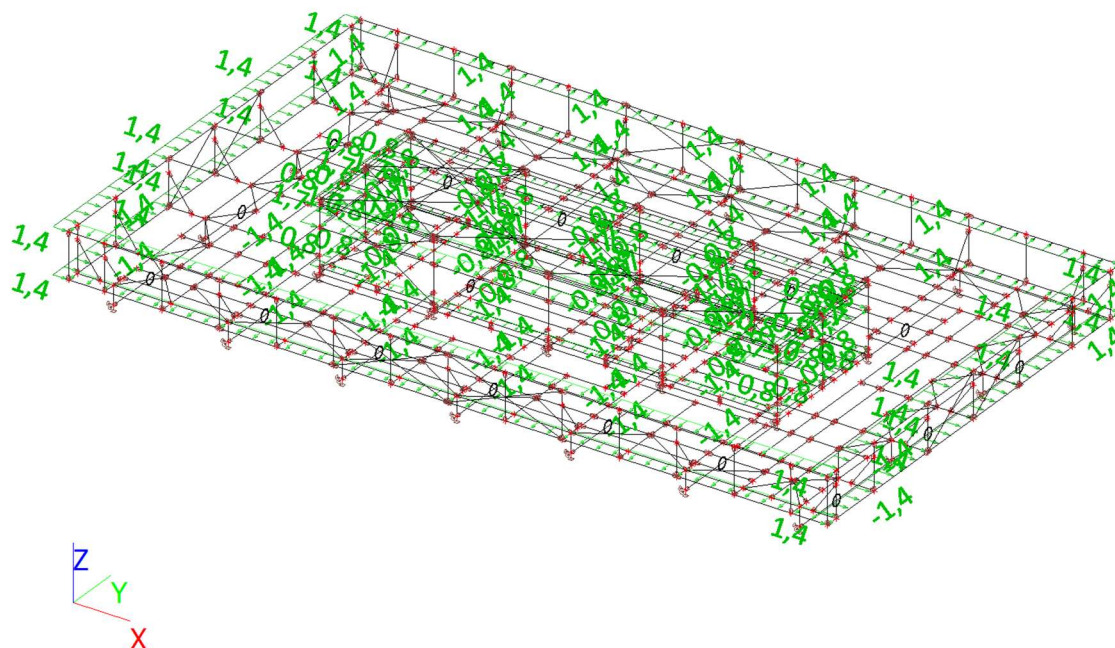




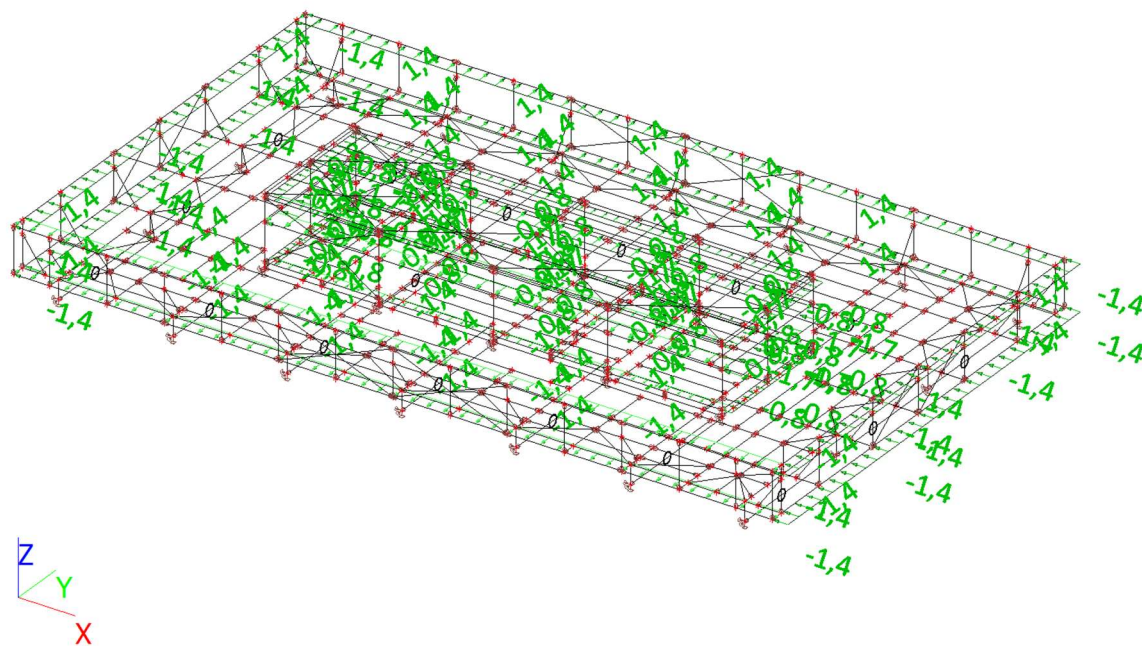
#### 16. sníh / Hodnota pro výpočet



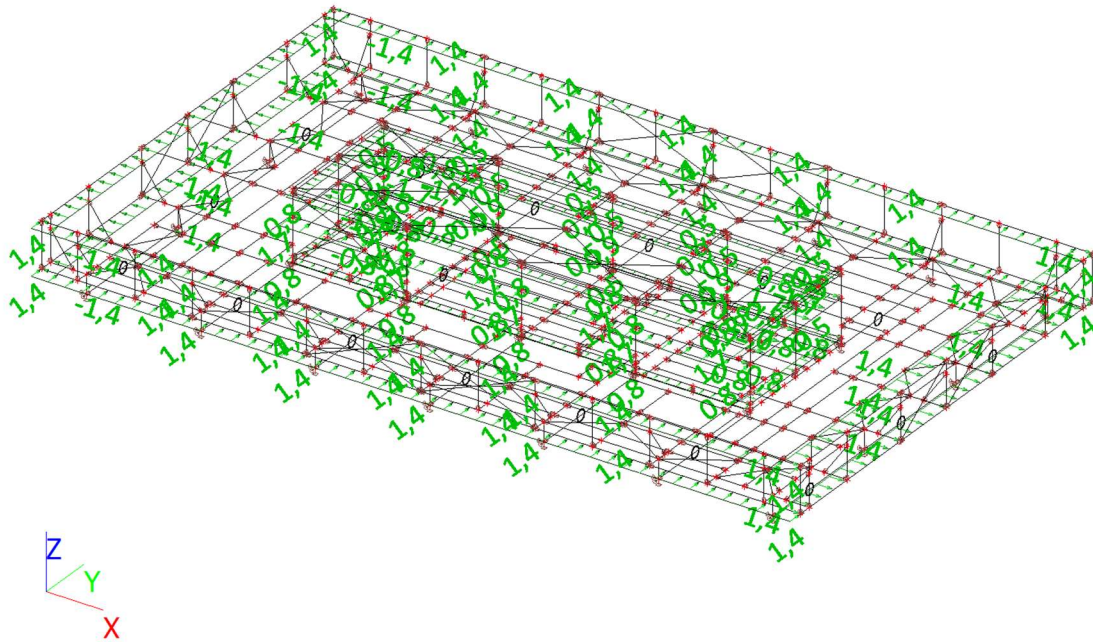
#### 17. vítr+x / Hodnota pro výpočet



**18. vitr-x / Hodnota pro výpočet**



**19. vitr+y / Hodnota pro výpočet**



## 20. Skupiny zatížení

Jméno	Zatížení	Vztah	Typ
stale	Stálé		
snih	Proměnné	Výběrová	Sníh
uzitne	Proměnné	Standard	Kat E : sklady
vitř	Proměnné	Výběrová	Vítr

## 21. Kombinace

Jméno	Popis	Typ	Zatěžovací stavy	Souč. [-]
MSU		EN-MSÚ (STR/GEO) Soubor B	vlastní váha	1,00
			stale	1,00
			pricky	1,00
			uzitne	1,00
			snih	1,00
			vitř+x	1,00
			vitř-x	1,00
			vitř+y	1,00
MSP		EN-MSP charakteristická	vlastní váha	1,00
			stale	1,00
			pricky	1,00
			uzitne	1,00
			snih	1,00
			vitř+x	1,00
			vitř-x	1,00
			vitř+y	1,00
POZAR		EN-mimořádné 1	vlastní váha	1,00
			stale	1,00
			pricky	1,00
			uzitne	1,00
			snih	1,00
			vitř+x	1,00
			vitř-x	1,00
			vitř+y	1,00

## 22. Vnitřní síly na prutu

Lineární výpočet, Extrém : Globální, Systém : LSS  
Výběr : Vše



Kombinace : MSU  
Průřez : CS1 - HEA400

Dílec	css	dx [m]	Stav	N [kN]	Vy [kN]	Vz [kN]	Mx [kNm]	My [kNm]	Mz [kNm]
B687	CS1 - HEA400	3,600	MSU/1	<b>-5,7</b>	-1,8	-11,3	0,0	74,8	6,7
B42	CS1 - HEA400	5,400	MSU/2	<b>39,7</b>	-0,5	-101,4	0,0	212,9	-0,2
B1	CS1 - HEA400	3,600	MSU/3	29,6	<b>-3,6</b>	-8,6	0,0	103,4	11,7
B1	CS1 - HEA400	2,700	MSU/3	29,6	<b>3,6</b>	12,9	0,0	93,1	8,5
B42	CS1 - HEA400	7,200	MSU/4	10,1	0,2	<b>-144,8</b>	0,0	0,0	0,0
B42	CS1 - HEA400	0,000	MSU/5	29,1	0,5	<b>141,5</b>	0,0	0,0	0,0
B655	CS1 - HEA400	3,600	MSU/4	0,0	0,0	-13,1	<b>-0,1</b>	255,7	0,0
B655	CS1 - HEA400	0,000	MSU/6	0,1	-0,7	55,5	<b>0,2</b>	0,0	0,0
B42	CS1 - HEA400	0,000	MSU/4	10,1	-0,1	141,5	0,0	<b>0,0</b>	0,0
B42	CS1 - HEA400	3,600	MSU/5	29,1	-0,1	18,2	0,0	<b>290,9</b>	0,0
B1	CS1 - HEA400	3,600	MSU/7	11,4	3,4	-7,6	0,0	94,0	<b>-11,0</b>
B1	CS1 - HEA400	3,600	MSU/8	22,7	3,6	11,5	0,0	80,6	<b>11,7</b>

## 23. Vnitřní síly na prutu

Lineární výpočet, Extrém : Globální, Systém : LSS

Výběr : Vše

Kombinace : MSU

Průřez : CS2 - IPE240

Dílec	css	dx [m]	Stav	N [kN]	Vy [kN]	Vz [kN]	Mx [kNm]	My [kNm]	Mz [kNm]
B662	CS2 - IPE240	0,000	MSU/9	<b>-2,8</b>	0,0	22,6	0,0	-0,7	0,0
B662	CS2 - IPE240	0,000	MSU/10	<b>2,2</b>	0,0	6,8	0,0	0,3	0,0
B35	CS2 - IPE240	0,000	MSU/11	0,0	<b>-0,5</b>	1,4	0,0	0,0	0,0
B653	CS2 - IPE240	0,000	MSU/12	-0,8	<b>0,2</b>	40,5	0,0	0,0	0,0
B653	CS2 - IPE240	3,600	MSU/13	-0,8	0,0	<b>-43,3</b>	0,0	0,0	0,0
B653	CS2 - IPE240	0,000	MSU/14	-0,2	-0,2	<b>46,0</b>	0,0	0,0	0,0
B35	CS2 - IPE240	0,000	MSU/5	0,0	-0,1	2,8	<b>0,0</b>	0,0	0,0
B671	CS2 - IPE240	0,000	MSU/13	0,0	0,0	17,9	<b>0,0</b>	0,0	0,0
B658	CS2 - IPE240	0,000	MSU/5	0,2	0,0	28,1	0,0	<b>-4,5</b>	0,0
B653	CS2 - IPE240	1,800	MSU/5	-0,1	0,0	-16,2	0,0	<b>53,5</b>	0,1
B35	CS2 - IPE240	0,700	MSU/11	0,0	-0,5	-0,6	0,0	0,3	<b>-0,4</b>
B653	CS2 - IPE240	0,900	MSU/12	-0,8	0,2	38,9	0,0	35,7	<b>0,2</b>

## 24. Vnitřní síly na prutu

Lineární výpočet, Extrém : Globální, Systém : LSS

Výběr : Vše

Kombinace : MSU

Průřez : CS3 - IPE140

Dílec	css	dx [m]	Stav	N [kN]	Vy [kN]	Vz [kN]	Mx [kNm]	My [kNm]	Mz [kNm]
B28	CS3 - IPE140	0,000	MSU/15	<b>-0,7</b>	0,0	4,2	0,0	0,0	0,0
B28	CS3 - IPE140	0,000	MSU/12	<b>0,7</b>	0,0	10,4	0,0	0,0	0,0
B25	CS3 - IPE140	0,000	MSU/12	0,0	<b>0,0</b>	6,9	0,0	0,0	0,0
B26	CS3 - IPE140	3,000	MSU/16	0,0	0,0	<b>-11,7</b>	0,0	0,0	0,0
B26	CS3 - IPE140	0,000	MSU/17	0,0	0,0	<b>11,7</b>	0,0	0,0	0,0
B33	CS3 - IPE140	0,000	MSU/13	0,0	0,0	7,8	<b>0,0</b>	0,0	0,0
B25	CS3 - IPE140	0,000	MSU/13	0,0	0,0	7,8	<b>0,0</b>	0,0	0,0
B25	CS3 - IPE140	0,000	MSU/18	0,0	0,0	2,4	0,0	<b>0,0</b>	0,0
B26	CS3 - IPE140	1,500	MSU/16	0,0	0,0	0,0	0,0	<b>8,7</b>	0,0
B25	CS3 - IPE140	0,000	MSU/7	0,0	0,0	6,9	0,0	0,0	<b>0,0</b>

## 25. Vnitřní síly na prutu

Lineární výpočet, Extrém : Globální, Systém : LSS

Výběr : Vše

Kombinace : MSU

Průřez : CS4 - HEA240

Dílec	css	dx [m]	Stav	N [kN]	Vy [kN]	Vz [kN]	Mx [kNm]	My [kNm]	Mz [kNm]
B67	CS4 - HEA240	0,000	MSU/19	<b>-384,2</b>	-26,4	-0,5	0,0	0,0	0,0
B75	CS4 - HEA240	3,600	MSU/20	<b>20,8</b>	-0,2	-4,2	0,0	24,0	0,4
B66	CS4 - HEA240	0,000	MSU/21	-333,9	<b>-49,6</b>	-0,4	0,0	0,0	0,0
B67	CS4 - HEA240	0,600	MSU/1	-48,8	<b>42,7</b>	1,6	0,0	2,4	-8,3
B75	CS4 - HEA240	7,200	MSU/22	-24,5	-0,1	<b>-42,4</b>	0,0	-65,7	0,0

Dílec	css	dx [m]	Stav	N [kN]	Vy [kN]	Vz [kN]	Mx [kNm]	My [kNm]	Mz [kNm]
B75	CS4 - HEA240	0,000	MSU/23	-0,9	0,0	<b>37,0</b>	0,0	-39,2	-0,1
B73	CS4 - HEA240	0,000	MSU/15	-114,6	9,8	17,6	<b>-0,1</b>	0,0	0,0
B72	CS4 - HEA240	0,000	MSU/11	-135,9	-21,9	-17,8	<b>0,1</b>	0,0	0,0
B78	CS4 - HEA240	7,200	MSU/21	-26,6	0,6	-41,7	0,0	<b>-76,9</b>	0,0
B78	CS4 - HEA240	3,600	MSU/4	-25,6	-1,4	-24,1	0,0	<b>51,1</b>	1,8
B69	CS4 - HEA240	3,800	MSU/21	-47,3	-26,6	0,0	0,0	0,0	<b>-76,9</b>
B65	CS4 - HEA240	3,800	MSU/24	-51,7	21,9	-0,7	0,0	0,0	<b>45,6</b>

## 26. Vnitřní síly na prutu

Lineární výpočet, Extrém : Globální, Systém : LSS

Výběr : Vše

Kombinace : MSU

Průřez : CS5 - IPE160

Dílec	css	dx [m]	Stav	N [kN]	Vy [kN]	Vz [kN]	Mx [kNm]	My [kNm]	Mz [kNm]
B686	CS5 - IPE160	0,000	MSU/25	<b>-1,4</b>	0,0	4,8	0,0	-0,3	0,0
B686	CS5 - IPE160	0,000	MSU/26	<b>4,7</b>	0,0	1,0	0,0	0,9	0,0
B686	CS5 - IPE160	6,300	MSU/26	<b>4,7</b>	<b>0,0</b>	-0,3	0,0	1,3	0,0
B686	CS5 - IPE160	0,000	MSU/15	<b>4,7</b>	<b>0,0</b>	1,2	0,0	0,9	0,0
B686	CS5 - IPE160	2,025	MSU/14	2,5	0,0	<b>-26,6</b>	0,0	<b>-11,2</b>	0,0
B686	CS5 - IPE160	2,025	MSU/14	2,5	0,0	<b>28,1</b>	0,0	-11,2	0,0
B676	CS5 - IPE160	0,000	MSU/9	0,0	0,0	3,5	<b>0,0</b>	0,0	0,0
B668	CS5 - IPE160	0,000	MSU/21	0,0	0,0	3,2	<b>0,0</b>	0,0	0,0
B686	CS5 - IPE160	3,600	MSU/13	-1,0	0,0	9,9	0,0	<b>16,8</b>	0,0
B686	CS5 - IPE160	7,200	MSU/26	<b>4,7</b>	0,0	-0,5	0,0	0,9	<b>0,0</b>
B686	CS5 - IPE160	0,000	MSU/12	-1,4	0,0	4,6	0,0	-0,3	<b>0,0</b>

## 27. Vnitřní síly na prutu

Lineární výpočet, Extrém : Globální, Systém : LSS

Výběr : Vše

Kombinace : MSU

Průřez : CS6 - RO88.9X5

Dílec	css	dx [m]	Stav	N [kN]	Vy [kN]	Vz [kN]	Mx [kNm]	My [kNm]	Mz [kNm]
B145	CS6 - RO88.9X5	0,000	MSU/15	<b>-37,2</b>	0,0	0,2	0,1	0,0	0,0
B145	CS6 - RO88.9X5	3,606	MSU/27	<b>33,4</b>	0,0	-0,2	0,1	0,0	0,0
B418	CS6 - RO88.9X5	0,000	MSU/28	11,1	<b>-0,6</b>	0,2	0,0	-0,1	<b>2,0</b>
B418	CS6 - RO88.9X5	0,000	MSU/29	-0,3	<b>0,0</b>	0,2	0,0	-0,1	<b>0,0</b>
B415	CS6 - RO88.9X5	3,231	MSU/30	0,8	0,0	<b>-0,2</b>	0,1	0,0	0,0
B418	CS6 - RO88.9X5	0,000	MSU/5	-6,5	-0,4	<b>0,2</b>	0,0	<b>-0,1</b>	1,2
B144	CS6 - RO88.9X5	0,000	MSU/11	-32,3	0,0	0,2	<b>-0,2</b>	0,0	0,0
B145	CS6 - RO88.9X5	0,000	MSU/11	31,9	0,0	0,2	<b>0,1</b>	0,0	0,0
B99	CS6 - RO88.9X5	1,803	MSU/30	-2,9	0,0	0,0	0,0	<b>0,2</b>	0,0

## 28. Vnitřní síly na prutu

Lineární výpočet, Extrém : Globální, Systém : LSS

Výběr : Vše

Kombinace : MSU

Průřez : CS7 - RO60.3X3.6

Dílec	css	dx [m]	Stav	N [kN]	Vy [kN]	Vz [kN]	Mx [kNm]	My [kNm]	Mz [kNm]
B143	CS7 - RO60.3X3.6	0,000	MSU/7	<b>-9,1</b>	0,0	0,1	0,0	0,0	0,0
B142	CS7 - RO60.3X3.6	0,000	MSU/12	<b>10,4</b>	0,0	0,1	0,0	0,0	0,0
B140	CS7 - RO60.3X3.6	3,499	MSU/21	2,1	<b>0,0</b>	0,1	0,0	0,2	<b>0,0</b>
B139	CS7 - RO60.3X3.6	3,499	MSU/21	7,1	<b>0,0</b>	0,1	0,0	0,2	<b>0,0</b>
B105	CS7 - RO60.3X3.6	6,997	MSU/23	3,0	0,0	<b>-0,2</b>	0,0	0,0	0,0
B104	CS7 - RO60.3X3.6	0,000	MSU/31	-3,0	0,0	<b>0,2</b>	0,0	0,0	0,0
B139	CS7 - RO60.3X3.6	3,499	MSU/32	3,5	0,0	0,0	<b>0,0</b>	0,2	0,0
B142	CS7 - RO60.3X3.6	3,499	MSU/21	10,0	0,0	0,0	<b>0,0</b>	0,2	0,0
B103	CS7 - RO60.3X3.6	0,000	MSU/33	-0,4	0,0	0,1	0,0	<b>0,0</b>	0,0
B105	CS7 - RO60.3X3.6	3,936	MSU/23	3,0	0,0	0,0	0,0	<b>0,3</b>	0,0

## 29. Vnitřní síly na prutu

Lineární výpočet, Extrém : Globální, Systém : LSS

Výběr : Vše

Kombinace : MSU  
Průřez : CS8 - VHP160/80x4.0

Dílec	css	dx [m]	Stav	N [kN]	Vy [kN]	Vz [kN]	Mx [kNm]	My [kNm]	Mz [kNm]
B563	CS8 - VHP160/80x4.0	0,000	MSU/34	<b>-25,3</b>	0,5	-7,7	0,0	0,0	0,0
B563	CS8 - VHP160/80x4.0	0,000	MSU/11	<b>24,4</b>	0,6	-7,7	0,0	0,0	0,0
B122	CS8 - VHP160/80x4.0	3,000	MSU/35	0,0	<b>-7,7</b>	-0,1	0,0	-0,2	<b>-4,0</b>
B122	CS8 - VHP160/80x4.0	3,000	MSU/35	0,0	<b>7,7</b>	0,1	0,0	-0,2	-4,0
B563	CS8 - VHP160/80x4.0	6,000	MSU/12	0,0	-0,6	<b>-7,7</b>	0,0	0,0	0,0
B563	CS8 - VHP160/80x4.0	6,000	MSU/15	0,0	-0,6	<b>7,7</b>	0,0	0,0	0,0
B121	CS8 - VHP160/80x4.0	0,000	MSU/13	0,0	5,3	2,3	<b>-2,7</b>	0,0	0,0
B122	CS8 - VHP160/80x4.0	6,000	MSU/36	0,0	-5,0	0,9	<b>2,7</b>	0,0	0,0
B563	CS8 - VHP160/80x4.0	3,000	MSU/15	0,0	1,1	0,0	0,0	<b>-11,6</b>	-0,7
B563	CS8 - VHP160/80x4.0	3,000	MSU/12	0,0	0,9	0,0	0,0	<b>11,6</b>	-0,5
B120	CS8 - VHP160/80x4.0	1,800	MSU/30	0,0	0,0	0,0	-0,1	0,0	<b>5,3</b>

### 30. Vnitřní síly na prutu

Lineární výpočet, Extrém : Globální, Systém : LSS  
Výběr : Vše  
Kombinace : MSU  
Průřez : CS9 - IPE360

Dílec	css	dx [m]	Stav	N [kN]	Vy [kN]	Vz [kN]	Mx [kNm]	My [kNm]	Mz [kNm]
B34	CS9 - IPE360	0,000	MSU/9	<b>-31,7</b>	-0,1	125,1	0,0	0,0	0,0
B34	CS9 - IPE360	0,000	MSU/10	<b>27,4</b>	-0,1	48,8	0,0	0,0	0,0
B61	CS9 - IPE360	0,000	MSU/1	0,6	<b>-4,9</b>	49,0	0,0	0,0	0,0
B54	CS9 - IPE360	0,000	MSU/1	1,9	<b>4,9</b>	44,8	0,0	0,0	0,0
B58	CS9 - IPE360	5,600	MSU/13	2,0	0,6	<b>-90,8</b>	0,0	0,0	0,0
B34	CS9 - IPE360	0,000	MSU/5	-20,7	-0,1	<b>135,0</b>	0,0	0,0	0,0
B54	CS9 - IPE360	0,000	MSU/25	11,9	-4,6	121,3	<b>0,0</b>	0,0	0,0
B24	CS9 - IPE360	0,000	MSU/12	13,4	0,0	55,4	<b>0,0</b>	0,0	0,0
B61	CS9 - IPE360	0,000	MSU/17	-4,0	1,8	126,3	0,0	<b>0,0</b>	0,0
B24	CS9 - IPE360	3,000	MSU/19	-1,1	0,0	14,0	0,0	<b>139,0</b>	0,0
B61	CS9 - IPE360	0,400	MSU/1	0,6	-4,9	48,1	0,0	19,4	<b>-2,0</b>
B54	CS9 - IPE360	0,400	MSU/1	1,9	4,9	43,9	0,0	17,8	<b>2,0</b>

### 31. Vnitřní síly na prutu

Lineární výpočet, Extrém : Globální, Systém : LSS  
Výběr : Vše  
Kombinace : MSU  
Průřez : CS10 - IPE140

Dílec	css	dx [m]	Stav	N [kN]	Vy [kN]	Vz [kN]	Mx [kNm]	My [kNm]	Mz [kNm]
B696	CS10 - IPE140	0,500	MSU/14	<b>-58,1</b>	0,0	0,0	0,0	0,0	0,0
B549	CS10 - IPE140	0,000	MSU/13	<b>32,3</b>	0,0	-6,7	0,0	0,0	0,0
B694	CS10 - IPE140	0,000	MSU/26	-3,2	<b>-4,7</b>	0,0	0,0	0,0	<b>0,9</b>
B693	CS10 - IPE140	0,000	MSU/26	-4,0	<b>4,7</b>	0,0	0,0	0,0	<b>-0,9</b>
B549	CS10 - IPE140	0,000	MSU/15	0,1	0,0	<b>-11,0</b>	0,0	0,0	0,0
B548	CS10 - IPE140	0,000	MSU/28	-2,9	0,0	<b>11,1</b>	0,0	0,0	0,0
B553	CS10 - IPE140	0,000	MSU/37	-14,9	0,0	0,0	<b>0,0</b>	0,0	0,0
B553	CS10 - IPE140	0,000	MSU/1	-11,4	0,0	0,0	<b>0,0</b>	0,0	0,0
B549	CS10 - IPE140	1,400	MSU/8	2,9	0,0	-6,4	0,0	<b>-8,5</b>	0,0
B548	CS10 - IPE140	1,400	MSU/11	-10,2	0,0	6,5	0,0	<b>8,3</b>	0,0

### 32. Vnitřní síly na prutu

Lineární výpočet, Extrém : Globální, Systém : LSS  
Výběr : Vše  
Kombinace : MSU  
Průřez : CS15 - U120

Dílec	css	dx [m]	Stav	N [kN]	Vy [kN]	Vz [kN]	Mx [kNm]	My [kNm]	Mz [kNm]
B482	CS15 - U120	0,000	MSU/1	<b>-4,5</b>	0,0	0,0	0,0	0,0	0,0
B475	CS15 - U120	0,000	MSU/4	<b>38,9</b>	0,0	0,0	0,0	0,0	0,0
B443	CS15 - U120	0,000	MSU/30	15,4	<b>0,0</b>	<b>0,0</b>	<b>0,0</b>	<b>0,0</b>	<b>0,0</b>

### 33. Vnitřní síly na prutu

Lineární výpočet, Extrém : Globální, Systém : LSS  
Výběr : Vše  
Kombinace : MSU  
Průřez : CS20 - IPE180

Dílec	css	dx [m]	Stav	N [kN]	Vy [kN]	Vz [kN]	Mx [kNm]	My [kNm]	Mz [kNm]
B45	CS20 - IPE180	0,000	MSU/9	<b>-1,4</b>	0,0	15,7	0,0	0,0	0,0
B32	CS20 - IPE180	0,000	MSU/15	<b>2,4</b>	0,0	4,6	0,0	0,0	0,0
B32	CS20 - IPE180	0,000	MSU/3	1,8	<b>0,0</b>	7,0	0,0	0,0	0,0
B32	CS20 - IPE180	0,900	MSU/3	1,6	<b>0,0</b>	2,5	0,0	5,4	0,0
B45	CS20 - IPE180	3,000	MSU/5	-0,9	0,0	<b>-16,0</b>	0,0	0,0	0,0
B45	CS20 - IPE180	0,000	MSU/17	0,4	0,0	<b>16,5</b>	0,0	0,0	0,0
B45	CS20 - IPE180	0,000	MSU/13	0,4	0,0	16,5	<b>0,0</b>	0,0	0,0
B53	CS20 - IPE180	0,000	MSU/13	0,5	0,0	12,1	<b>0,0</b>	0,0	0,0
B32	CS20 - IPE180	0,000	MSU/38	0,1	0,0	4,0	0,0	<b>0,0</b>	0,0
B45	CS20 - IPE180	1,500	MSU/5	-0,9	0,0	0,6	0,0	<b>12,6</b>	0,0
B32	CS20 - IPE180	0,900	MSU/3	1,8	0,0	5,0	0,0	5,4	<b>0,0</b>
B32	CS20 - IPE180	0,900	MSU/26	2,3	0,0	2,2	0,0	2,8	<b>0,0</b>

### 34. Vnitřní síly na prutu

Lineární výpočet, Extrém : Globální, Systém : LSS  
Výběr : Vše  
Kombinace : MSU  
Průřez : CS21 - HEA240

Dílec	css	dx [m]	Stav	N [kN]	Vy [kN]	Vz [kN]	Mx [kNm]	My [kNm]	Mz [kNm]
B228	CS21 - HEA240	1,900	MSU/21	<b>-37,3</b>	0,8	21,7	0,0	3,4	-1,3
B316	CS21 - HEA240	3,600	MSU/20	<b>40,0</b>	0,6	0,0	0,0	-0,5	-1,5
B256	CS21 - HEA240	6,400	MSU/39	-10,5	<b>-4,2</b>	-21,7	-0,1	-29,5	0,1
B317	CS21 - HEA240	4,900	MSU/15	11,2	<b>3,8</b>	6,2	0,0	-5,0	-0,7
B228	CS21 - HEA240	7,200	MSU/25	-11,1	-1,3	<b>-45,0</b>	0,0	-4,0	-2,0
B320	CS21 - HEA240	1,900	MSU/5	7,1	-0,3	<b>36,1</b>	0,0	-47,4	0,1
B256	CS21 - HEA240	0,000	MSU/40	10,4	-0,3	28,8	<b>-0,2</b>	-37,6	0,4
B363	CS21 - HEA240	0,000	MSU/3	7,8	0,9	28,9	<b>0,2</b>	-37,3	-1,2
B341	CS21 - HEA240	0,000	MSU/21	-33,3	1,9	36,1	0,0	<b>-60,5</b>	-2,2
B320	CS21 - HEA240	4,900	MSU/40	-34,3	-1,6	-5,1	0,0	<b>56,6</b>	-0,2
B203	CS21 - HEA240	6,400	MSU/26	23,2	-3,5	4,6	0,0	0,8	<b>-4,1</b>
B206	CS21 - HEA240	6,400	MSU/26	20,3	3,5	4,6	0,0	0,7	<b>4,1</b>

### 35. Vnitřní síly na prutu

Lineární výpočet, Extrém : Globální, Systém : LSS  
Výběr : Vše  
Kombinace : MSU  
Průřez : CS22 - RO159X14.2

Dílec	css	dx [m]	Stav	N [kN]	Vy [kN]	Vz [kN]	Mx [kNm]	My [kNm]	Mz [kNm]
B319	CS22 - RO159X14.2	0,000	MSU/5	<b>-103,0</b>	-12,5	11,5	-0,1	0,0	0,0
B223	CS22 - RO159X14.2	1,000	MSU/38	<b>-21,0</b>	3,8	5,8	-0,3	5,8	3,8
B272	CS22 - RO159X14.2	0,000	MSU/21	-88,6	<b>-67,7</b>	-0,5	-0,2	0,0	0,0
B148	CS22 - RO159X14.2	0,000	MSU/19	-74,8	<b>42,2</b>	-0,1	0,0	0,0	0,0
B214	CS22 - RO159X14.2	0,000	MSU/21	-91,2	-1,4	<b>-42,4</b>	-0,4	0,0	0,0
B205	CS22 - RO159X14.2	0,000	MSU/19	-93,4	7,0	<b>12,4</b>	-0,1	0,0	0,0
B319	CS22 - RO159X14.2	0,000	MSU/41	-47,7	7,7	-20,2	<b>-0,7</b>	0,0	0,0
B205	CS22 - RO159X14.2	0,000	MSU/42	-44,5	-8,1	-20,8	<b>0,6</b>	0,0	0,0
B214	CS22 - RO159X14.2	1,000	MSU/21	-90,6	-1,4	-42,4	-0,4	<b>-42,4</b>	-1,4
B205	CS22 - RO159X14.2	1,000	MSU/19	-92,7	7,0	12,4	-0,1	<b>12,4</b>	7,0
B272	CS22 - RO159X14.2	1,000	MSU/21	-88,1	-67,7	-0,5	-0,2	-0,5	<b>-67,7</b>
B148	CS22 - RO159X14.2	1,000	MSU/19	-74,1	42,2	-0,1	0,0	-0,1	<b>42,2</b>

### 36. Vnitřní síly na prutu

Lineární výpočet, Extrém : Globální, Systém : LSS  
Výběr : Vše  
Kombinace : MSU  
Průřez : CS23 - IPE160

Dílec	css	dx [m]	Stav	N [kN]	Vy [kN]	Vz [kN]	Mx [kNm]	My [kNm]	Mz [kNm]
B285	CS23 - IPE160	0,000	MSU/41	<b>-29,4</b>	0,0	-5,2	0,0	0,0	0,0

Dílec	css	dx [m]	Stav	N [kN]	Vy [kN]	Vz [kN]	Mx [kNm]	My [kNm]	Mz [kNm]
B169	CS23 - IPE160	1,700	MSU/12	<b>22,8</b>	0,0	-5,1	0,0	-8,7	0,0
B485	CS23 - IPE160	0,000	MSU/1	-23,7	<b>0,0</b>	4,5	0,0	0,0	0,0
B516	CS23 - IPE160	0,000	MSU/26	-23,7	<b>0,0</b>	4,5	0,0	0,0	0,0
B171	CS23 - IPE160	1,700	MSU/2	-1,1	0,0	<b>-12,5</b>	0,0	8,8	0,0
B273	CS23 - IPE160	1,700	MSU/25	-2,9	0,0	<b>12,5</b>	0,0	-8,9	0,0
B222	CS23 - IPE160	1,700	MSU/11	-2,6	0,0	0,8	<b>0,0</b>	-0,5	0,0
B492	CS23 - IPE160	1,700	MSU/42	-3,0	0,0	-0,2	<b>0,0</b>	0,1	0,0
B273	CS23 - IPE160	1,700	MSU/12	-27,8	0,0	-5,2	0,0	<b>-8,9</b>	0,0
B170	CS23 - IPE160	1,700	MSU/27	-26,7	0,0	5,2	0,0	<b>8,9</b>	0,0
B485	CS23 - IPE160	1,700	MSU/1	-23,4	0,0	4,5	0,0	7,7	<b>0,0</b>
B516	CS23 - IPE160	1,700	MSU/26	-23,5	0,0	4,5	0,0	7,7	<b>0,0</b>

### 37. Vnitřní síly na prutu

Lineární výpočet, Extrém : Globální, Systém : LSS

Výběr : Vše

Kombinace : MSU

Průřez : CS25 - RO70X3.6

Dílec	css	dx [m]	Stav	N [kN]	Vy [kN]	Vz [kN]	Mx [kNm]	My [kNm]	Mz [kNm]
B462	CS25 - RO70X3.6	0,000	MSU/25	<b>-31,4</b>	0,0	0,1	0,0	0,0	0,0
B274	CS25 - RO70X3.6	2,081	MSU/25	<b>30,8</b>	0,0	0,0	0,0	0,0	0,0
B606	CS25 - RO70X3.6	3,231	MSU/21	4,1	<b>-0,2</b>	0,1	0,1	-0,1	<b>0,7</b>
B603	CS25 - RO70X3.6	3,231	MSU/11	0,3	<b>0,2</b>	0,1	-0,1	-0,1	<b>-0,6</b>
B604	CS25 - RO70X3.6	3,231	MSU/16	-2,2	-0,1	<b>-0,1</b>	0,1	-0,1	-0,4
B605	CS25 - RO70X3.6	3,231	MSU/17	-2,4	0,1	<b>0,1</b>	-0,1	<b>-0,1</b>	-0,4
B602	CS25 - RO70X3.6	3,231	MSU/25	-3,1	0,0	0,1	<b>-0,2</b>	-0,1	0,0
B709	CS25 - RO70X3.6	0,000	MSU/40	-0,2	0,0	0,1	<b>0,2</b>	0,0	0,0
B445	CS25 - RO70X3.6	1,749	MSU/30	-1,3	0,0	0,0	0,0	<b>0,1</b>	0,0

### 38. Vnitřní síly na prutu

Lineární výpočet, Extrém : Globální, Systém : LSS

Výběr : Vše

Kombinace : MSU

Průřez : CS26 - VHP160/80x4.0

Dílec	css	dx [m]	Stav	N [kN]	Vy [kN]	Vz [kN]	Mx [kNm]	My [kNm]	Mz [kNm]
B498	CS26 - VHP160/80x4.0	3,000	MSU/12	<b>-9,0</b>	1,4	3,9	0,0	-2,1	-0,8
B508	CS26 - VHP160/80x4.0	3,000	MSU/42	<b>13,2</b>	1,6	3,9	0,0	-2,1	-0,9
B504	CS26 - VHP160/80x4.0	4,200	MSU/43	-0,2	<b>-2,5</b>	-3,1	-0,1	-2,1	-1,6
B503	CS26 - VHP160/80x4.0	3,600	MSU/14	-2,3	<b>2,3</b>	-2,8	0,0	1,9	-1,6
B338	CS26 - VHP160/80x4.0	1,900	MSU/25	3,9	1,0	<b>-7,0</b>	0,0	3,8	-0,8
B224	CS26 - VHP160/80x4.0	1,900	MSU/25	4,0	1,0	<b>7,0</b>	0,0	-3,8	-0,8
B511	CS26 - VHP160/80x4.0	7,200	MSU/42	0,0	1,6	1,2	<b>-1,3</b>	-0,3	-0,9
B504	CS26 - VHP160/80x4.0	7,200	MSU/42	0,0	1,7	-1,2	<b>1,3</b>	0,3	-1,0
B191	CS26 - VHP160/80x4.0	3,000	MSU/15	-2,1	-0,8	0,0	-0,1	<b>-9,5</b>	-0,1
B194	CS26 - VHP160/80x4.0	3,000	MSU/12	3,7	0,7	0,0	-0,1	<b>9,5</b>	0,0
B504	CS26 - VHP160/80x4.0	4,200	MSU/28	-0,1	-2,3	-5,2	-0,1	-3,5	<b>-2,0</b>
B502	CS26 - VHP160/80x4.0	2,100	MSU/21	0,2	0,2	-0,8	0,0	2,9	<b>2,3</b>

### 39. Vnitřní síly na prutu

Lineární výpočet, Extrém : Globální, Systém : LSS

Výběr : Vše

Kombinace : MSU

Průřez : CS27 - HEA160

Dílec	css	dx [m]	Stav	N [kN]	Vy [kN]	Vz [kN]	Mx [kNm]	My [kNm]	Mz [kNm]
B210	CS27 - HEA160	1,200	MSU/20	<b>-18,0</b>	0,0	-11,9	0,0	6,6	0,0
B233	CS27 - HEA160	3,000	MSU/12	<b>22,7</b>	0,1	0,6	0,0	7,7	-0,2
B773	CS27 - HEA160	1,200	MSU/39	1,9	<b>-1,4</b>	-0,8	0,0	0,6	0,8
B773	CS27 - HEA160	1,200	MSU/40	3,7	<b>1,3</b>	-2,0	0,0	1,5	-0,8
B540	CS27 - HEA160	1,200	MSU/40	6,2	-0,2	<b>-21,6</b>	0,0	-24,5	-0,3
B599	CS27 - HEA160	0,000	MSU/21	1,3	0,2	<b>13,6</b>	0,0	-18,8	-0,3
B352	CS27 - HEA160	1,200	MSU/42	3,4	-0,2	-7,3	<b>-0,1</b>	-8,0	-0,2
B245	CS27 - HEA160	1,200	MSU/42	3,3	0,2	-7,3	<b>0,1</b>	-7,6	0,2
B540	CS27 - HEA160	1,900	MSU/40	17,0	-0,2	-7,7	0,0	<b>-29,4</b>	-0,4
B740	CS27 - HEA160	3,000	MSU/13	0,7	0,0	0,1	0,0	<b>16,5</b>	-0,1

Dílec	css	dx [m]	Stav	N [kN]	Vy [kN]	Vz [kN]	Mx [kNm]	My [kNm]	Mz [kNm]
B216	CS27 - HEA160	7,900	MSU/25	5,8	-0,7	-4,0	0,0	-5,7	<b>-1,3</b>
B330	CS27 - HEA160	7,900	MSU/12	4,6	0,6	-4,8	0,0	-6,6	<b>1,1</b>

## 40. Vnitřní síly na prutu

Lineární výpočet, Extrém : Globální, Systém : LSS

Výběr : Vše

Kombinace : MSU

Průřez : CS28 - IPE180

Dílec	css	dx [m]	Stav	N [kN]	Vy [kN]	Vz [kN]	Mx [kNm]	My [kNm]	Mz [kNm]
B382	CS28 - IPE180	0,000	MSU/42	<b>-24,7</b>	0,0	1,0	0,0	0,0	0,0
B375	CS28 - IPE180	0,000	MSU/39	<b>21,4</b>	0,0	1,1	0,0	0,0	0,0
B527	CS28 - IPE180	0,000	MSU/12	4,2	<b>-0,5</b>	3,7	0,0	-2,9	<b>0,3</b>
B527	CS28 - IPE180	0,000	MSU/11	12,6	<b>0,3</b>	3,0	0,0	-3,1	-0,1
B155	CS28 - IPE180	6,000	MSU/5	1,9	0,0	<b>-6,0</b>	0,0	-10,1	0,0
B164	CS28 - IPE180	0,000	MSU/14	3,7	0,0	<b>5,9</b>	0,0	-9,7	-0,1
B754	CS28 - IPE180	0,000	MSU/37	-0,4	0,0	0,1	<b>0,0</b>	0,0	0,0
B753	CS28 - IPE180	0,000	MSU/5	0,0	0,0	0,1	<b>0,0</b>	0,0	0,0
B155	CS28 - IPE180	6,000	MSU/9	3,7	0,0	-5,8	0,0	<b>-10,6</b>	0,0
B267	CS28 - IPE180	3,000	MSU/4	7,0	0,0	4,5	0,0	<b>6,9</b>	-0,1
B154	CS28 - IPE180	6,000	MSU/11	3,5	-0,1	-1,1	0,0	0,3	<b>-0,1</b>

## 41. Vnitřní síly na prutu

Lineární výpočet, Extrém : Globální, Systém : LSS

Výběr : Vše

Kombinace : MSU

Průřez : CS29 - IPE140

Dílec	css	dx [m]	Stav	N [kN]	Vy [kN]	Vz [kN]	Mx [kNm]	My [kNm]	Mz [kNm]
B340	CS29 - IPE140	0,000	MSU/25	<b>-15,0</b>	0,0	0,3	0,0	0,0	0,0
B362	CS29 - IPE140	0,000	MSU/39	<b>19,9</b>	0,0	0,5	0,0	0,0	0,0
B538	CS29 - IPE140	0,000	MSU/39	7,0	<b>-0,4</b>	-4,3	0,0	0,0	0,0
B524	CS29 - IPE140	0,000	MSU/11	8,0	<b>0,5</b>	-2,2	0,0	-0,4	-0,2
B538	CS29 - IPE140	0,700	MSU/4	4,1	-0,2	<b>-6,3</b>	0,0	-4,2	-0,1
B537	CS29 - IPE140	0,000	MSU/4	4,6	0,0	<b>2,5</b>	0,0	<b>-4,2</b>	0,0
B340	CS29 - IPE140	0,000	MSU/15	3,8	0,0	0,3	<b>0,0</b>	0,0	0,0
B362	CS29 - IPE140	0,000	MSU/15	2,9	0,0	0,6	<b>0,0</b>	0,0	0,0
B762	CS29 - IPE140	0,900	MSU/30	-0,1	0,0	0,0	0,0	<b>0,5</b>	0,0
B538	CS29 - IPE140	0,700	MSU/39	7,0	-0,4	-4,7	0,0	-3,1	<b>-0,3</b>
B218	CS29 - IPE140	0,700	MSU/12	-7,2	0,4	-3,9	0,0	-2,7	<b>0,3</b>

## 42. Vnitřní síly na prutu

Lineární výpočet, Extrém : Globální, Systém : LSS

Výběr : Vše

Kombinace : MSU

Průřez : CS30 - UPE180

Dílec	css	dx [m]	Stav	N [kN]	Vy [kN]	Vz [kN]	Mx [kNm]	My [kNm]	Mz [kNm]
B727	CS30 - UPE180	0,000	MSU/12	<b>-2,8</b>	0,0	5,3	0,0	0,0	0,0
B733	CS30 - UPE180	0,000	MSU/42	<b>7,7</b>	0,0	2,2	0,0	0,0	0,0
B725	CS30 - UPE180	0,000	MSU/39	1,5	<b>0,0</b>	1,9	0,0	0,0	0,0
B731	CS30 - UPE180	6,000	MSU/5	-0,1	0,0	<b>-9,4</b>	0,0	0,0	0,0
B731	CS30 - UPE180	0,000	MSU/14	1,8	0,0	<b>9,4</b>	0,0	0,0	0,0
B736	CS30 - UPE180	0,000	MSU/21	-0,3	0,0	2,8	<b>0,0</b>	0,0	0,0
B730	CS30 - UPE180	0,000	MSU/5	0,0	0,0	3,0	<b>0,0</b>	0,0	0,0
B725	CS30 - UPE180	0,000	MSU/26	0,9	0,0	1,9	0,0	<b>0,0</b>	0,0
B731	CS30 - UPE180	3,000	MSU/13	3,5	0,0	0,0	0,0	<b>14,0</b>	0,0
B725	CS30 - UPE180	0,000	MSU/12	1,7	0,0	5,3	0,0	0,0	<b>0,0</b>

## 43. Vnitřní síly na prutu

Lineární výpočet, Extrém : Globální, Systém : LSS

Výběr : Vše

Kombinace : MSU

Průřez : CS31 - IPE180

Dílec	css	dx [m]	Stav	N [kN]	Vy [kN]	Vz [kN]	Mx [kNm]	My [kNm]	Mz [kNm]
B89	CS31 - IPE180	0,000	MSU/12	<b>-11,9</b>	0,0	3,6	0,0	0,0	0,0
B92	CS31 - IPE180	0,000	MSU/7	<b>20,8</b>	0,0	7,4	0,0	0,0	0,0
B91	CS31 - IPE180	0,000	MSU/7	3,8	<b>0,0</b>	7,5	0,0	0,0	0,0
B91	CS31 - IPE180	3,000	MSU/7	4,8	<b>0,0</b>	-0,1	0,0	11,4	<b>0,0</b>
B83	CS31 - IPE180	6,000	MSU/22	3,2	0,0	<b>-11,4</b>	0,0	0,0	0,0
B83	CS31 - IPE180	0,000	MSU/32	0,4	0,0	<b>11,4</b>	0,0	0,0	0,0
B83	CS31 - IPE180	3,000	MSU/32	3,2	0,0	-0,1	<b>0,0</b>	17,1	0,0
B81	CS31 - IPE180	3,000	MSU/31	1,9	0,0	-0,1	<b>0,0</b>	17,1	0,0
B79	CS31 - IPE180	0,000	MSU/27	-7,8	0,0	3,6	0,0	<b>0,0</b>	0,0
B83	CS31 - IPE180	3,000	MSU/32	0,4	0,0	0,1	0,0	<b>17,2</b>	0,0
B83	CS31 - IPE180	3,000	MSU/41	5,3	0,0	-0,2	0,0	7,7	<b>0,0</b>

#### 44. Vnitřní síly na prutu

Lineární výpočet, Extrém : Globální, Systém : LSS

Výběr : Vše

Kombinace : MSU

Průřez : CS32 - HEA360

Dílec	css	dx [m]	Stav	N [kN]	Vy [kN]	Vz [kN]	Mx [kNm]	My [kNm]	Mz [kNm]
B689	CS32 - HEA360	0,000	MSU/12	<b>-12,6</b>	0,0	59,7	0,0	0,0	0,0
B689	CS32 - HEA360	0,000	MSU/15	<b>68,3</b>	<b>0,0</b>	21,3	0,0	0,0	0,0
B689	CS32 - HEA360	6,300	MSU/26	67,4	<b>0,0</b>	-18,8	0,0	17,4	0,0
B689	CS32 - HEA360	7,200	MSU/13	-9,2	0,0	<b>-69,5</b>	0,0	0,0	0,0
B689	CS32 - HEA360	0,000	MSU/14	33,7	0,0	<b>66,1</b>	0,0	0,0	0,0
B689	CS32 - HEA360	0,000	MSU/1	67,6	0,0	18,5	<b>0,0</b>	0,0	0,0
B689	CS32 - HEA360	0,000	MSU/40	47,8	0,0	62,4	<b>0,0</b>	0,0	0,0
B689	CS32 - HEA360	0,000	MSU/4	-2,1	0,0	66,1	0,0	<b>0,0</b>	0,0
B689	CS32 - HEA360	3,600	MSU/13	-9,2	0,0	-6,6	0,0	<b>140,1</b>	0,0
B689	CS32 - HEA360	0,900	MSU/15	68,3	0,0	20,1	0,0	18,6	<b>0,0</b>
B689	CS32 - HEA360	0,900	MSU/12	-12,6	0,0	58,7	0,0	53,2	<b>0,0</b>

#### 45. Vnitřní síly na prutu

Lineární výpočet, Extrém : Globální, Systém : LSS

Výběr : Vše

Kombinace : MSU

Průřez : CS33 - IPE450

Dílec	css	dx [m]	Stav	N [kN]	Vy [kN]	Vz [kN]	Mx [kNm]	My [kNm]	Mz [kNm]
B44	CS33 - IPE450	3,000	MSU/9	<b>-16,2</b>	0,0	-62,2	0,0	216,2	0,0
B51	CS33 - IPE450	3,000	MSU/38	<b>18,3</b>	0,0	-24,1	0,0	83,3	0,0
B44	CS33 - IPE450	0,000	MSU/13	6,3	<b>-0,1</b>	88,4	0,0	0,0	0,0
B51	CS33 - IPE450	0,000	MSU/13	7,5	<b>0,1</b>	80,7	0,0	0,0	0,0
B44	CS33 - IPE450	6,000	MSU/19	-4,6	0,1	<b>-88,4</b>	0,0	0,0	0,0
B44	CS33 - IPE450	0,000	MSU/19	-4,4	-0,1	<b>88,4</b>	0,0	0,0	0,0
B51	CS33 - IPE450	0,000	MSU/15	-10,5	-0,1	36,1	<b>0,0</b>	0,0	0,0
B44	CS33 - IPE450	0,000	MSU/11	10,3	0,1	36,6	<b>0,0</b>	0,0	0,0
B44	CS33 - IPE450	0,000	MSU/14	2,1	0,0	88,4	0,0	<b>0,0</b>	0,0
B44	CS33 - IPE450	3,000	MSU/19	-4,4	-0,1	67,2	0,0	<b>233,3</b>	-0,2
B44	CS33 - IPE450	3,000	MSU/13	6,3	-0,1	67,2	0,0	233,3	<b>-0,3</b>
B51	CS33 - IPE450	3,000	MSU/13	7,8	-0,1	-64,0	0,0	217,0	<b>0,3</b>

#### 46. Vnitřní síly na prutu

Lineární výpočet, Extrém : Globální, Systém : LSS

Výběr : Vše

Kombinace : MSU

Průřez : CS34 - HEA180

Dílec	css	dx [m]	Stav	N [kN]	Vy [kN]	Vz [kN]	Mx [kNm]	My [kNm]	Mz [kNm]
B315	CS34 - HEA180	3,600	MSU/42	<b>-31,6</b>	0,4	3,1	0,0	-3,0	-0,7
B315	CS34 - HEA180	3,600	MSU/27	<b>31,9</b>	-0,4	3,0	0,0	10,7	0,7
B770	CS34 - HEA180	3,000	MSU/11	-1,2	<b>-1,8</b>	-0,6	0,0	11,4	0,3
B770	CS34 - HEA180	4,000	MSU/11	-0,9	<b>1,8</b>	-4,0	0,0	10,2	-1,6
B620	CS34 - HEA180	6,000	MSU/14	-6,6	-0,3	<b>-15,1</b>	0,0	0,0	0,0
B600	CS34 - HEA180	0,000	MSU/16	1,8	-0,1	<b>15,1</b>	0,0	-24,0	0,2
B315	CS34 - HEA180	0,000	MSU/27	5,3	-0,1	9,0	<b>0,0</b>	0,0	0,0
B315	CS34 - HEA180	5,400	MSU/27	20,8	0,1	-3,1	<b>0,0</b>	10,8	-0,1

Dílec	css	dx [m]	Stav	N [kN]	Vy [kN]	Vz [kN]	Mx [kNm]	My [kNm]	Mz [kNm]
B638	CS34 - HEA180	0,000	MSU/40	4,7	-0,1	14,5	0,0	<b>-28,9</b>	0,3
B770	CS34 - HEA180	3,000	MSU/17	-4,6	-0,1	3,5	0,0	<b>26,9</b>	0,0
B160	CS34 - HEA180	1,000	MSU/26	0,0	-1,6	-1,2	0,0	-0,6	<b>-1,6</b>
B770	CS34 - HEA180	6,000	MSU/39	14,7	1,4	-5,5	0,0	-0,1	<b>2,2</b>

## 47. Vnitřní síly na prutu

Lineární výpočet, Extrém : Globální, Systém : LSS

Výběr : Vše

Kombinace : MSU

Průřez : CS35 - HEA260

Dílec	css	dx [m]	Stav	N [kN]	Vy [kN]	Vz [kN]	Mx [kNm]	My [kNm]	Mz [kNm]
B262	CS35 - HEA260	0,700	MSU/25	<b>-62,9</b>	-6,2	38,4	0,0	-79,5	4,1
B167	CS35 - HEA260	6,000	MSU/20	<b>28,5</b>	-2,8	-4,4	0,0	9,5	5,3
B295	CS35 - HEA260	7,300	MSU/2	4,0	<b>-9,7</b>	-32,0	0,0	19,5	5,8
B167	CS35 - HEA260	4,900	MSU/38	-11,4	<b>10,8</b>	-11,1	0,0	42,3	-5,6
B307	CS35 - HEA260	7,900	MSU/37	-37,1	1,8	<b>-44,2</b>	-0,2	0,0	0,0
B166	CS35 - HEA260	0,700	MSU/21	-19,9	0,4	<b>70,8</b>	0,0	-1,2	-0,3
B307	CS35 - HEA260	6,100	MSU/14	-27,4	-3,5	-29,5	<b>-0,2</b>	62,3	1,1
B167	CS35 - HEA260	6,000	MSU/2	1,9	3,7	-22,3	<b>0,1</b>	45,7	<b>-7,1</b>
B271	CS35 - HEA260	0,700	MSU/21	-61,1	-2,2	45,7	0,0	<b>-90,7</b>	1,6
B166	CS35 - HEA260	3,700	MSU/25	-36,0	0,5	-5,1	0,0	<b>100,9</b>	-0,2
B167	CS35 - HEA260	6,000	MSU/39	-11,8	10,8	-11,7	0,0	29,5	<b>6,4</b>

## 48. Reakce

Lineární výpočet, Extrém : Uzel

Výběr : Pojmenovaný výběr - reakce vzt1

Kombinace : MSU

Podpora	Stav	Rx [kN]	Ry [kN]	Rz [kN]	Mx [kNm]	My [kNm]	Mz [kNm]
Sn19/N288	MSU/41	<b>-3,6</b>	-19,9	42,2	0,0	0,0	-0,3
Sn19/N288	MSU/44	<b>4,5</b>	-1,1	49,9	0,0	0,0	-0,1
Sn19/N288	MSU/25	-2,5	<b>-21,9</b>	57,3	0,0	0,0	-0,3
Sn19/N288	MSU/1	-3,1	<b>1,0</b>	26,6	0,0	0,0	0,0
Sn19/N288	MSU/20	-3,2	1,0	<b>26,6</b>	0,0	0,0	0,0
Sn19/N288	MSU/4	-1,2	-14,9	<b>58,9</b>	0,0	0,0	-0,2
Sn19/N288	MSU/30	-0,2	-2,1	37,7	<b>0,0</b>	<b>0,0</b>	0,0
Sn19/N288	MSU/42	-3,5	-19,9	42,2	0,0	0,0	<b>-0,3</b>
Sn19/N288	MSU/45	0,9	-3,5	43,0	0,0	0,0	<b>0,0</b>
Sn11/N166	MSU/34	<b>-9,1</b>	4,5	67,0	0,0	0,0	-0,1
Sn11/N166	MSU/11	<b>10,2</b>	0,2	36,7	0,0	0,0	<b>0,2</b>
Sn11/N166	MSU/38	-0,3	<b>-12,7</b>	<b>22,6</b>	0,0	0,0	-0,3
Sn11/N166	MSU/19	0,3	<b>7,3</b>	72,7	0,0	0,0	0,0
Sn11/N166	MSU/5	-5,2	6,1	<b>76,0</b>	0,0	0,0	0,0
Sn11/N166	MSU/30	0,4	3,1	42,8	<b>0,0</b>	<b>0,0</b>	0,1
Sn11/N166	MSU/12	-0,4	-8,6	52,5	0,0	0,0	<b>-0,4</b>
Sn12/N168	MSU/8	<b>-9,3</b>	3,7	37,0	0,0	0,0	-0,1
Sn12/N168	MSU/44	<b>8,2</b>	7,4	68,2	0,0	0,0	0,2
Sn12/N168	MSU/38	-2,7	<b>-19,5</b>	<b>23,2</b>	0,0	0,0	-0,1
Sn12/N168	MSU/5	-5,6	<b>8,1</b>	74,7	0,0	0,0	-0,1
Sn12/N168	MSU/14	4,3	8,0	<b>76,7</b>	0,0	0,0	0,1
Sn12/N168	MSU/30	-1,8	3,4	41,1	<b>0,0</b>	<b>0,0</b>	0,1
Sn12/N168	MSU/12	-1,8	-15,6	55,4	0,0	0,0	<b>-0,1</b>
Sn12/N168	MSU/11	7,2	3,9	40,5	0,0	0,0	<b>0,2</b>
Sn13/N170	MSU/15	<b>-8,5</b>	0,5	39,2	0,0	0,0	-0,2
Sn13/N170	MSU/27	<b>8,3</b>	5,0	67,3	0,0	0,0	0,2
Sn13/N170	MSU/38	-0,4	<b>-20,3</b>	<b>23,0</b>	0,0	0,0	0,0
Sn13/N170	MSU/19	0,1	<b>8,0</b>	75,4	0,0	0,0	0,0
Sn13/N170	MSU/14	5,0	6,7	<b>77,2</b>	0,0	0,0	0,1
Sn13/N170	MSU/30	0,0	3,2	42,5	<b>0,0</b>	<b>0,0</b>	0,0
Sn13/N170	MSU/1	-8,5	0,1	34,6	0,0	0,0	<b>-0,2</b>
Sn13/N170	MSU/40	8,3	5,3	71,9	0,0	0,0	<b>0,2</b>
Sn14/N172	MSU/46	<b>-7,6</b>	3,6	67,0	0,0	0,0	-0,2
Sn14/N172	MSU/28	<b>9,4</b>	-2,7	36,3	0,0	0,0	0,1
Sn14/N172	MSU/39	1,9	<b>-19,2</b>	23,4	0,0	0,0	0,1
Sn14/N172	MSU/37	1,6	<b>11,0</b>	72,6	0,0	0,0	0,0
Sn14/N172	MSU/38	1,9	-18,5	<b>23,2</b>	0,0	0,0	0,1
Sn14/N172	MSU/5	-3,7	6,8	<b>75,7</b>	0,0	0,0	-0,1



Podpora	Stav	Rx [kN]	Ry [kN]	Rz [kN]	Mx [kNm]	My [kNm]	Mz [kNm]
Sn14/N172	MSU/30	1,9	3,5	40,9	<b>0,0</b>	<b>0,0</b>	-0,1
Sn14/N172	MSU/15	-7,1	-3,5	39,8	0,0	0,0	<b>-0,3</b>
Sn14/N172	MSU/12	1,6	-11,1	54,9	0,0	0,0	<b>0,2</b>
Sn15/N174	MSU/1	<b>-9,0</b>	-0,3	31,3	0,0	0,0	-0,2
Sn15/N174	MSU/40	<b>11,1</b>	4,9	71,5	0,0	0,0	0,1
Sn15/N174	MSU/38	0,3	<b>-12,6</b>	<b>22,2</b>	0,0	0,0	0,3
Sn15/N174	MSU/19	1,9	<b>7,3</b>	72,4	0,0	0,0	0,0
Sn15/N174	MSU/14	7,5	6,2	<b>75,7</b>	0,0	0,0	0,0
Sn15/N174	MSU/30	0,9	3,0	42,0	<b>0,0</b>	<b>0,0</b>	-0,1
Sn15/N174	MSU/15	-9,0	0,1	35,9	0,0	0,0	<b>-0,2</b>
Sn15/N174	MSU/12	1,3	-8,3	52,6	0,0	0,0	<b>0,4</b>
Sn18/N256	MSU/41	<b>-5,8</b>	-15,4	26,1	0,0	0,0	-0,3
Sn18/N256	MSU/44	<b>5,0</b>	2,2	49,4	0,0	0,0	0,1
Sn18/N256	MSU/39	-5,8	<b>-15,8</b>	22,0	0,0	0,0	-0,3
Sn18/N256	MSU/37	0,9	<b>5,1</b>	52,1	0,0	0,0	0,0
Sn18/N256	MSU/38	-5,8	-15,8	<b>22,0</b>	0,0	0,0	-0,3
Sn18/N256	MSU/14	3,4	3,8	<b>56,2</b>	0,0	0,0	0,1
Sn18/N256	MSU/30	-0,1	2,8	37,0	<b>0,0</b>	<b>0,0</b>	0,0
Sn18/N256	MSU/12	-4,8	-13,4	37,0	0,0	0,0	<b>-0,4</b>
Sn18/N256	MSU/11	4,0	0,2	38,4	0,0	0,0	<b>0,2</b>
Sn27/N391	MSU/9	<b>-6,1</b>	2,0	51,7	0,0	0,0	-0,1
Sn27/N391	MSU/38	<b>3,9</b>	-15,0	<b>22,9</b>	0,0	0,0	0,3
Sn27/N391	MSU/39	3,9	<b>-15,0</b>	22,9	0,0	0,0	0,3
Sn27/N391	MSU/37	-2,3	<b>4,6</b>	50,4	0,0	0,0	0,0
Sn27/N391	MSU/5	-4,7	3,3	<b>54,6</b>	0,0	0,0	0,0
Sn27/N391	MSU/30	-1,2	2,8	37,8	<b>0,0</b>	<b>0,0</b>	0,0
Sn27/N391	MSU/15	-5,0	0,2	39,1	0,0	0,0	<b>-0,1</b>
Sn27/N391	MSU/12	2,8	-13,3	35,5	0,0	0,0	<b>0,4</b>
Sn20/N305	MSU/34	<b>-8,7</b>	-5,6	73,5	0,0	0,0	<b>0,0</b>
Sn20/N305	MSU/11	<b>9,6</b>	-0,6	38,8	0,0	0,0	-0,2
Sn20/N305	MSU/21	1,6	<b>-22,4</b>	77,8	0,0	0,0	-0,3
Sn20/N305	MSU/10	9,6	<b>-0,1</b>	33,8	0,0	0,0	-0,2
Sn20/N305	MSU/33	0,2	-2,7	<b>33,5</b>	0,0	0,0	0,0
Sn20/N305	MSU/5	-5,1	-7,3	<b>83,1</b>	0,0	0,0	0,0
Sn20/N305	MSU/30	0,3	-3,7	45,3	<b>0,0</b>	<b>0,0</b>	0,0
Sn20/N305	MSU/42	1,9	-17,6	43,3	0,0	0,0	<b>-0,4</b>
Sn21/N315	MSU/8	<b>-8,9</b>	-4,1	39,5	0,0	0,0	0,1
Sn21/N315	MSU/44	<b>7,8</b>	-8,9	82,5	0,0	0,0	-0,3
Sn21/N315	MSU/21	0,5	<b>-30,0</b>	89,2	0,0	0,0	-0,2
Sn21/N315	MSU/33	-1,3	<b>-2,7</b>	<b>32,6</b>	0,0	0,0	0,0
Sn21/N315	MSU/4	-0,2	-22,0	<b>92,9</b>	0,0	0,0	-0,2
Sn21/N315	MSU/30	-1,8	-3,7	44,0	<b>0,0</b>	<b>0,0</b>	-0,1
Sn21/N315	MSU/2	7,6	-9,3	87,3	0,0	0,0	<b>-0,3</b>
Sn21/N315	MSU/20	-8,7	-3,7	34,7	0,0	0,0	<b>0,1</b>
Sn22/N329	MSU/1	<b>-8,0</b>	-0,1	35,4	0,0	0,0	<b>0,2</b>
Sn22/N329	MSU/40	<b>8,0</b>	-4,3	63,6	0,0	0,0	<b>-0,2</b>
Sn22/N329	MSU/21	0,4	<b>-29,2</b>	69,1	0,0	0,0	0,0
Sn22/N329	MSU/10	7,8	<b>-0,1</b>	35,3	0,0	0,0	-0,2
Sn22/N329	MSU/33	0,1	-2,4	<b>32,4</b>	0,0	0,0	0,0
Sn22/N329	MSU/4	0,3	-20,6	<b>72,3</b>	0,0	0,0	0,0
Sn22/N329	MSU/30	0,1	-3,2	43,7	<b>0,0</b>	<b>0,0</b>	0,0
Sn23/N343	MSU/46	<b>-7,4</b>	-2,8	66,6	0,0	0,0	0,2
Sn23/N343	MSU/28	<b>9,0</b>	2,3	39,2	0,0	0,0	-0,1
Sn23/N343	MSU/25	0,2	<b>-31,5</b>	73,6	0,0	0,0	0,2
Sn23/N343	MSU/1	-6,9	<b>3,8</b>	37,7	0,0	0,0	0,3
Sn23/N343	MSU/33	1,4	-2,9	<b>32,7</b>	0,0	0,0	0,0
Sn23/N343	MSU/4	0,8	-22,8	<b>77,5</b>	0,0	0,0	0,1
Sn23/N343	MSU/30	1,9	-3,9	44,2	<b>0,0</b>	<b>0,0</b>	0,0
Sn23/N343	MSU/27	8,2	-3,8	63,3	0,0	0,0	<b>-0,1</b>
Sn23/N343	MSU/15	-6,7	3,3	42,5	0,0	0,0	<b>0,3</b>
Sn24/N357	MSU/1	<b>-8,5</b>	<b>-0,1</b>	33,1	0,0	0,0	0,2
Sn24/N357	MSU/40	<b>10,6</b>	-5,2	71,5	0,0	0,0	-0,1
Sn24/N357	MSU/25	0,5	<b>-21,5</b>	70,6	0,0	0,0	0,3
Sn24/N357	MSU/33	0,7	-2,7	<b>32,9</b>	0,0	0,0	0,0
Sn24/N357	MSU/14	7,2	-6,6	<b>76,0</b>	0,0	0,0	0,0
Sn24/N357	MSU/30	1,0	-3,7	44,4	<b>0,0</b>	<b>0,0</b>	0,0
Sn24/N357	MSU/27	10,5	-4,8	66,6	0,0	0,0	<b>-0,1</b>
Sn24/N357	MSU/42	-0,4	-17,4	42,3	0,0	0,0	<b>0,4</b>
Sn28/N414	MSU/9	<b>-5,7</b>	-1,6	52,0	0,0	0,0	0,0
Sn28/N414	MSU/38	<b>2,8</b>	-18,9	37,9	0,0	0,0	0,2
Sn28/N414	MSU/21	1,5	<b>-21,4</b>	55,1	0,0	0,0	0,2
Sn28/N414	MSU/10	2,2	<b>0,9</b>	<b>26,7</b>	0,0	0,0	0,0

Podpora	Stav	Rx [kN]	Ry [kN]	Rz [kN]	Mx [kNm]	My [kNm]	Mz [kNm]
Sn28/N414	MSU/4	-0,1	-14,7	<b>56,8</b>	0,0	0,0	0,1
Sn28/N414	MSU/30	-1,1	-2,0	37,8	<b>0,0</b>	<b>0,0</b>	0,0
Sn28/N414	MSU/45	-2,0	-3,7	41,1	0,0	0,0	<b>0,0</b>
Sn28/N414	MSU/42	2,6	-19,2	42,0	0,0	0,0	<b>0,3</b>
Sn50/N234	MSU/39	<b>-8,2</b>	-19,9	39,6	0,0	0,0	0,6
Sn50/N234	MSU/40	<b>7,5</b>	0,7	89,5	0,0	0,0	0,2
Sn50/N234	MSU/12	-1,4	<b>-20,1</b>	79,7	0,0	0,0	0,5
Sn50/N234	MSU/11	0,7	<b>0,9</b>	49,4	0,0	0,0	0,3
Sn50/N234	MSU/20	-0,3	0,5	<b>32,0</b>	0,0	0,0	-0,3
Sn50/N234	MSU/14	7,3	0,4	<b>96,5</b>	0,0	0,0	0,1
Sn50/N234	MSU/30	0,3	0,2	54,6	<b>0,0</b>	<b>0,0</b>	0,0
Sn50/N234	MSU/34	6,5	0,2	72,1	0,0	0,0	<b>-0,3</b>
Sn50/N234	MSU/42	-8,1	-19,8	45,6	0,0	0,0	<b>0,6</b>
Sn51/N253	MSU/39	<b>-7,9</b>	-19,7	48,4	0,0	0,0	-0,5
Sn51/N253	MSU/40	<b>7,3</b>	0,7	86,0	0,0	0,0	-0,2
Sn51/N253	MSU/38	-7,9	<b>-19,7</b>	48,4	0,0	0,0	-0,5
Sn51/N253	MSU/19	6,8	<b>1,4</b>	91,0	0,0	0,0	0,0
Sn51/N253	MSU/20	-0,3	0,1	<b>30,8</b>	0,0	0,0	0,2
Sn51/N253	MSU/4	1,9	-10,7	<b>96,5</b>	0,0	0,0	-0,2
Sn51/N253	MSU/30	0,3	0,8	53,0	<b>0,0</b>	<b>0,0</b>	0,0
Sn51/N253	MSU/42	-7,9	-19,6	54,2	0,0	0,0	<b>-0,5</b>
Sn51/N253	MSU/34	6,2	0,7	68,9	0,0	0,0	<b>0,2</b>
Sn49/N388	MSU/3	<b>-13,0</b>	0,3	90,8	0,0	0,0	0,2
Sn49/N388	MSU/39	<b>5,7</b>	<b>-19,0</b>	49,6	0,0	0,0	0,4
Sn49/N388	MSU/37	-11,0	<b>1,0</b>	95,7	0,0	0,0	-0,1
Sn49/N388	MSU/10	1,6	0,0	<b>31,5</b>	0,0	0,0	-0,3
Sn49/N388	MSU/4	-7,4	-10,8	<b>101,4</b>	0,0	0,0	0,2
Sn49/N388	MSU/30	-0,6	0,7	54,2	<b>0,0</b>	<b>0,0</b>	0,0
Sn49/N388	MSU/27	-8,9	0,2	73,0	0,0	0,0	<b>-0,4</b>
Sn49/N388	MSU/42	5,6	-18,9	55,6	0,0	0,0	<b>0,4</b>
Sn52/N372	MSU/5	<b>-12,5</b>	0,1	<b>104,3</b>	0,0	0,0	-0,1
Sn52/N372	MSU/38	<b>7,9</b>	-19,2	42,4	0,0	0,0	-0,7
Sn52/N372	MSU/7	-3,2	<b>-19,7</b>	86,5	0,0	0,0	-0,5
Sn52/N372	MSU/8	-1,2	<b>0,9</b>	52,6	0,0	0,0	-0,3
Sn52/N372	MSU/10	-0,7	0,4	<b>34,9</b>	0,0	0,0	0,3
Sn52/N372	MSU/30	-1,3	0,2	58,4	<b>0,0</b>	<b>0,0</b>	0,0
Sn52/N372	MSU/41	7,7	-19,1	48,8	0,0	0,0	<b>-0,7</b>
Sn52/N372	MSU/44	-11,8	-0,2	79,0	0,0	0,0	<b>0,4</b>

## 49. Reakce

Lineární výpočet, Extrém : Uzel

Výběr : Pojmenovaný výběr - reakce nastavba

Kombinace : MSU

Podpora	Stav	Rx [kN]	Ry [kN]	Rz [kN]	Mx [kNm]	My [kNm]	Mz [kNm]
Sn30/N435	MSU/1	<b>-16,6</b>	-1,1	96,5	0,0	0,0	0,0
Sn30/N435	MSU/40	<b>16,9</b>	-0,4	208,9	0,0	0,0	0,0
Sn30/N435	MSU/39	0,1	<b>-13,5</b>	103,0	0,0	0,0	0,0
Sn30/N435	MSU/37	0,4	<b>0,7</b>	218,0	0,0	0,0	0,0
Sn30/N435	MSU/20	-16,6	-1,0	<b>90,1</b>	0,0	0,0	0,0
Sn30/N435	MSU/14	10,3	0,0	<b>232,1</b>	0,0	0,0	0,0
Sn30/N435	MSU/30	0,0	0,0	146,6	<b>0,0</b>	<b>0,0</b>	0,0
Sn30/N435	MSU/12	0,5	-12,8	167,9	0,0	0,0	<b>-0,1</b>
Sn30/N435	MSU/15	-16,6	-1,1	112,6	0,0	0,0	<b>0,0</b>
Sn29/N434	MSU/20	<b>-16,4</b>	2,3	145,4	0,0	0,0	0,0
Sn29/N434	MSU/2	<b>16,9</b>	2,5	244,9	0,0	0,0	0,0
Sn29/N434	MSU/38	0,3	<b>-21,0</b>	128,3	0,0	0,0	0,0
Sn29/N434	MSU/9	-16,0	<b>2,6</b>	287,9	0,0	0,0	0,0
Sn29/N434	MSU/10	16,5	2,2	<b>102,3</b>	0,0	0,0	0,0
Sn29/N434	MSU/5	-9,4	1,8	<b>306,4</b>	0,0	0,0	0,0
Sn29/N434	MSU/30	0,1	0,4	171,9	<b>0,0</b>	<b>0,0</b>	0,0
Sn29/N434	MSU/11	16,5	2,5	133,9	0,0	0,0	<b>-0,1</b>
Sn29/N434	MSU/12	0,6	-21,0	239,3	0,0	0,0	<b>0,1</b>
Sn31/N436	MSU/1	<b>-16,4</b>	-1,8	149,6	0,0	0,0	0,0
Sn31/N436	MSU/40	<b>16,8</b>	-0,2	320,3	0,0	0,0	0,0
Sn31/N436	MSU/39	0,1	<b>-22,2</b>	150,9	0,0	0,0	0,0
Sn31/N436	MSU/37	0,5	<b>1,4</b>	352,1	0,0	0,0	0,0
Sn31/N436	MSU/10	16,5	-1,5	<b>136,8</b>	0,0	0,0	0,0
Sn31/N436	MSU/19	0,5	1,1	<b>364,9</b>	0,0	0,0	0,0
Sn31/N436	MSU/30	0,1	0,1	189,3	<b>0,0</b>	<b>0,0</b>	0,0

Podpora	Stav	Rx [kN]	Ry [kN]	Rz [kN]	Mx [kNm]	My [kNm]	Mz [kNm]
Sn31/N436	MSU/2	16,8	-0,5	333,1	0,0	0,0	<b>0,0</b>
Sn31/N436	MSU/38	0,1	-22,0	138,1	0,0	0,0	<b>0,0</b>
Sn32/N437	MSU/1	<b>-15,8</b>	-5,7	155,3	0,0	0,0	0,0
Sn32/N437	MSU/40	<b>16,3</b>	0,0	339,7	0,0	0,0	<b>0,0</b>
Sn32/N437	MSU/39	-0,1	<b>-21,0</b>	156,2	0,0	0,0	<b>0,0</b>
Sn32/N437	MSU/37	0,5	<b>5,1</b>	372,0	0,0	0,0	0,0
Sn32/N437	MSU/20	-15,8	-4,8	<b>142,5</b>	0,0	0,0	0,0
Sn32/N437	MSU/19	0,5	4,2	<b>384,8</b>	0,0	0,0	0,0
Sn32/N437	MSU/30	0,1	0,6	196,5	<b>0,0</b>	<b>0,0</b>	0,0
Sn33/N438	MSU/1	<b>-13,8</b>	-1,1	105,2	0,0	0,0	0,0
Sn33/N438	MSU/40	<b>14,1</b>	-0,3	227,2	0,0	0,0	0,0
Sn33/N438	MSU/42	1,0	<b>-13,7</b>	121,6	0,0	0,0	0,0
Sn33/N438	MSU/45	0,2	<b>0,6</b>	208,0	0,0	0,0	0,0
Sn33/N438	MSU/20	-13,8	-1,1	<b>98,7</b>	0,0	0,0	0,0
Sn33/N438	MSU/14	8,5	0,0	<b>254,0</b>	0,0	0,0	0,0
Sn33/N438	MSU/30	0,2	-0,1	145,2	<b>0,0</b>	<b>0,0</b>	0,0
Sn33/N438	MSU/3	-13,8	-0,5	215,1	0,0	0,0	<b>0,0</b>
Sn33/N438	MSU/39	1,0	-13,7	105,7	0,0	0,0	<b>0,0</b>
Sn34/N439	MSU/1	<b>-15,6</b>	<b>0,7</b>	114,6	0,0	0,0	0,0
Sn34/N439	MSU/40	<b>16,7</b>	0,0	241,7	0,0	0,0	0,0
Sn34/N439	MSU/25	1,3	<b>-14,5</b>	237,6	0,0	0,0	0,0
Sn34/N439	MSU/20	-15,6	0,7	<b>108,2</b>	0,0	0,0	0,0
Sn34/N439	MSU/14	10,4	-0,4	<b>270,5</b>	0,0	0,0	0,0
Sn34/N439	MSU/30	0,2	-0,4	157,9	<b>0,0</b>	<b>0,0</b>	0,0
Sn34/N439	MSU/38	0,5	-13,9	116,1	0,0	0,0	<b>0,0</b>
Sn34/N439	MSU/2	16,7	0,1	248,1	0,0	0,0	<b>0,0</b>
Sn35/N440	MSU/1	<b>-16,4</b>	<b>5,6</b>	164,3	0,0	0,0	0,0
Sn35/N440	MSU/40	<b>17,5</b>	0,2	334,8	0,0	0,0	0,0
Sn35/N440	MSU/25	1,3	<b>-26,1</b>	339,9	0,0	0,0	0,0
Sn35/N440	MSU/20	-16,4	4,7	<b>151,4</b>	0,0	0,0	0,0
Sn35/N440	MSU/4	1,2	-16,9	<b>383,1</b>	0,0	0,0	0,0
Sn35/N440	MSU/30	0,1	-0,9	208,6	<b>0,0</b>	<b>0,0</b>	0,0
Sn35/N440	MSU/12	1,3	-26,0	317,1	0,0	0,0	<b>0,0</b>
Sn35/N440	MSU/11	16,7	5,3	187,4	0,0	0,0	<b>0,0</b>
Sn36/N441	MSU/1	<b>-17,2</b>	1,8	154,1	0,0	0,0	0,0
Sn36/N441	MSU/40	<b>18,3</b>	0,8	310,9	0,0	0,0	0,0
Sn36/N441	MSU/25	1,4	<b>-23,1</b>	316,6	0,0	0,0	0,0
Sn36/N441	MSU/26	17,4	<b>1,8</b>	154,1	0,0	0,0	0,0
Sn36/N441	MSU/20	-17,2	1,5	<b>141,3</b>	0,0	0,0	0,0
Sn36/N441	MSU/4	1,3	-14,0	<b>357,7</b>	0,0	0,0	0,0
Sn36/N441	MSU/30	0,1	-0,1	195,4	<b>0,0</b>	<b>0,0</b>	0,0
Sn36/N441	MSU/12	1,4	-23,1	295,2	0,0	0,0	<b>0,0</b>
Sn36/N441	MSU/11	17,4	1,8	175,5	0,0	0,0	<b>0,0</b>
Sn37/N442	MSU/1	<b>-17,6</b>	-2,7	159,3	0,0	0,0	0,1
Sn37/N442	MSU/40	<b>18,7</b>	-3,4	229,3	0,0	0,0	0,0
Sn37/N442	MSU/21	1,8	<b>-22,4</b>	264,8	0,0	0,0	0,0
Sn37/N442	MSU/33	0,1	<b>-0,5</b>	129,3	0,0	0,0	0,0
Sn37/N442	MSU/10	17,8	-2,5	<b>105,1</b>	0,0	0,0	0,1
Sn37/N442	MSU/5	-9,6	-2,8	<b>302,7</b>	0,0	0,0	0,0
Sn37/N442	MSU/30	0,1	-0,6	174,5	<b>0,0</b>	<b>0,0</b>	0,0
Sn37/N442	MSU/45	0,9	-1,2	234,3	0,0	0,0	<b>0,0</b>
Sn37/N442	MSU/11	17,8	-2,8	137,0	0,0	0,0	<b>0,1</b>
Sn38/N443	MSU/1	<b>-17,6</b>	0,6	98,9	0,0	0,0	-0,1
Sn38/N443	MSU/40	<b>18,6</b>	-0,3	211,7	0,0	0,0	-0,1
Sn38/N443	MSU/25	1,6	<b>-14,8</b>	203,9	0,0	0,0	0,0
Sn38/N443	MSU/26	17,7	<b>0,8</b>	128,0	0,0	0,0	-0,1
Sn38/N443	MSU/20	-17,6	0,6	<b>92,5</b>	0,0	0,0	-0,1
Sn38/N443	MSU/14	11,6	-0,8	<b>235,6</b>	0,0	0,0	0,0
Sn38/N443	MSU/30	0,0	-0,5	148,3	<b>0,0</b>	<b>0,0</b>	0,0
Sn38/N443	MSU/15	-17,6	0,6	115,1	0,0	0,0	<b>-0,1</b>
Sn38/N443	MSU/45	1,0	-1,4	183,8	0,0	0,0	<b>0,0</b>

## 50. Posudek ocelových prvků na MSÚ EC-EN 1993

Lineární výpočet

Kombinace: MSU

Souřadný systém: Hlavní

Extrém 1D: Průřez

Výběr: Vše

Na vybraných dílcích se vyskytuje 1 varování. 1 z nich je zobrazeno.

**Celkový posudek**

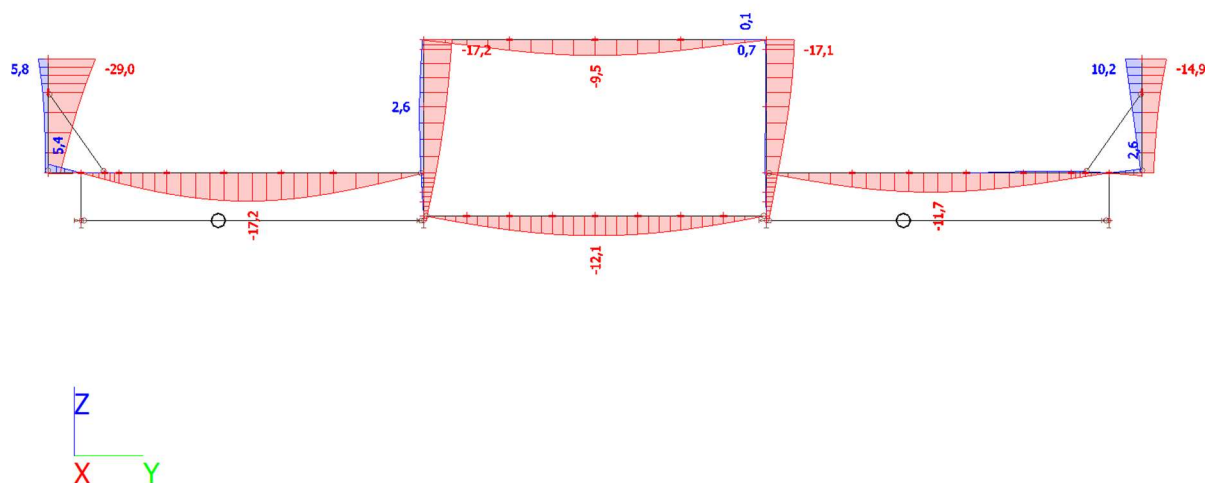
Jméno	dx [m]	Stav	Průřez	Materiál	UC <sub>Celkový</sub> [-]	UC <sub>Průřez</sub> [-]	UC <sub>Stabilita</sub> [-]	Chyby, upozornění, poznámky
B34	1,850-	MSU/1	CS9 - IPE360	S 235	<b>0,70</b>	0,41	0,70	
B26	1,500-	MSU/2	CS3 - IPE140	S 235	<b>0,42</b>	0,42	0,38	
B42	3,600-	MSU/1	CS1 - HEA400	S 235	<b>0,48</b>	0,48	0,00	
B45	1,500-	MSU/1	CS20 - IPE180	S 235	<b>0,32</b>	0,32	0,29	
B657	2,650-	MSU/3	CS2 - IPE240	S 235	<b>0,79</b>	0,42	0,79	
B44	3,000+	MSU/2	CS33 - IPE450	S 235	<b>0,74</b>	0,58	0,74	
B674	1,500-	MSU/4	CS5 - IPE160	S 235	<b>0,63</b>	0,41	0,63	
B78	7,200	MSU/5	CS4 - HEA240	S 235	<b>0,44</b>	0,44	0,42	
B86	3,000+	MSU/6	CS31 - IPE180	S 235	<b>0,48</b>	0,44	0,48	
B144	0,000	MSU/7	CS6 - RO88.9X5	S 235	<b>0,84</b>	0,11	0,84	W17
B143	2,624	MSU/5	CS7 - RO60.3X3.6	S 235	<b>0,31</b>	0,07	0,31	
B568	3,000-	MSU/7	CS8 - VHP160/80x4.0	S 235	<b>0,72</b>	0,53	0,72	
B482	0,000	MSU/8	CS15 - U120	S 235	<b>0,29</b>	0,01	0,29	W17
B548	3,400-	MSU/9	CS10 - IPE140	S 235	<b>0,50</b>	0,11	0,50	
B272	1,000	MSU/5	CS22 - RO159X14.2	S 355	<b>0,64</b>	0,64	0,63	
B166	4,900+	MSU/5	CS35 - HEA260	S 235	<b>0,52</b>	0,43	0,52	
B155	6,000	MSU/10	CS28 - IPE180	S 235	<b>0,31</b>	0,27	0,31	
B638	0,000	MSU/11	CS34 - HEA180	S 235	<b>0,38</b>	0,38	0,00	
B273	0,425-	MSU/11	CS23 - IPE160	S 235	<b>0,56</b>	0,08	0,56	
B462	0,000	MSU/12	CS25 - RO70X3.6	S 235	<b>0,56</b>	0,18	0,56	
B498	3,000+	MSU/13	CS26 - VHP160/80x4.0	S 235	<b>0,59</b>	0,10	0,59	W17
B320	4,900+	MSU/7	CS21 - HEA240	S 235	<b>0,39</b>	0,32	0,39	
B540	1,900	MSU/11	CS27 - HEA160	S 235	<b>0,53</b>	0,51	0,53	
B529	0,000	MSU/12	CS29 - IPE140	S 235	<b>0,39</b>	0,18	0,39	
B689	3,600+	MSU/4	CS32 - HEA360	S 235	<b>0,29</b>	0,29	0,26	
B731	3,000-	MSU/14	CS30 - UPE180	S 235	<b>0,76</b>	0,35	0,76	

Jméno	klíč kombinace
MSU/1	1.35*vlastní váha + 1.35*stále + 1.35*prcky + 1.50*uzitné + 0.75*snih + 0.90*vitr+x
MSU/2	1.35*vlastní váha + 1.35*stále + 1.35*prcky + 1.50*uzitné + 0.90*vitr+x
MSU/3	1.35*vlastní váha + 1.35*stále + 1.35*prcky + 1.50*uzitné + 0.75*snih + 0.90*vitr-x
MSU/4	1.35*vlastní váha + 1.35*stále + 1.35*prcky + 1.50*uzitné + 0.90*vitr+y
MSU/5	1.15*vlastní váha + 1.15*stále + 1.15*prcky + 1.50*uzitné + 0.75*snih + 1.50*vitr+y
MSU/6	1.15*vlastní váha + 1.15*stále + 1.15*prcky + 1.50*uzitné + 1.50*snih + 0.90*vitr-x
MSU/7	1.15*vlastní váha + 1.15*stále + 1.15*prcky + 1.50*uzitné + 0.75*snih + 1.50*vitr-x
MSU/8	vlastní váha + stále + prcky + 0.75*snih + 1.50*vitr+x
MSU/9	1.15*vlastní váha + 1.15*stále + 1.15*prcky + 0.75*snih + 1.50*vitr-x
MSU/10	1.15*vlastní váha + 1.15*stále + 1.15*prcky + 1.50*uzitné + 0.75*snih + 1.50*vitr+x
MSU/11	1.15*vlastní váha + 1.15*stále + 1.15*prcky + 1.50*uzitné + 1.50*vitr-x
MSU/12	1.15*vlastní váha + 1.15*stále + 1.15*prcky + 1.50*vitr+y
MSU/13	1.15*vlastní váha + 1.15*stále + 1.15*prcky + 1.50*uzitné + 1.50*vitr+y
MSU/14	vlastní váha + stále + prcky + 1.50*vitr-x
MSU/15	1.35*vlastní váha + 1.35*stále + 1.35*prcky + 1.50*uzitné

CH/V/P	Přítomno na dílcích
W17	B144, B168, B169, B170, B171, B172, B196, B198, B199, B208, B224, B253, B264, B273, B285, B297, B309, B314, B322, B338, B360, B415, B417, B418, B478, B479, B480, B481, B482, B483, B498, B503, B509, B512, B601, B602, B603, B604, B605, B606, B99

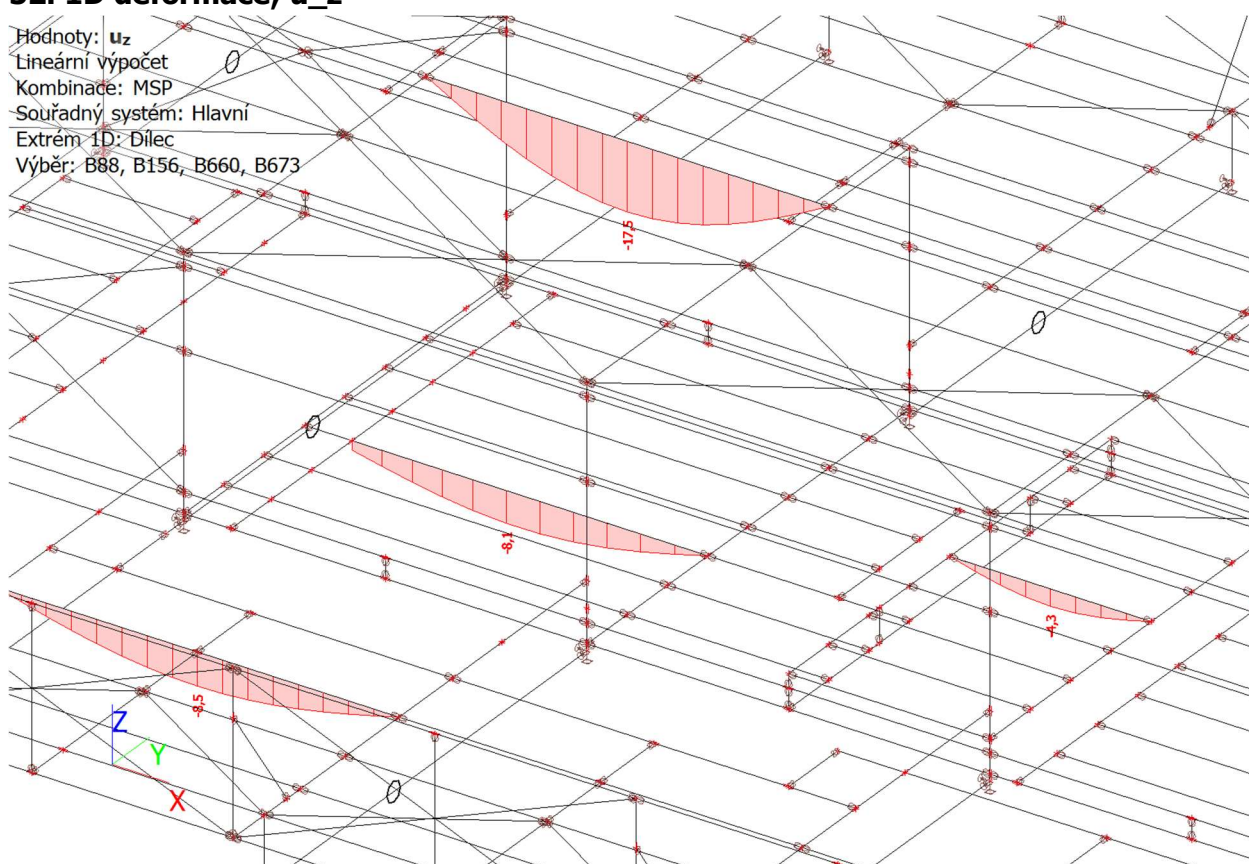
## 51. 1D deformace; u<sub>z</sub>

Hodnoty:  $u_z$   
Lineární výpočet  
Kombinace: MSP  
Souřadný systém: Hlavní  
Extrém 1D: Dílec  
Výběr: B42, B66, B71, B76, B166,  
B170, B283, B285



## 52. 1D deformace; $u_z$

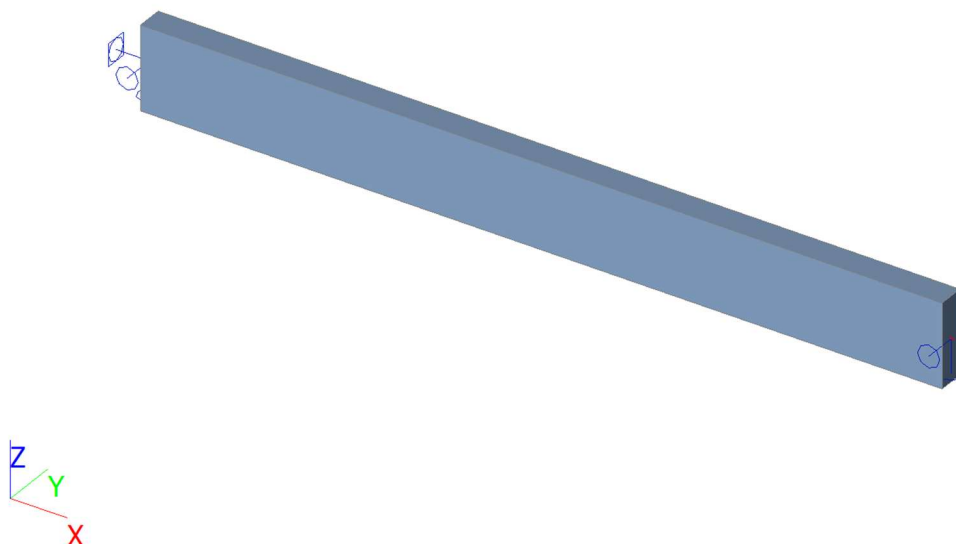
Hodnoty:  $u_z$   
Lineární výpočet  
Kombinace: MSP  
Souřadný systém: Hlavní  
Extrém 1D: Dílec  
Výběr: B88, B156, B660, B673



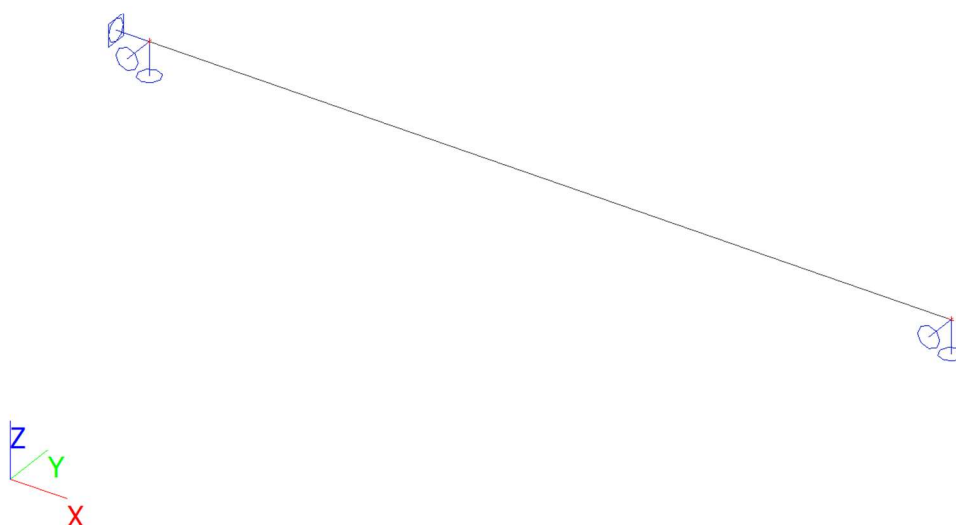
$$f_{dov} = l/250 = 6000/250 = 24,0 \text{ mm}$$

n.3. Věncový nosník 1.np

### 1. Výpočtový model



### 2. Výpočtový model




### 3. Uzly

Jméno	Souř. X [m]	Souř. Y [m]	Souř. Z [m]
N1	0,000	0,000	0,000
N2	7,200	0,000	0,000

#### 4. Prvky

Jméno	Průřez	Materiál	Délka [m]	Poč. uzel	Konc. uzel	Typ
B1	CS1 - Obdélník (750; 240)	C25/30	7,200	N1	N2	nosník (80)

#### 5. Průřezy

Jméno	Typ	Materiál	Výroba	A [m <sup>2</sup> ]	A <sub>y</sub> [m <sup>2</sup> ]	I <sub>y</sub> [m <sup>4</sup> ]	W <sub>el.y</sub> [m <sup>3</sup> ]	W <sub>pl.y</sub> [m <sup>3</sup> ]	Barva
	Detailní				A <sub>z</sub> [m <sup>2</sup> ]	I <sub>z</sub> [m <sup>4</sup> ]	W <sub>el.z</sub> [m <sup>3</sup> ]	W <sub>pl.z</sub> [m <sup>3</sup> ]	
CS1	Obdélník 750; 240	C25/30	beton	1,8000e-01	1,5000e-01	8,4375e-03	2,2500e-02	0,0000e+00	
					1,5000e-01	8,6400e-04	7,2000e-03	0,0000e+00	

#### 6. Podpory v uzlech

Jméno	Uzel	Systém	Typ	X	Y	Z	Rx	Ry	Rz
Sn1	N1	GSS	Standard	Tuhý	Tuhý	Tuhý	Tuhý	Volný	Volný
Sn2	N2	GSS	Standard	Volný	Tuhý	Tuhý	Volný	Volný	Volný

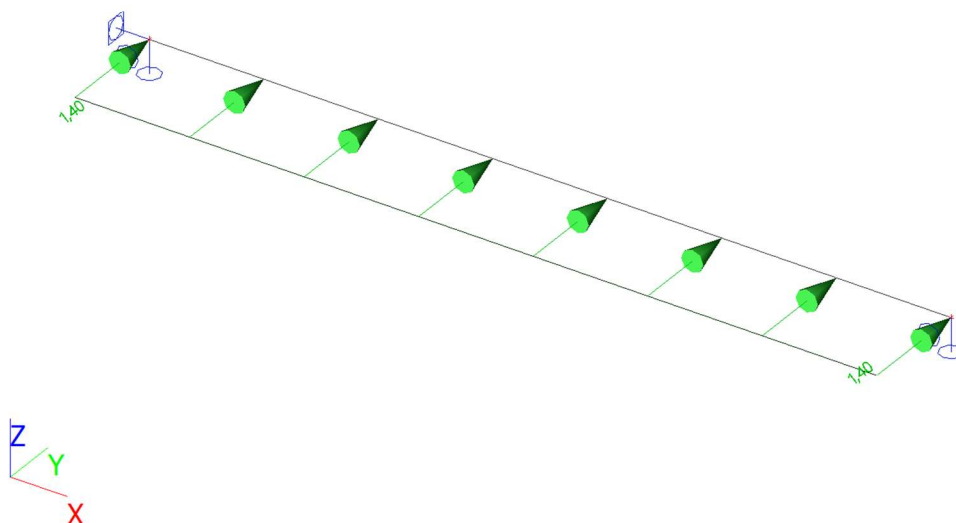
#### 7. Zatěžovací stavy

Jméno	Popis	Typ působení	Skupina zatížení	Směr	Působení	Řídící zat. stav
	Spec	Typ zatížení				
ZS1	Vlastní tíha	Stálé Vlastní tíha	SZ1	-Z		
ZS2	svisle	Stálé Standard	SZ1			
ZS3	vitř	Proměnné Statické	vitř		Krátkodobé	Žádný

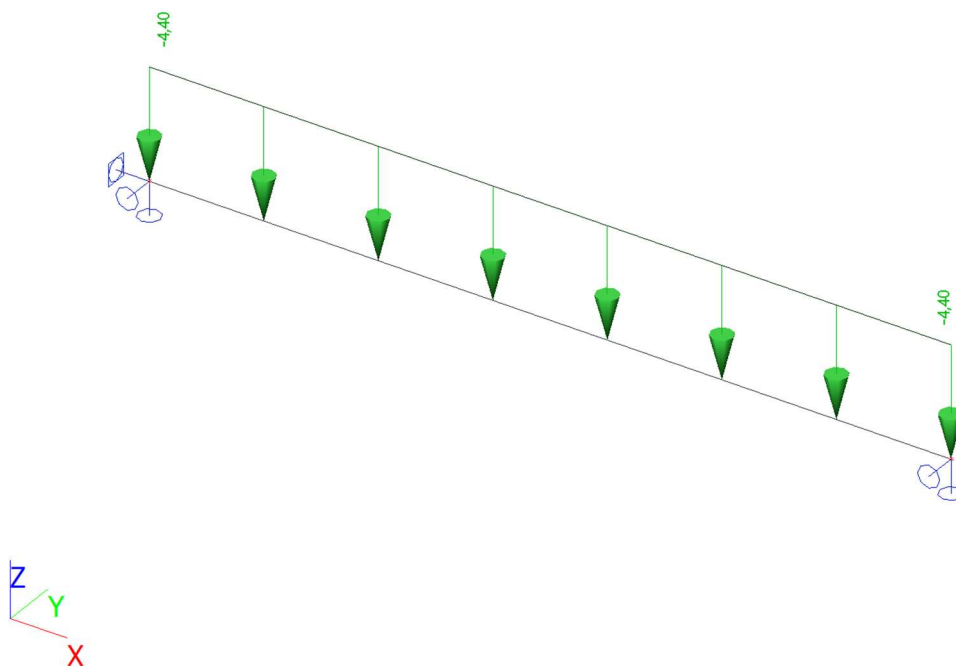
#### 8. Skupiny zatížení

Jméno	Zatížení	Vztah	Typ
SZ1	Stálé		
vitř	Proměnné	Výběrová	Vitř

#### 9. ZS3 / Hodnota pro výpočet



## 10. ZS2 / Hodnota pro výpočet



## 11. Kombinace

Jméno	Popis	Typ	Zatěžovací stavy	Souč. [-]
MSÚ-Sada B (auto)		EN-MSÚ (STR/GEO) Soubor B	ZS1 - Vlastní tíha	1,00
			ZS2 - svisle	1,00



Jméno	Popis	Typ	Zatěžovací stavy	Souč. [-]
			ZS3 - vitr	1,00
MSP-Char (auto)		EN-MSP charakteristická	ZS1 - Vlastní tíha	1,00
			ZS2 - svisle	1,00
			ZS3 - vitr	1,00
MSP-Kvazi (auto)		EN-MSP kvazistálá	ZS1 - Vlastní tíha	1,00
			ZS2 - svisle	1,00
			ZS3 - vitr	1,00

## 12. Vnitřní síly na prutu

Lineární výpočet, Extrém : Globální, Systém : Hlavní

Výběr : Vše

Kombinace : MSÚ-Sada B (auto)

Dílec	css	dx [m]	Stav	N [kN]	Vy [kN]	Vz [kN]	Mx [kNm]	My [kNm]	Mz [kNm]
B1	CS1 - Obdélník	0,000	MSÚ-Sada B (auto)/1	<b>0,00</b>	0,00	<b>42,84</b>	<b>0,00</b>	<b>0,00</b>	<b>0,00</b>
B1	CS1 - Obdélník	0,000	MSÚ-Sada B (auto)/2	0,00	<b>-7,56</b>	36,43	0,00	0,00	0,00
B1	CS1 - Obdélník	7,200	MSÚ-Sada B (auto)/2	0,00	<b>7,56</b>	-36,43	0,00	0,00	0,00
B1	CS1 - Obdélník	7,200	MSÚ-Sada B (auto)/1	0,00	0,00	<b>-42,84</b>	0,00	0,00	0,00
B1	CS1 - Obdélník	3,360	MSÚ-Sada B (auto)/1	0,00	0,00	2,86	0,00	<b>76,77</b>	0,00
B1	CS1 - Obdélník	3,360	MSÚ-Sada B (auto)/2	0,00	-0,50	2,43	0,00	65,28	<b>-13,55</b>

## 13. Reakce

Lineární výpočet, Extrém : Uzel

Výběr : Vše

Kombinace : MSÚ-Sada B (auto)

Podpora	Stav	Rx [kN]	Ry [kN]	Rz [kN]	Mx [kNm]	My [kNm]	Mz [kNm]
Sn1/N1	MSÚ-Sada B (auto)/1	<b>0,00</b>	<b>0,00</b>	<b>42,84</b>	<b>0,00</b>	<b>0,00</b>	<b>0,00</b>
Sn1/N1	MSÚ-Sada B (auto)/2	0,00	<b>-7,56</b>	36,43	0,00	0,00	0,00
Sn1/N1	MSÚ-Sada B (auto)/3	0,00	0,00	<b>31,73</b>	0,00	0,00	0,00
Sn2/N2	MSÚ-Sada B (auto)/1	<b>0,00</b>	<b>0,00</b>	<b>42,84</b>	<b>0,00</b>	<b>0,00</b>	<b>0,00</b>
Sn2/N2	MSÚ-Sada B (auto)/2	0,00	<b>-7,56</b>	36,43	0,00	0,00	0,00
Sn2/N2	MSÚ-Sada B (auto)/3	0,00	0,00	<b>31,73</b>	0,00	0,00	0,00

## 14. Posouzení únosnosti - odezva

Lineární výpočet

Kombinace: MSÚ-Sada B (auto)

Souřadný systém: Dílec

Extrém 1D: Globální

Výběr: Vše

Jméno	dx [m]	Stav	N <sub>Ed</sub> [kN]	M <sub>Edy</sub> [kNm] M <sub>Edz</sub> [kNm]	Fibre Bar	x [mm]	d [mm] z [mm]	ε <sub>cc</sub> [1e-4] σ <sub>cc</sub> [MPa]	ε <sub>sc</sub> [1e-4] σ <sub>sc</sub> [MPa]	ε <sub>st</sub> [1e-4] σ <sub>st</sub> [MPa]	UC [-] Check
B1	0,000	MSÚ-Sada B (auto)/1	0,00	12,30 -0,82	5 2	<b>223</b>	579 478	-1,2 -1,15	-0,9 -17,7	2,7 53,7	0,12 OK
B1	0,000	MSÚ-Sada B (auto)/2	0,00	14,47 0,00	3 1	191	<b>586</b> <b>525</b>	-1,1 -1,04	-0,8 -17,0	2,9 58,9	0,13 OK
B1	3,360-	MSÚ-Sada B (auto)/1	0,00	65,25 -13,55	5 2	187	412 320	<b>-9,4</b> <b>-8,95</b>	<b>-6,2</b> <b>-125,0</b>	<b>16,8</b> <b>336,9</b>	0,72 <b>OK</b>

Jméno	Klíč kombinace
MSÚ-Sada B (auto)/1	1.15*ZS1 + 1.15*ZS2 + 1.50*ZS3
MSÚ-Sada B (auto)/2	1.35*ZS1 + 1.35*ZS2

## 15. Posudek smyku + kroucení (MSÚ)

Lineární výpočet

Kombinace: MSÚ-Sada B (auto)

Souřadný systém: Dílec

Extrém 1D: Globální

Výběr: Vše

**Posudek smyku**

Jméno	dx [m]	Stav	V <sub>Ed</sub> [kN]	d [m] z [m]	A <sub>swm</sub> [mm <sup>2</sup> /m] θ [deg]	b <sub>w</sub> [mm] b <sub>w1</sub> [mm]	V <sub>Rdc</sub> [kN] V <sub>Rdmax</sub> [kN]	V <sub>Rds</sub> [kN]	UC <sub>shear</sub> [-]
B1	3,360-	MSÚ-Sada B (auto)/1	<b>2,12</b>	5,8601e-01 5,2539e-01	287 40,00	240 240	67,49 620,89	71,81	0,03
B1	3,360-	MSÚ-Sada B (auto)/2	2,48	5,8036e-01 4,7940e-01	287 40,00	245 245	<b>68,13</b> 578,63	65,53	0,04
B1	0,000	MSÚ-Sada B (auto)/3	<b>42,84</b>	5,8601e-01 5,2539e-01	306 40,00	240 240	67,49 <b>620,89</b>	<b>76,63</b>	0,56
B1	7,200	MSÚ-Sada B (auto)/3	42,84	5,8601e-01 5,2539e-01	306 40,00	240 240	67,49 620,89	76,63	<b>0,56</b>

#### Posudek kroucení

Jméno	dx [m]	Stav	T <sub>Ed</sub> [kNm]	u <sub>k</sub> [mm] A <sub>k</sub> [m <sup>2</sup> ]	A <sub>swtm</sub> [mm <sup>2</sup> /m] t <sub>ef</sub> [mm]	T <sub>Rdc</sub> [kNm] T <sub>Rdmax</sub> [kNm]	T <sub>Rds</sub> [kNm] T <sub>Rd</sub> [kNm]	UC <sub>tor</sub> [-]
B1	0,000	MSÚ-Sada B (auto)/3	<b>0,00</b>	0 0,0000e+00	0 0	<b>0,00</b> <b>0,00</b>	<b>0,00</b> <b>0,00</b>	<b>0,00</b>

#### Posudek smyku a kroucení

Jméno	dx [m]	Stav	V <sub>Ed</sub> [kN] T <sub>Ed</sub> [kNm]	Equation <sub>6_29</sub> [-] Equation <sub>6_31</sub> [-]	UC <sub>int_con</sub> [-]	UC <sub>int_shear</sub> [-] UC <sub>int_long</sub> [-]	UC <sub>int</sub> [-]
B1	3,360-	MSÚ-Sada B (auto)/1	<b>2,12</b> <b>0,00</b>	0,00 0,00	<b>0,00</b>	<b>0,00</b> <b>0,00</b>	<b>0,00</b>
B1	0,000	MSÚ-Sada B (auto)/3	<b>42,84</b> <b>0,00</b>	0,00 0,00	0,00	0,00 0,00	0,00

#### Souhrnná tabulka posouzení smyku a kroucení

Jméno	dx [m]	Stav	UC <sub>shear</sub> [-]	UC <sub>tor</sub> [-]	UC <sub>int</sub> [-]	UC [-]	Check
B1	7,200	MSÚ-Sada B (auto)/3	<b>0,56</b>	<b>0,00</b>	<b>0,00</b>	<b>0,56</b>	<b>OK</b>

Jméno	Klíč kombinace
MSÚ-Sada B (auto)/1	ZS1 + ZS2
MSÚ-Sada B (auto)/2	1.15*ZS1 + 1.15*ZS2 + 1.50*ZS3
MSÚ-Sada B (auto)/3	1.35*ZS1 + 1.35*ZS2

## 16. Normově závislý průhyb

Lineární výpočet

Kombinace: MSP-Char (auto)Extrem: Globální

Výběr: Vše

Poloha: V těžištích. Systém: LSS prvku sítě

Složky vnitřních sil rovnoběžné se žebrem se zohlední jako nulové uvnitř efektivní šířky žebra.

Systém: LSS prvku sítě

Výběr NZP: Vše

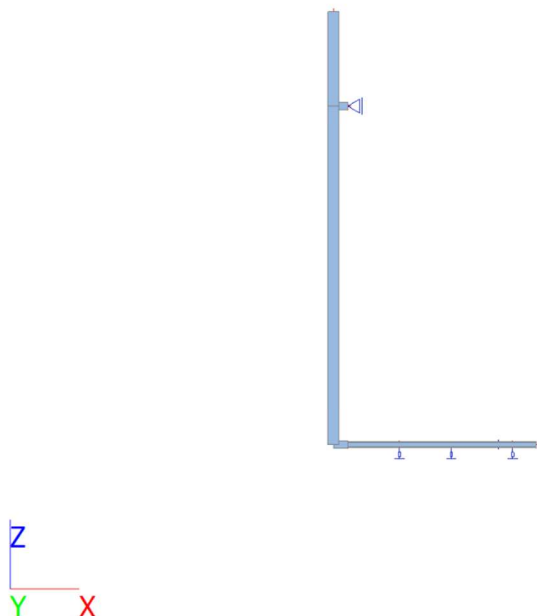
**Pro 1D dílec**

Jméno	dx [m]	Stav Typ výztuže	φ(t,t <sub>0</sub> ) [-]	δ <sub>lin,y</sub> [mm] δ <sub>lin,z</sub> [mm]	δ <sub>imm,y</sub> [mm] δ <sub>imm,z</sub> [mm]	δ <sub>short,y</sub> [mm] δ <sub>short,z</sub> [mm]	δ <sub>creep,y</sub> [mm] δ <sub>creep,z</sub> [mm]	δ <sub>add,y</sub> [mm] δ <sub>add,z</sub> [mm]	δ <sub>add,lim,y</sub> [mm] δ <sub>add,lim,z</sub> [mm]	δ <sub>tot,y</sub> [mm] δ <sub>tot,z</sub> [mm]	δ <sub>tot,lim,y</sub> [mm] δ <sub>tot,lim,z</sub> [mm]	UC [-] Posudek
B1	3,360-	MSP-Char (auto)/1 Uživatelský	2,67	1,8 -1,2	0,0 -1,1	5,1 -4,1	0,0 -4,2	5,1 -7,1	14,4 14,4	5,1 <b>-8,2</b>	28,8 28,8	0,49 OK
B1	0,000	MSP-Char (auto)/2 Uživatelský	2,67	0,0 0,0	0,0 0,0	0,0 0,0	0,0 0,0	0,0 0,0	14,4 14,4	0,0 <b>0,0</b>	28,8 28,8	0,00 OK

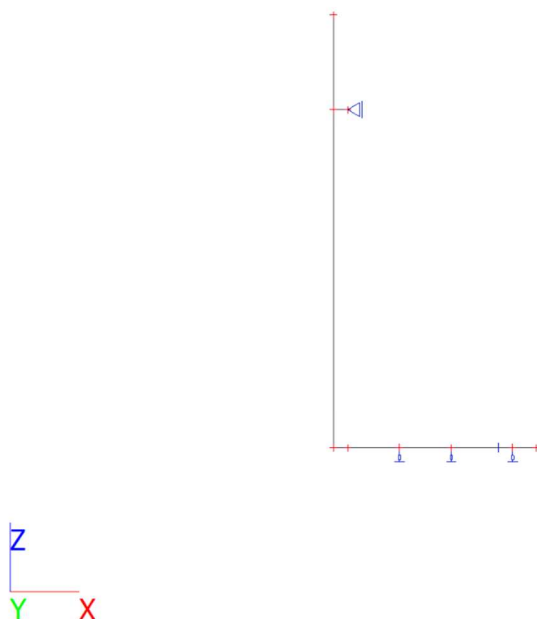
Jméno	Klíč kombinace
MSP-Char (auto)/1	ZS1 + ZS2 + ZS3
MSP-Char (auto)/2	ZS1 + ZS2

n.4. Fasádní kotevní nosník

## 1. Výpočtový model



## 2. Výpočtový model



## 3. Uzly

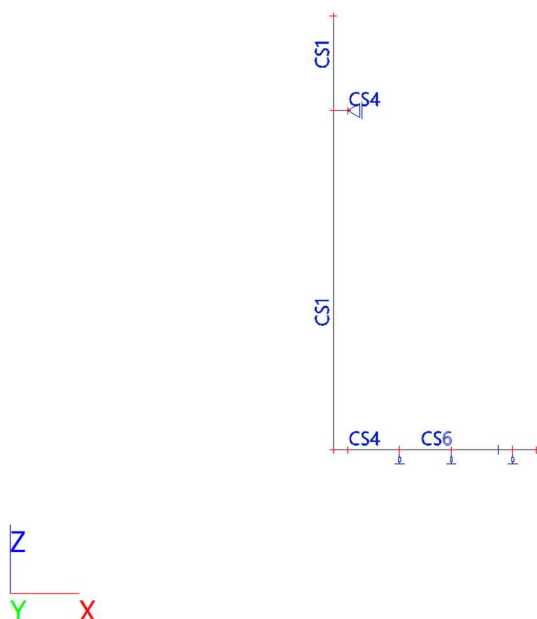
Jméno	Souř. X [m]	Souř. Z [m]
N6	0,000	3,600
N7	0,000	0,000
N8	0,150	3,600
N9	0,150	0,000
N10	0,000	4,600
N11	2,150	0,000
N12	1,250	0,000
N13	0,700	0,000
N22	1,900	0,000

#### 4. Prvky

Jméno	Průřez	Materiál	Délka [m]	Poč. uzel	Konc. uzel	Typ
B3	CS1 - CFRHS120X50X2.5	S 235	3,600	N7	N6	sloup (100)
B4	CS4 - FLA80/20	S 235	0,150	N6	N8	nosník (80)
B5	CS4 - FLA80/20	S 235	0,150	N7	N9	nosník (80)
B6	CS1 - CFRHS120X50X2.5	S 235	1,000	N6	N10	sloup (100)
B7	CS6 - 2x2xU65+2xPL10	S 235	2,000	N9	N11	nosník (80)

Prvek B3 je pro výpočet náhrada Al fasádního sloupku, není posuzován.

#### 5. Výpočtový model



#### 6. Průřezy

Jméno	Typ	Materiál	Výroba	A [m <sup>2</sup> ]	A <sub>y</sub> [m <sup>2</sup> ]	I <sub>y</sub> [m <sup>4</sup> ]	W <sub>el.y</sub> [m <sup>3</sup> ]	W <sub>pl.y</sub> [m <sup>3</sup> ]
	Detailní				A <sub>z</sub> [m <sup>2</sup> ]	I <sub>z</sub> [m <sup>4</sup> ]	W <sub>el.z</sub> [m <sup>3</sup> ]	W <sub>pl.z</sub> [m <sup>3</sup> ]
CS1	CFRHS120X50X2.5	S 235	tvářený za studena	8,0900e-04	2,3783e-04	1,4397e-06	2,3990e-05	3,0260e-05
					5,7078e-04	3,6700e-07	1,4680e-05	1,6390e-05
CS4	FLA80/20	S 235	válcovaný	1,6000e-03	1,3333e-03	5,3333e-08	5,3333e-06	8,0000e-06
					1,3333e-03	8,5333e-07	2,1333e-05	3,2000e-05
CS6	2x2xU65+2xPL10	S 235	obecný	4,4944e-03	2,4583e-03	2,5235e-06	7,7645e-05	9,7773e-05
					2,4443e-03	3,6565e-05	2,9252e-04	3,7756e-04

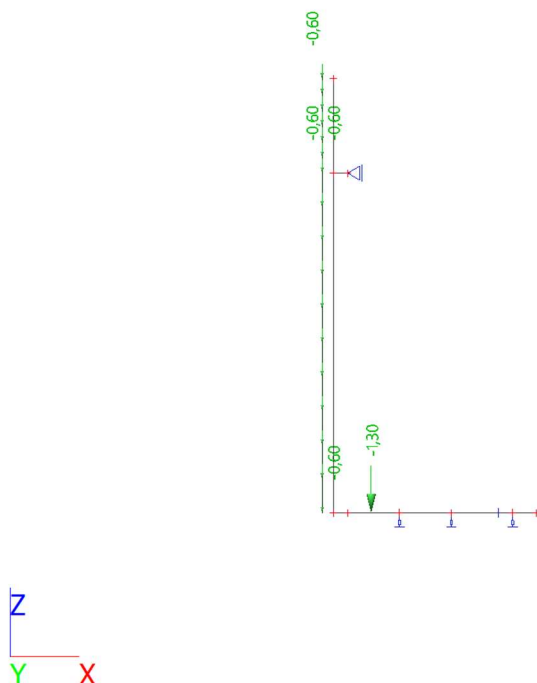
#### 7. Zatěžovací stavy

Jméno	Popis	Typ působení	Skupina zatížení	Působení	Řídící zat. stav
	Spec	Typ zatížení			
ZS1	fasada char.	Stálé Standard	SZ1		
ZS2	vitr+x Standard	Proměnné Statické	SZ2	Krátkodobé	Žádný
ZS3	vitr-x Standard	Proměnné Statické	SZ2	Krátkodobé	Žádný

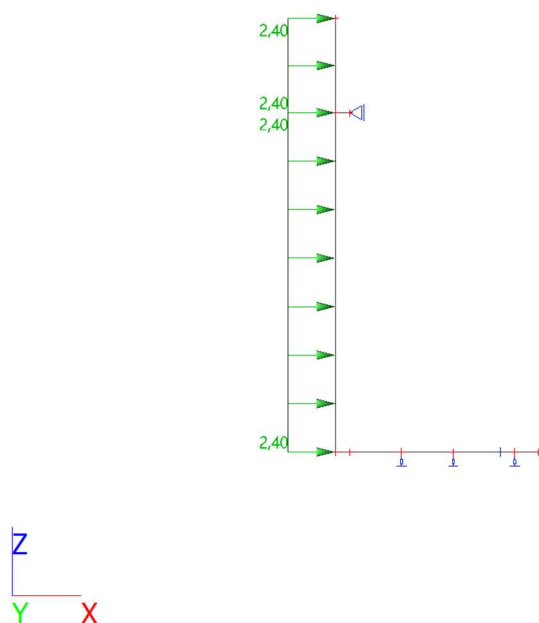
## 8. Podpory v uzlech

Jméno	Uzel	Systém	Typ	X	Z	Ry
Sn7	N8	GSS	Standard	Tuhý	Volný	Volný
Sn9	N12	GSS	Standard	Volný	Pružný	Volný
Sn10	N13	GSS	Standard	Volný	Pružný	Volný
Sn16	N22	GSS	Standard	Tuhý	Pružný	Volný

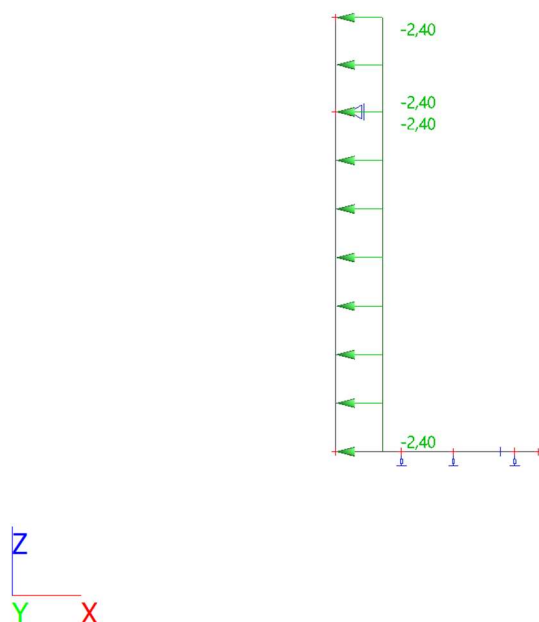
## 9. ZS1 / Hodnota pro výpočet



## 10. ZS2 / Hodnota pro výpočet



## 11. ZS3 / Hodnota pro výpočet



## 12. Skupiny zatížení

Jméno	Zatížení	Vztah	Typ
SZ1	Stálé		
SZ2	Proměnné	Výběrová	Vítr

### 13. Kombinace

Jméno	Popis	Typ	Zatěžovací stavy	Souč. [-]
MSÚ-Sada B (auto)		EN-MSÚ (STR/GEO) Soubor B	ZS1 - fasada char.	1,00
			ZS2 - vitr+x	1,00
			ZS3 - vitr-x	1,00
MSP-Char (auto)		EN-MSP charakteristická	ZS1 - fasada char.	1,00
			ZS2 - vitr+x	1,00
			ZS3 - vitr-x	1,00

### 14. Vnitřní síly na prutu

Lineární výpočet, Extrém : Globální, Systém : LSS

Výběr : Vše

Kombinace : MSÚ-Sada B (auto)

Průřez : CS6 - 2x2xU65+2xPL10

Dílec	css	dx [m]	Stav	N [kN]	Vz [kN]	My [kNm]
B7	CS6 - 2x2xU65+2xPL10	0,000	MSÚ-Sada B (auto)/1	<b>-6,22</b>	-3,17	0,00
B7	CS6 - 2x2xU65+2xPL10	0,000	MSÚ-Sada B (auto)/2	<b>5,77</b>	-2,76	0,00
B7	CS6 - 2x2xU65+2xPL10	0,250	MSÚ-Sada B (auto)/3	-0,28	<b>-5,48</b>	-0,93
B7	CS6 - 2x2xU65+2xPL10	1,100	MSÚ-Sada B (auto)/3	-0,28	<b>2,78</b>	-1,80
B7	CS6 - 2x2xU65+2xPL10	0,550	MSÚ-Sada B (auto)/3	-0,28	-5,48	<b>-2,58</b>
B7	CS6 - 2x2xU65+2xPL10	0,000	MSÚ-Sada B (auto)/4	-6,19	-2,76	<b>0,00</b>

### 15. Reakce

Lineární výpočet, Extrém : Uzel

Výběr : Vše

Kombinace : MSP-Char (auto)

Podpora	Stav	Rx [kN]	Rz [kN]	My [kNm]
Sn7/N8	MSP-Char (auto)/5	<b>-6,85</b>	0,00	0,00
Sn7/N8	MSP-Char (auto)/6	<b>7,26</b>	0,00	0,00
Sn7/N8	MSP-Char (auto)/7	0,21	<b>0,00</b>	<b>0,00</b>
Sn9/N12	MSP-Char (auto)/7	<b>0,00</b>	<b>1,02</b>	<b>0,00</b>
Sn10/N13	MSP-Char (auto)/7	<b>0,00</b>	<b>5,10</b>	<b>0,00</b>
Sn16/N22	MSP-Char (auto)/5	<b>-4,19</b>	-2,06	0,00
Sn16/N22	MSP-Char (auto)/6	<b>3,78</b>	-2,06	0,00
Sn16/N22	MSP-Char (auto)/7	-0,21	<b>-2,06</b>	<b>0,00</b>

### 16. Reakce

Lineární výpočet, Extrém : Uzel

Výběr : Vše

Kombinace : MSÚ-Sada B (auto)

Podpora	Stav	Rx [kN]	Rz [kN]	My [kNm]
Sn7/N8	MSÚ-Sada B (auto)/4	<b>-10,37</b>	0,00	0,00
Sn7/N8	MSÚ-Sada B (auto)/8	<b>10,82</b>	0,00	0,00
Sn7/N8	MSÚ-Sada B (auto)/3	0,28	<b>0,00</b>	<b>0,00</b>
Sn9/N12	MSÚ-Sada B (auto)/3	<b>0,00</b>	<b>1,37</b>	<b>0,00</b>
Sn9/N12	MSÚ-Sada B (auto)/7	0,00	<b>1,02</b>	0,00
Sn10/N13	MSÚ-Sada B (auto)/3	<b>0,00</b>	<b>6,88</b>	<b>0,00</b>
Sn10/N13	MSÚ-Sada B (auto)/7	0,00	<b>5,10</b>	0,00
Sn16/N22	MSÚ-Sada B (auto)/1	<b>-6,22</b>	-2,36	0,00
Sn16/N22	MSÚ-Sada B (auto)/2	<b>5,77</b>	-2,06	0,00
Sn16/N22	MSÚ-Sada B (auto)/3	-0,28	<b>-2,78</b>	<b>0,00</b>
Sn16/N22	MSÚ-Sada B (auto)/7	-0,21	<b>-2,06</b>	0,00

### 17. Posudek ocelových prvků na MSÚ EC-EN 1993

Lineární výpočet

Kombinace: MSÚ-Sada B (auto)

Souřadný systém: Hlavní

Extrém 1D: Průřez

Výběr: Vše

Filtr: Průřez = CS6 - 2x2xU65+2xPL10

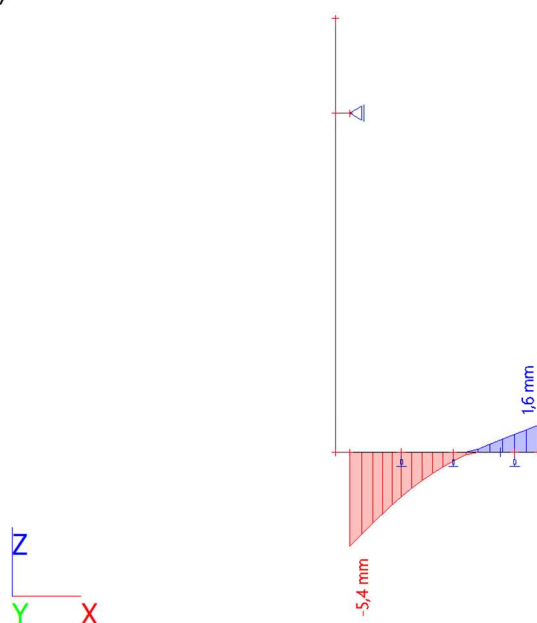
**Celkový posudek**

Jméno	dx [m]	Stav	Průřez	Materiál	UC <sub>Celkový</sub> [-]	UC <sub>Průřez</sub> [-]	UC <sub>Stabilita</sub> [-]
B7	0,550-	MSÚ-Sada B (auto)/1	CS6 - 2x2xU65+2xPL10	S 235	<b>0,12</b>	0,12	0,11

Jméno	Klíč kombinace
MSÚ-Sada B (auto)/1	1.35*ZS1 + 0.90*ZS2

## 18. 1D deformace; u<sub>z</sub>

Hodnoty: **u<sub>z</sub>**  
Lineární výpočet  
Kombinace: MSP-Char (auto)  
Souřadný systém: Globální  
Extrém 1D: Dílec  
Výběr: B7

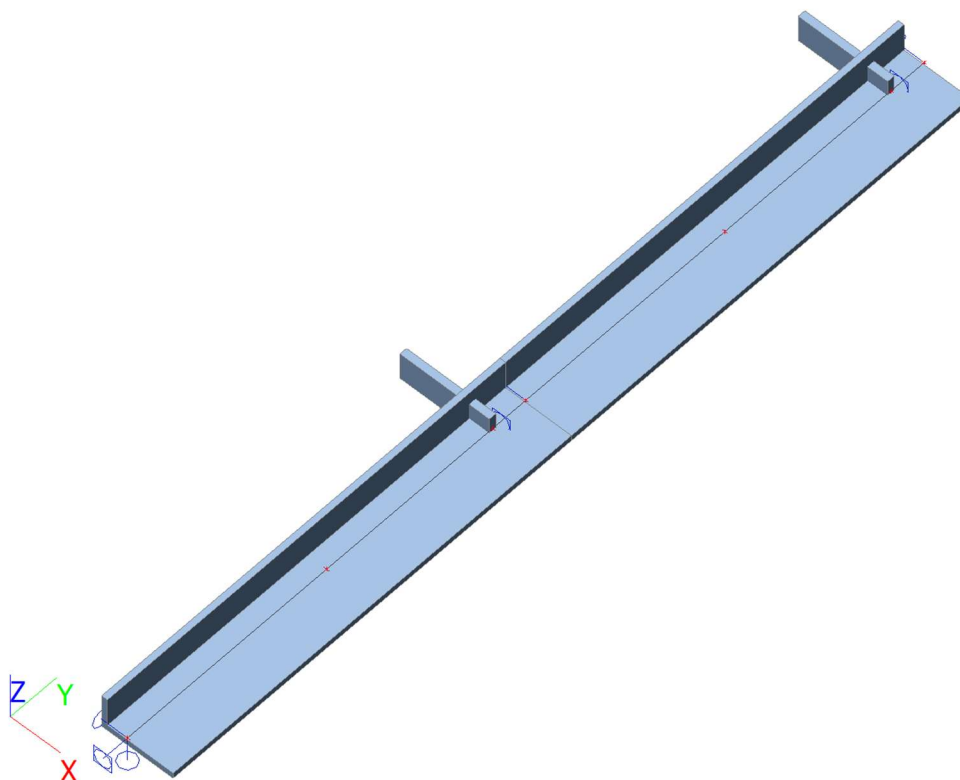


### n.5. Fasádní kotvení obvodový úhelník

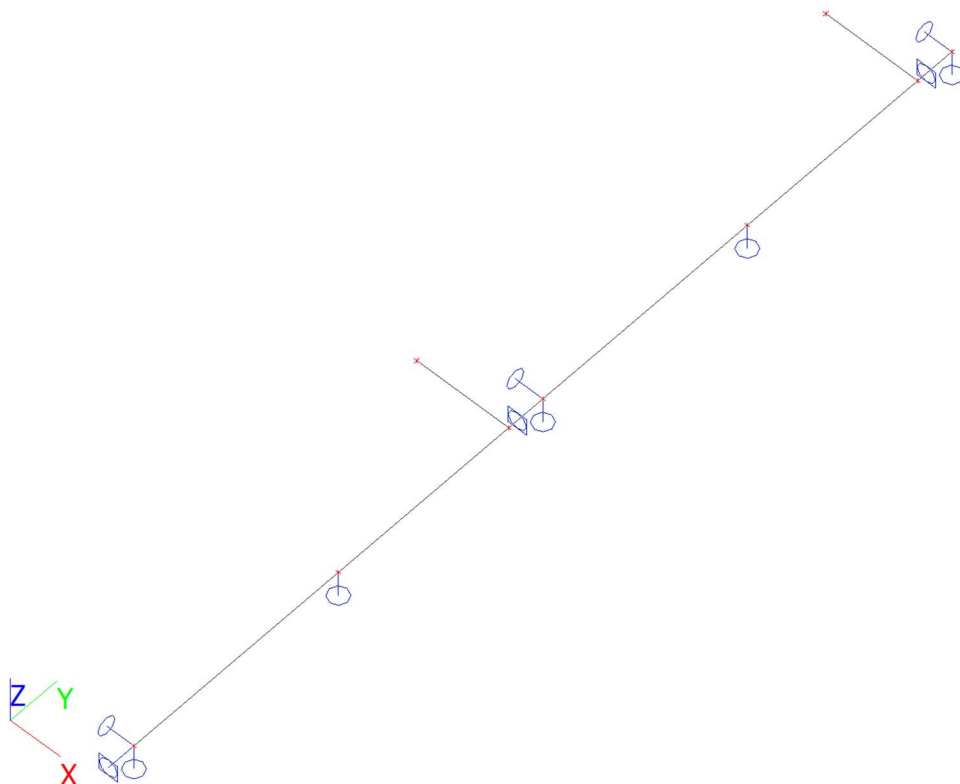
Posouzen hypotetický stav, kdy samotná kotva AI fasády bude posunutá mimo kotvení do hlavní nosné konstrukce. Předpokládaná excentricita vyosení je do 20 mm.

#### 1. Výpočtový model





## 2. Výpočtový model



## 3. Uzly

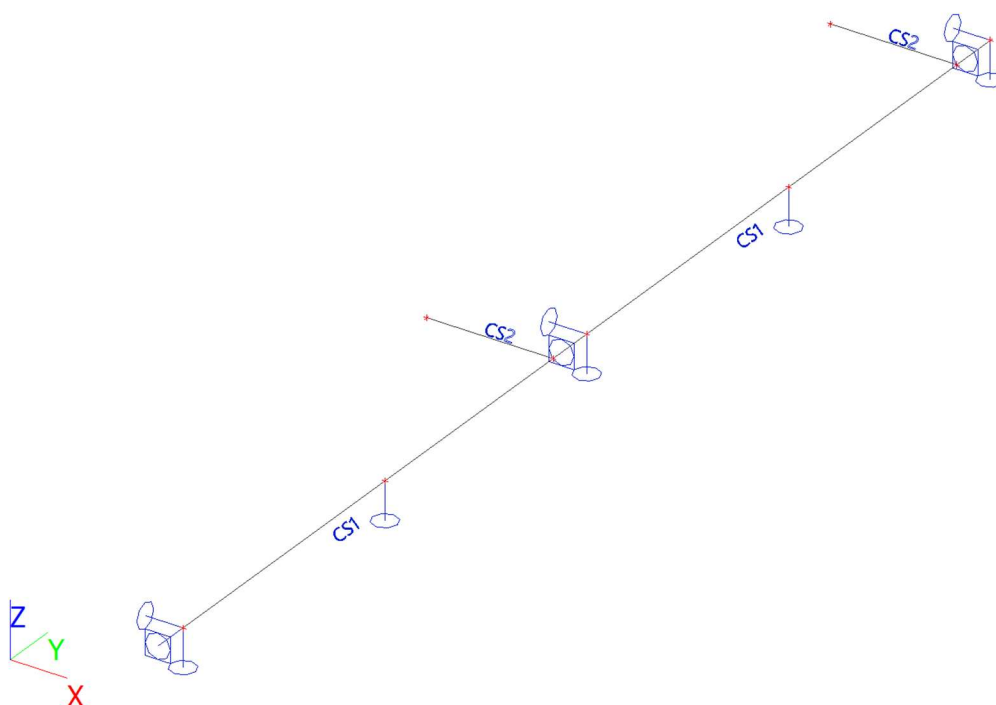
Jméno	Souř. X [m]	Souř. Y [m]	Souř. Z [m]
N1	0,000	0,000	0,000
N3	0,000	1,200	0,000

Jméno	Souř. X [m]	Souř. Y [m]	Souř. Z [m]
N6	0,000	2,400	0,000
N8	-0,250	1,100	0,000
N9	-0,250	2,300	0,000
N11	0,000	0,600	0,000
N12	0,000	1,800	0,000
N13	0,000	1,100	0,000
N14	0,000	2,300	0,000

#### 4. Prvky

Jméno	Průřez	Materiál	Délka [m]	Poč. uzel	Konc. uzel	Typ
B2	CS1 - ISUA200/100/16	S 235	1,200	N1	N3	obecný (0)
B4	CS1 - ISUA200/100/16	S 235	1,200	N3	N6	obecný (0)
B6	CS2 - FLA80/20	S 235	0,250	N13	N8	obecný (0)
B7	CS2 - FLA80/20	S 235	0,250	N14	N9	obecný (0)

#### 5. Výpočtový model



#### 6. Průřezy

Jméno	Typ	Materiál	Výroba	A [m <sup>2</sup> ]	A <sub>y</sub> [m <sup>2</sup> ]	I <sub>y</sub> [m <sup>4</sup> ]	W <sub>el.y</sub> [m <sup>3</sup> ]	W <sub>pl.y</sub> [m <sup>3</sup> ]	Barva
	Detailní				A <sub>z</sub> [m <sup>2</sup> ]	I <sub>z</sub> [m <sup>4</sup> ]	W <sub>el.z</sub> [m <sup>3</sup> ]	W <sub>pl.z</sub> [m <sup>3</sup> ]	
CS1	ISUA200/100/16	S 235	válcovaný	4,5700e-03	3,7142e-03	1,9800e-05	1,4700e-04	2,5958e-04	
					3,1497e-03	2,0800e-06	3,4793e-05	7,7251e-05	
CS2	FLA80/20	S 235	válcovaný	1,6000e-03	1,3333e-03	5,3333e-08	5,3333e-06	8,0000e-06	
					1,3333e-03	8,5333e-07	2,1333e-05	3,2000e-05	

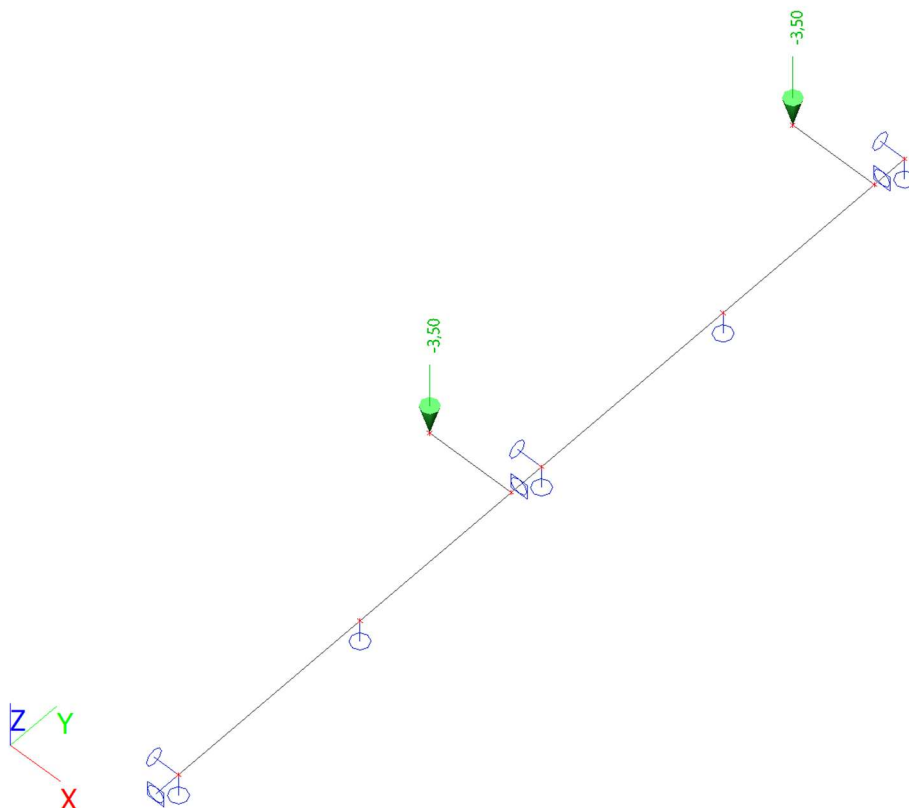
#### 7. Podpory v uzlech

Jméno	Uzel	Systém	Typ	X	Y	Z	R <sub>x</sub>	R <sub>y</sub>	R <sub>z</sub>
Sn2	N3	GSS	Standard	Tuhý	Tuhý	Tuhý	Volný	Tuhý	Volný
Sn3	N6	GSS	Standard	Tuhý	Tuhý	Tuhý	Volný	Tuhý	Volný
Sn5	N1	GSS	Standard	Tuhý	Tuhý	Tuhý	Volný	Tuhý	Volný
Sn6	N11	GSS	Standard	Volný	Volný	Tuhý	Volný	Volný	Volný
Sn7	N12	GSS	Standard	Volný	Volný	Tuhý	Volný	Volný	Volný

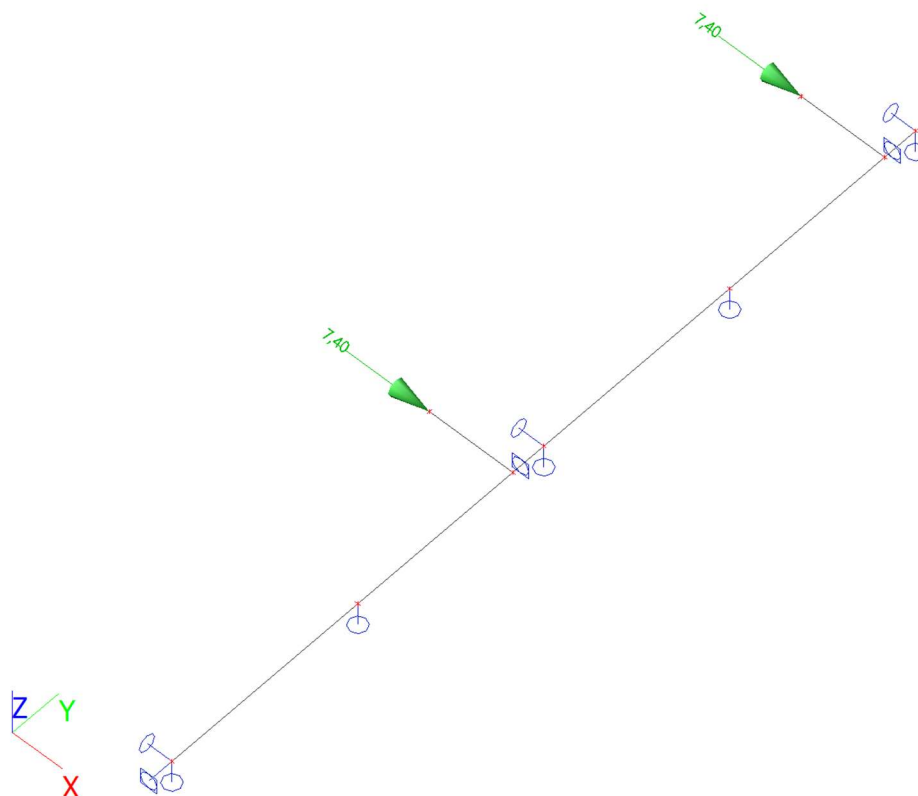
## 8. Zatěžovací stavy

Jméno	Popis	Typ působení	Skupina zatížení	Směr	Působení	Řídicí zat. stav
	Spec	Typ zatížení				
ZS1	Vlastní tíha	Stálé Vlastní tíha	SZ1	-Z		
ZS2	fasada	Stálé Standard	SZ1			
ZS3	vitř+x Standard	Proměnné Statické	SZ2		Krátkodobé	Žádný
ZS4	vitř-x Standard	Proměnné Statické	SZ2		Krátkodobé	Žádný

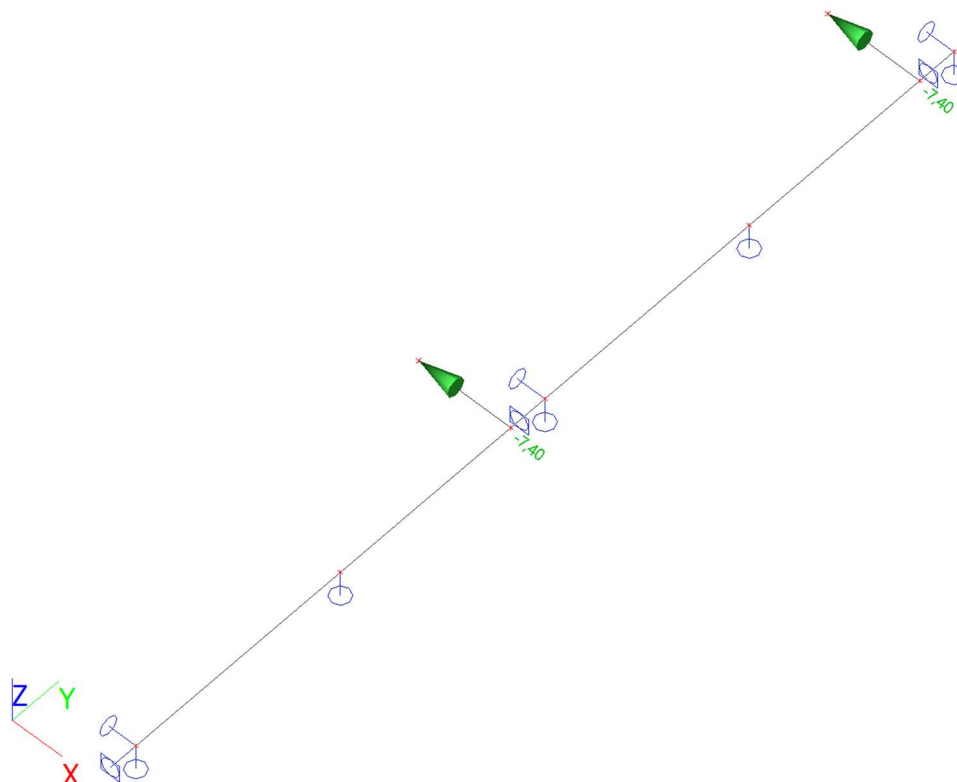
## 9. ZS2 / Hodnota pro výpočet



## 10. ZS3 / Hodnota pro výpočet



## 11. ZS4 / Hodnota pro výpočet



## 12. Vnitřní síly na prutu

Lineární výpočet, Extrém : Globální, Systém : Hlavní  
Výběr : Vše  
Kombinace : MSÚ-Sada B (auto)  
Průřez : CS1 - ISUA200/100/16

Dílec	css	dx [m]	Stav	N [kN]	Vy [kN]	Vz [kN]	Mx [kNm]	My [kNm]	Mz [kNm]
B2	CS1 - ISUA200/100/16	0,000	MSÚ-Sada B (auto)/1	<b>0,00</b>	0,07	-0,21	0,10	0,00	0,00
B2	CS1 - ISUA200/100/16	1,200	MSÚ-Sada B (auto)/2	0,00	<b>-6,33</b>	-9,51	-0,92	-0,65	<b>-0,44</b>
B4	CS1 - ISUA200/100/16	0,000	MSÚ-Sada B (auto)/2	0,00	<b>1,16</b>	1,29	0,08	-0,65	-0,44
B2	CS1 - ISUA200/100/16	1,100	MSÚ-Sada B (auto)/3	0,00	-5,81	<b>-9,64</b>	-0,81	0,30	0,18
B2	CS1 - ISUA200/100/16	1,200	MSÚ-Sada B (auto)/4	0,00	-1,20	<b>11,46</b>	-0,92	0,79	-0,11
B2	CS1 - ISUA200/100/16	1,100	MSÚ-Sada B (auto)/5	0,00	-4,38	1,14	<b>-1,09</b>	-0,03	0,12
B2	CS1 - ISUA200/100/16	0,000	MSÚ-Sada B (auto)/5	0,00	0,05	-0,01	<b>0,10</b>	0,00	0,00
B4	CS1 - ISUA200/100/16	1,100	MSÚ-Sada B (auto)/4	0,00	-0,01	-1,59	0,08	<b>-1,02</b>	0,12
B4	CS1 - ISUA200/100/16	1,100	MSÚ-Sada B (auto)/3	0,00	0,68	1,42	0,07	<b>0,84</b>	0,55
B4	CS1 - ISUA200/100/16	1,100	MSÚ-Sada B (auto)/2	0,00	0,73	1,40	0,08	0,83	<b>0,60</b>

### 13. Reakce

Lineární výpočet, Extrém : Uzel

Výběr : Vše

Kombinace : MSP-Char (auto)

Podpora	Stav	Rx [kN]	Ry [kN]	Rz [kN]	Mx [kNm]	My [kNm]	Mz [kNm]
Sn2/N3	MSP-Char (auto)/6	<b>-8,22</b>	0,00	<b>4,21</b>	0,00	0,88	0,00
Sn2/N3	MSP-Char (auto)/7	<b>8,22</b>	<b>0,00</b>	<b>3,98</b>	0,00	0,88	0,00
Sn2/N3	MSP-Char (auto)/8	0,00	0,00	4,10	<b>0,00</b>	<b>0,88</b>	<b>0,00</b>
Sn3/N6	MSP-Char (auto)/6	<b>-6,37</b>	0,00	<b>3,23</b>	0,00	0,81	0,00
Sn3/N6	MSP-Char (auto)/7	<b>6,37</b>	<b>0,00</b>	<b>3,26</b>	0,00	0,81	0,00
Sn3/N6	MSP-Char (auto)/8	0,00	0,00	3,24	<b>0,00</b>	<b>0,81</b>	<b>0,00</b>
Sn5/N1	MSP-Char (auto)/6	<b>-0,21</b>	0,00	<b>0,11</b>	0,00	0,07	0,00
Sn5/N1	MSP-Char (auto)/7	<b>0,20</b>	<b>0,00</b>	<b>-0,04</b>	0,00	0,07	0,00
Sn5/N1	MSP-Char (auto)/8	0,00	0,00	0,04	<b>0,00</b>	<b>0,07</b>	<b>0,00</b>
Sn6/N11	MSP-Char (auto)/8	<b>0,00</b>	<b>0,00</b>	0,53	<b>0,00</b>	<b>0,00</b>	<b>0,00</b>
Sn6/N11	MSP-Char (auto)/6	0,00	0,00	<b>0,35</b>	0,00	0,00	0,00
Sn6/N11	MSP-Char (auto)/7	0,00	0,00	<b>0,70</b>	0,00	0,00	0,00

### 14. Reakce

Lineární výpočet, Extrém : Uzel

Výběr : Vše

Kombinace : MSÚ-Sada B (auto)

Podpora	Stav	Rx [kN]	Ry [kN]	Rz [kN]	Mx [kNm]	My [kNm]	Mz [kNm]
Sn2/N3	MSÚ-Sada B (auto)/9	<b>-12,33</b>	0,00	4,27	0,00	0,88	0,00
Sn2/N3	MSÚ-Sada B (auto)/2	<b>12,34</b>	0,00	4,53	0,00	1,01	0,00
Sn2/N3	MSÚ-Sada B (auto)/3	12,34	<b>0,00</b>	<b>3,93</b>	0,00	0,88	0,00
Sn2/N3	MSÚ-Sada B (auto)/1	-7,40	0,00	<b>5,64</b>	0,00	1,19	0,00
Sn2/N3	MSÚ-Sada B (auto)/5	0,00	0,00	5,53	<b>0,00</b>	<b>1,19</b>	<b>0,00</b>
Sn2/N3	MSÚ-Sada B (auto)/8	0,00	0,00	4,10	0,00	<b>0,88</b>	0,00
Sn3/N6	MSÚ-Sada B (auto)/4	<b>-9,56</b>	0,00	3,70	0,00	0,92	0,00
Sn3/N6	MSÚ-Sada B (auto)/3	<b>9,56</b>	<b>0,00</b>	3,26	0,00	0,81	0,00
Sn3/N6	MSÚ-Sada B (auto)/9	-9,56	0,00	<b>3,22</b>	0,00	0,81	0,00
Sn3/N6	MSÚ-Sada B (auto)/10	5,73	0,00	<b>4,39</b>	0,00	1,09	0,00
Sn3/N6	MSÚ-Sada B (auto)/5	0,00	0,00	4,38	<b>0,00</b>	<b>1,09</b>	<b>0,00</b>
Sn3/N6	MSÚ-Sada B (auto)/8	0,00	0,00	3,24	0,00	<b>0,81</b>	0,00
Sn5/N1	MSÚ-Sada B (auto)/4	<b>-0,31</b>	0,00	<b>0,15</b>	0,00	0,08	0,00
Sn5/N1	MSÚ-Sada B (auto)/3	<b>0,31</b>	<b>0,00</b>	<b>-0,07</b>	0,00	0,07	0,00
Sn5/N1	MSÚ-Sada B (auto)/5	0,00	0,00	0,05	<b>0,00</b>	<b>0,10</b>	<b>0,00</b>
Sn5/N1	MSÚ-Sada B (auto)/8	0,00	0,00	0,04	0,00	<b>0,07</b>	0,00
Sn6/N11	MSÚ-Sada B (auto)/5	<b>0,00</b>	<b>0,00</b>	0,71	<b>0,00</b>	<b>0,00</b>	<b>0,00</b>
Sn6/N11	MSÚ-Sada B (auto)/9	0,00	0,00	<b>0,26</b>	0,00	0,00	0,00
Sn6/N11	MSÚ-Sada B (auto)/10	0,00	0,00	<b>0,87</b>	0,00	0,00	0,00

### 15. Posudek ocelových prvků na MSÚ EC-EN 1993

Lineární výpočet

Kombinace: MSÚ-Sada B (auto)

Souřadný systém: Hlavní

Extrém 1D: Globální

Výběr: Vše

**Celkový posudek**

Jméno	dx [m]	Stav	Průřez	Materiál	UC <sub>Celkový</sub> [-]	UC <sub>Průřez</sub> [-]	UC <sub>Stabilita</sub> [-]
B2	1,200	MSÚ-Sada B (auto)/1	CS1 - ISUA200/100/16	S 235	<b>0,38</b>	0,38	0,03

Jméno	Klíč kombinace
MSÚ-Sada B (auto)/1	1.35*ZS1 + 1.35*ZS2 + 0.90*ZS4

#### o) Závěr

Posouzením bylo prokázáno, že navržené konstrukce vyhovují, konstrukce jsou v souladu s návrhovými normami. Stavební práce je nutné provést v souladu s normami, zákony a vyhláškami v platném znění. V případě zjištěných rozdílů na stavbě je nutné provést nový návrh a nové posouzení dle ujištěných skutečností.